



รายงานการวิจัย

การพัฒนาเครื่องต้นแบบของกระบวนการดูดซับด้วยวิธีสลับความดัน
ที่ใช้ตัวดูดซับจากมันสำปะหลัง สำหรับแยกน้ำออกจากไอลอหานอล

(Pressure swing adsorption prototype with cassava-based adsorbent for
dehydration of ethanol vapor)

คณะกรรมการ

ผู้ช่วยศาสตราจารย์ พนารัตน์ รัตนพาณี
สาขาวิชาศึกกรรมเคมี
สำนักวิชาศึกกรรมศาสตร์
มหาวิทยาลัยเทคโนโลยีสุรนารี

ผู้ร่วมวิจัย

นางสาวชลธิรา บุญฟูง

ได้รับทุนอุดหนุนการวิจัยจาก
กองทุนนวัตกรรมและสิ่งประดิษฐ์สมเด็จพระเทพรัตนราชสุดาฯ สยามบรมราชกุมารี
มหาวิทยาลัยเทคโนโลยีสุรนารี
ผลงานวิจัยเป็นความรับผิดชอบของหัวหน้าโครงการวิจัยแต่เพียงผู้เดียว

2555

สูนัชบรรพตานและสื่อการศึกษา
มหาวิทยาลัยเทคโนโลยีสุรนารี

กิตติกรรมประกาศ

โครงการวิจัย “การพัฒนาเครื่องต้นแบบของกระบวนการคุณภาพด้วยวิธีสลับความดันที่ใช้ตัวดูดซับจากมันสำปะหลัง สำหรับแยกน้ำออกจากไออกทานอล” นี้ ได้รับการสนับสนุนงบประมาณโครงการวิจัยจากกองทุนนวัตกรรมและสิ่งประดิษฐ์สมเด็จพระเทพรัตนราชสุดาฯ สยามบรมราชกุมารี มหาวิทยาลัยเทคโนโลยีสุรนารี และดำเนินโครงการวิจัยตลอดโครงการที่ห้องปฏิบัติการวิจัยสาขาวิชาวิศวกรรมเคมี อาคารศูนย์เครื่องมือวิทยาศาสตร์และเทคโนโลยี 5 มหาวิทยาลัยเทคโนโลยีสุรนารี

ผู้วิจัยขอขอบคุณกองทุนนวัตกรรมและสิ่งประดิษฐ์สมเด็จพระเทพรัตนราชสุดาฯ สยามบรมราชกุมารี มหาวิทยาลัยเทคโนโลยีสุรนารีสำหรับงบประมาณโครงการวิจัย ศูนย์เครื่องมือวิทยาศาสตร์และเทคโนโลยีสำหรับความเอื้อเพื่อในสถานที่และอุปกรณ์ในการทำวิจัย และบุคลากรในสาขาวิชา วิศวกรรมเคมีทุกท่านสำหรับความช่วยเหลือในการดำเนินโครงการวิจัยนี้ให้สำเร็จดุล่วงได้ด้วยดี

บทคัดย่อ

งานวิจัยนี้มีวัตถุประสงค์เพื่อศึกษาความสามารถในการแยกน้ำออกจากไอกสมเมทานอลด้วยตัวคูคูซับจากมันสำปะหลังในระบบคูคูซับแบบเบ肯นิ่ง จัดสร้างเครื่องตัวแบบของการคูคูซับแบบสลับความดันและศึกษาผลของปัจจัยต่อปริมาณการผลิตເອຫານolutบริสุทธิ์ ได้แก่ ความดันของกอสัมมน์คูคูซับอุณหภูมิของกอสัมมน์คูคูซับ และอัตราการไหลของสารปื้อน ตัวคูคูซับจากมันสำปะหลังสามารถเตรียมได้จากเป็นมันสำปะหลังและกามันสำปะหลัง ซึ่งเป็นวัสดุที่สามารถย่อยสลายได้ตามธรรมชาติ

การทดลองแบ่งเป็น 2 ส่วน คือ การทดลองในระบบการคูคูซับแบบเบ肯นิ่ง และระบบคูคูซับแบบสลับความดัน โดยผลการทดลองในการคูคูซับแบบเบ肯นิ่งแสดงให้เห็นว่า ตัวคูคูซับจากมันสำปะหลังสามารถแยกน้ำออกจากไอกสมเมทานอลได้ สามารถเพิ่มความแม่นยำของເອຫານolutในผลิตภัณฑ์ได้มากกว่าร้อยละ 99.5 โดยน้ำหนัก และความสามารถในการคูคูซับน้ำของตัวคูคูซับจากมันสำปะหลังจะคงอยู่ที่ความแม่นยำของตัวคูคูซับน้ำ แต่รูปแบบการคูคูซับมีลักษณะคล้ายไฮโดรเจนการคูคูซับแบบแสงสว่าง

สำหรับระบบคูคูซับแบบสลับความดัน โดยใช้ตัวคูคูซับจากมันสำปะหลังในการแยกน้ำออกจากไอกสมเมทานอลใช้ออกแบบการทดลองเชิงแฟกทอรีเบลแบบ 2³ สำหรับวิเคราะห์ผลกระบวนการขั้นปัจจัย 3 ปัจจัย ที่มีผลต่ออัตราการผลิตເອຫານolut ได้แก่ ความดันของกอสัมมน์คูคูซับ อุณหภูมิของกอสัมมน์คูคูซับ และอัตราการไหลของสารปื้อน พนว่าทุกปัจจัยมีผลต่ออัตราการผลิตເອຫານolut โดยความดันของกอสัมมน์คูคูซับเป็นปัจจัยที่มีผลต่ออัตราการผลิตເອຫານolutมากที่สุด ตัววัดที่เหมาะสมที่สุดคือ ความดันของกอสัมมน์คูคูซับ 3 บาร์ อุณหภูมิของกอสัมมน์คูคูซับ 130 องศาเซลเซียส และอัตราการไหลของสารปื้อน 600 มิลลิลิตรต่อนาที ซึ่งมีอัตราการผลิตເອຫານolut 714 มิลลิลิตรต่อชั่วโมง ระบบคูคูซับแบบสลับความดันที่ใช้ตัวคูคูซับจากมันสำปะหลังจึงเป็นอีกทางเลือกหนึ่งสำหรับการผลิตເອຫານolutบริสุทธิ์

Abstract

This research aimed to study the suitability of using cassava-based adsorbent in fixed bed and pressure swing adsorption (PSA) systems for water separation from ethanol vapor. A prototype PSA system has been developed for dehydration of ethanol-water vapor mixture. In addition, the effect several variables on the quantity of ethanol production rate was studied, including adsorption pressure, adsorption temperature and feed flow rate. The cassava-based adsorbent prepared from mixtures of cassava starch and cassava pulp which are material which can decompose naturally.

The study consisted of two parts, fixed-bed and pressure swing adsorption experiments. For fixed-bed adsorption results, the cassava-based adsorbent can removed water from ethanol vapor which increased the ethanol concentration to more than 99.5 wt%. The capability of water adsorption decreased when the ethanol concentration in the feed was increased. The water adsorption of cassava-based adsorbents can be modeled by the Langmiur adsorption isotherm.

The pressure swing adsorption study was designed as a 2^3 factorial for analysis with three factors that affecting the ethanol productivity which are adsorption pressure (P) adsorption temperature (T) and feed flow rate (V). The results showed that all three factors had an effected on ethanol productivity. The adsorption pressure was the most significant factor which had an affected on ethanol productivity. The optimal operating condition for this system was found to be at 3 bars for the adsorption pressure, 120°C for the adsorption temperature and 600 ml/min for the feed flow rate with an ethanol production rate of 714 ml/hr. The PSA with cassava-based adsorbent reported in this study could be an alternative method for production of nearly anhydrous ethanol.

สารบัญรูป

รูปที่	หน้า
2.1 โครงสร้างไม้เลกุลของอะไมโลส.....	6
2.2 โครงสร้างไม้เลกุลของอะไมโลเพคติน.....	7
2.3 การเกิดพันธะไฮโดรเจนระหว่างไม้เลกุลของน้ำกับหมู่ไฮดรอกซิลของกลูโคส (Beery, 2001).....	7
2.4 ไอโซเทอร์มของตัวคูดซับจากข้าวโพดบดละเอียดที่ความดันบรรยายกาศ (Ladisch et al., 1984).....	11
2.5 ไอโซเทอร์มการคูดซับของน้ำโดยใช้ตัวคูดซับจากแป้งข้าวโพด (Chang et al., 2006).....	12
2.6 เส้นโลจิสเบรคทรูที่เบคความสูงต่าง ๆ ที่อุณหภูมิของเบด 91 องศาเซลเซียส ความชื้นที่น้ำของน้ำรีนตันร้อยละ 6.2 โดยน้ำหนัก (Chang et al., 2006).....	13
2.7 รูปแบบไอโซเทอร์มการคูดซับของระบบคูดซับก้าช (Rouquerol et al., 1999).....	20
2.8 ไอโซเทอร์มการคูดซับแบบลงม้วร์ในรูปแบบของกราฟเส้นตรง.....	22
2.9 ไอโซเทอร์มการคูดซับแบบฟรุนคลิชในรูปแบบของกราฟเส้นตรง.....	23
2.10 หลักการทำงานเบื้องต้นของระบบคูดซับแบบสลับความดัน (Douglas et al., 1994).....	25
2.11 ความสัมพันธ์ระหว่างต้นทุนการติดตั้งและกำลังการผลิตของระบบคูดซับแบบ สลับความดันและการกลั่น (Douglas et al., 1994).....	27
2.12 วิถีการทำงานกระบวนการคูดซับแบบสลับความดัน (Seader, 2006).....	29
2.13 วิถีการสการ์สตรอม Skarstrom Cycle (Seader, 2006).....	29
3.1 ชุดทดลองสำหรับระบบคูดซับแบบเบดนิ่ง.....	39
3.2 แผนภาพแสดงองค์ประกอบเครื่องต้นแบบของระบบคูดซับแบบสลับความดัน.....	40
3.3 ขั้นตอนการเตรียมตัวคูดซับจากมันสำปะหลัง.....	41
3.4 ขั้นตอนการทดลองหาความสามารถในการแยกน้ำออกจากไอกลมเอทานอล ของระบบคูดซับแบบเบดนิ่ง.....	42

สารบัญ (ต่อ)

รูปที่	หน้า
4.1 การเปลี่ยนแปลงของความเข้มข้นของอุทานอสในผลิตภัณฑ์กับเวลาในระบบคุณภาพที่ใช้สารป้องชั่งมีความเข้มข้นของอุทานอสร้อยละ 90 โดยน้ำหนัก.....	47
4.2 การเปลี่ยนแปลงความเข้มข้นของน้ำยาออกจากระบบคุณภาพแบบเบดนิ่งโดยใช้ตัวคุณภาพ 10 กรัม.....	48
4.3 ผลของความเข้มข้นของสารป้องชั่งที่มีต่อการคุณภาพน้ำ.....	50
4.4 ผลของปริมาณตัวคุณภาพที่มีต่อความสามารถในการคุณภาพน้ำของระบบคุณภาพแบบเบดนิ่งที่ใช้ความเข้มข้นเริ่มต้นของอุทานอสในสารป้องชั่งร้อยละ 90 โดยน้ำหนัก ปริมาตร 300 มิลลิลิตร.....	51
4.5 ไอโซเทิร์มการคุณภาพแบบແลงມ້ວർ ในรูปแบบของกราฟเส้นตรงจากข้อมูลการคุณภาพน้ำของตัวคุณภาพจากมันสำปะหลัง.....	53
4.6 ไอโซเทิร์มการคุณภาพแบบฟรุนคลิช ในรูปแบบของกราฟเส้นตรงจากข้อมูลการคุณภาพน้ำของตัวคุณภาพจากมันสำปะหลัง.....	53
4.7 ผลของปริมาณตัวคุณภาพที่มีต่อความสามารถในการคุณภาพน้ำที่ความเข้มข้นเริ่มต้นของอุทานอสในสารป้องชั่งร้อยละ 90 โดยน้ำหนัก ปริมาตร 300 มิลลิลิตร.....	54
4.8 ความเข้มข้นของตัวคุณภาพจากมันสำปะหลังที่เวลาต่าง ๆ เมื่อคายชั่บด้วยระบบสูญญากาศ.....	55
4.9 ผลของเวลาของครึ่งวัฏจักรต่อความเข้มข้นของอุทานอสในผลิตภัณฑ์ที่ได้จากการบบคุณภาพแบบสลับความดัน โดยใช้ซีโอໄලต์ 3 เอที่ความดันของก๊อกลัมบ์คุณภาพ 2 บาร์/เกจ อุณหภูมิของก๊อกลัมบ์คุณภาพ 130 องศาเซลเซียส.....	57
4.10 ผลของอุณหภูมิของก๊อกลัมบ์คุณภาพต่อความเข้มข้นของอุทานอสในผลิตภัณฑ์ที่ได้จากการบบคุณภาพแบบสลับความดัน ที่ความดันของก๊อกลัมบ์คุณภาพ 3 บาร์.....	59
4.11 ผลของความดันคุณภาพต่อความเข้มข้นของอุทานอสในผลิตภัณฑ์จากระบบคุณภาพแบบสลับความดัน โดยใช้ซีโอໄලต์ 3 เอท อุณหภูมิของก๊อกลัมบ์คุณภาพ 130 องศาเซลเซียส.....	61

สารบัญรูป (ต่อ)

รูปที่	หน้า
4.12 การเปลี่ยนแปลงความเข้มข้นของอุ่นภายนอกในผลิตภัณฑ์จากระบบคุณภาพแบบสลับความดัน โดยใช้ตัวคุณภาพจากมันสำปะหลัง อุณหภูมิของ คอลัมน์คุณภาพ 120 องศาเซลเซียส และเปิด瓦ล์วหนื้อต้มระเหยร้อยละ 25 ที่ความดันของคอลัมน์คุณภาพต่างกัน.....	64
4.13 การเปลี่ยนแปลงความเข้มข้นของอุ่นภายนอกในผลิตภัณฑ์จากระบบคุณภาพแบบสลับความดัน โดยใช้ตัวคุณภาพจากมันสำปะหลัง อุณหภูมิของ คอลัมน์คุณภาพ 120 องศาเซลเซียส และเปิด瓦ล์วหนื้อต้มระเหยร้อยละ 75 ที่ความดันของคอลัมน์คุณภาพต่างกัน.....	65
4.14 การเปลี่ยนแปลงความเข้มข้นของอุ่นภายนอกในผลิตภัณฑ์จากระบบคุณภาพแบบสลับความดัน โดยใช้ตัวคุณภาพจากมันสำปะหลัง อุณหภูมิของ คอลัมน์คุณภาพ 130 องศาเซลเซียส และเปิด瓦ล์วหนื้อต้มระเหยร้อยละ 25 ที่ความดันของคอลัมน์คุณภาพต่างกัน.....	66
4.15 การเปลี่ยนแปลงความเข้มข้นของอุ่นภายนอกในผลิตภัณฑ์จากระบบคุณภาพแบบสลับความดัน โดยใช้ตัวคุณภาพจากมันสำปะหลัง อุณหภูมิของ คอลัมน์คุณภาพ 130 องศาเซลเซียส และเปิด瓦ล์วหนื้อต้มระเหยร้อยละ 75 ที่ความดันของคอลัมน์คุณภาพต่างกัน.....	66
4.16 การเปลี่ยนแปลงความเข้มข้นของอุ่นภายนอกในผลิตภัณฑ์จากระบบคุณภาพแบบสลับความดัน โดยใช้ตัวคุณภาพจากมันสำปะหลัง ความดันของ คอลัมน์คุณภาพ 2 บาร์ เปิด瓦ล์วหนื้อต้มระเหยร้อยละ 25 อุณหภูมิของคอลัมน์คุณภาพต่างกัน.....	68
4.17 การเปลี่ยนแปลงความเข้มข้นของอุ่นภายนอกในผลิตภัณฑ์จากระบบคุณภาพแบบสลับความดัน โดยใช้ตัวคุณภาพจากมันสำปะหลัง ความดันของคอลัมน์คุณภาพ 3 บาร์ เปิด瓦ล์วหนื้อต้มระเหยร้อยละ 25 อุณหภูมิของคอลัมน์คุณภาพต่างกัน.....	68

สารบัญรูป (ต่อ)

รูปที่	หน้า
4.18 การเปลี่ยนแปลงความเข้มข้นของเอกสารอัลตราซาวด์ในผลิตภัณฑ์จากระบบคุณภาพแบบลดความดันโดยใช้ตัวคุณภาพจากมันสำปะหลัง ความดันของกอสัมมน์คุณภาพ 2 บาร์ เปิดวาร์วมอัตโนมัติระเบรือยละ 75 อุณหภูมิของกอสัมมน์คุณภาพต่างกัน.....	69
4.19 การเปลี่ยนแปลงความเข้มข้นของเอกสารอัลตราซาวด์ในผลิตภัณฑ์จากระบบคุณภาพแบบลดความดันโดยใช้ตัวคุณภาพจากมันสำปะหลัง ความดันของกอสัมมน์คุณภาพ 3 บาร์ เปิดวาร์วมอัตโนมัติระเบรือยละ 75 อุณหภูมิของกอสัมมน์คุณภาพต่างกัน.....	69
4.20 การเปลี่ยนแปลงความเข้มข้นของเอกสารอัลตราซาวด์ในผลิตภัณฑ์จากระบบคุณภาพแบบลดความดันโดยใช้ตัวคุณภาพจากมันสำปะหลัง อุณหภูมิของกอสัมมน์คุณภาพ 120 องศาเซลเซียส ความดันของกอสัมมน์คุณภาพ 2 บาร์ เปิดวาร์วมอัตโนมัติระเบรือต่างกัน.....	71
4.21 การเปลี่ยนแปลงความเข้มข้นของเอกสารอัลตราซาวด์ในผลิตภัณฑ์จากระบบคุณภาพแบบลดความดันโดยใช้ตัวคุณภาพจากมันสำปะหลัง อุณหภูมิของกอสัมมน์คุณภาพ 130 องศาเซลเซียส ความดันของกอสัมมน์คุณภาพ 2 บาร์ เปิดวาร์วมอัตโนมัติระเบรือต่างกัน.....	71
4.22 การเปลี่ยนแปลงความเข้มข้นของเอกสารอัลตราซาวด์ในผลิตภัณฑ์จากระบบคุณภาพแบบลดความดันโดยใช้ตัวคุณภาพจากมันสำปะหลัง อุณหภูมิของกอสัมมน์คุณภาพ 120 องศาเซลเซียส ความดันของกอสัมมน์คุณภาพ 3 บาร์ เปิดวาร์วมอัตโนมัติระเบรือต่างกัน.....	72
4.23 การเปลี่ยนแปลงความเข้มข้นของเอกสารอัลตราซาวด์ในผลิตภัณฑ์จากระบบคุณภาพแบบลดความดันโดยใช้ตัวคุณภาพจากมันสำปะหลัง อุณหภูมิของกอสัมมน์คุณภาพ 130 องศาเซลเซียส ความดันของกอสัมมน์คุณภาพ 3 บาร์ เปิดวาร์วมอัตโนมัติระเบรือต่างกัน.....	72

สารบัญชุป (ต่อ)

รูปที่	หน้า
4.24 การเปลี่ยนแปลงความเข้มข้นของอุณหภูมิในผลิตภัณฑ์จากระบบคุณภาพแบบสลับความดันโดยใช้ตัวคุณภาพ 130 องศาเซลเซียส ความดันของกอเด็มบ์คุณภาพ 3 บาร์ เปิดความร้อนต้มระเหยร้อยละ 25 เวลาของครึ่งวัฏจักรต่างกัน	74
4.25 ปริมาตรของอุณหภูมิในผลิตภัณฑ์จากระบบคุณภาพแบบสลับความดันโดยใช้ตัวคุณภาพ 130 องศาเซลเซียส ความดันของกอเด็มบ์คุณภาพ 3 บาร์ เปิดความร้อนต้มระเหยร้อยละ 25 ความดันของกอเด็มบ์คุณภาพ 3 บาร์ เวลาของครึ่งวัฏจักรต่างกัน	74
ก.1 แบ่งมันสำปะหลัง	85
ก.2 กากมันสำปะหลังบดละเอียด	85
ก.3 ตัวคุณภาพจากมันสำปะหลัง	86
ก.4 เครื่องให้ความร้อน	86
ก.5 ชุดการทดลองของระบบคุณภาพแบบเบดنج	87
ก.6 เครื่องตั้งแบบของระบบคุณภาพแบบสลับความดัน	88
ก.7 แผนภาพแสดงองค์ประกอบของระบบคุณภาพแบบสลับความดัน สำหรับตำแหน่งการอ่านค่าความดันและอุณหภูมิของกอเด็มบ์คุณภาพ	89

คำอธิบายสัญลักษณ์และคำย่อ

β	= สัมประสิทธิ์ของปัจจัย
b	= ค่าคงที่การดูดซับ(Adsorption binding constant)
$^{\circ}\text{C}$	= องศาเซลเซียส
C	= ความเข้มข้น
C_0	= ความเข้มข้นเริ่มต้น
C_e	= ความเข้มข้นของสารที่ถูกดูดซับที่สภาวะสมดุล (มิลลิกรัมต่อลิตร)
EtOH	= เอทานอล
g	= กรัม
K_f	= แฟกเตอร์ความจุฟรุนเดิลิช (Freundlich capacity factor)
min	= นาที
ml	= มิลลิลิตร
$\frac{1}{n}$	= พารามิเตอร์ความเข้มฟรุนเดิลิช (Freundlich intensity parameter)
PSA	= การดูดซับแบบสลับความดัน (Pressure Swing Adsorption)
q	= ปริมาณของสารที่ถูกดูดซับต่อปริมาณตัวดูดซับ (มิลลิกรัมต่อกิโลกรัมตัวดูดซับ)
q_m	= ปริมาณสูงสุดของสารที่ถูกดูดซับต่อปริมาณตัวดูดซับ (มิลลิกรัมต่อกิโลกรัมตัวดูดซับ)
T	= อุณหภูมิของกอเลมน์ดูดซับ (องศาเซลเซียส)
%wt	= ร้อยละโดยน้ำหนัก

บทที่ 1

บทนำ

1.1 ความสำคัญและที่มาของปัญหา

วิกฤตการณ์ราคาน้ำมันโลกพุ่งสูงที่เป็นอย่างนี้ขึ้นเมื่อเดือนกันยายนปี พ.ศ. 1973 ส่งผลให้เกิดความตื่นตัวและความกังวลเกี่ยวกับภาระการณ์ขาดแคลนพลังงานขึ้นในเกือบทุกประเทศทั่วโลก หลักการวิถีคุณธรรมนี้ ครั้งนี้ทำให้ประเทศไทยซึ่งพึ่งพาพลังงานจากการนำเข้าในปริมาณค่อนข้างมากต้องประสบกับความเสียเบรียบทางเศรษฐกิจ เนื่องจากราคาน้ำมันสูงขึ้นอย่างหนึ่งของกระบวนการผลิต ทั้งในภาคเกษตรกรรม ภาคอุตสาหกรรม และภาคการขนส่ง สะท้อนถึงความสามารถในการแข่งขัน ที่จะพัฒนาแหล่งพลังงานทดแทนอื่นๆ เพื่อลดความเสียเบรียบและสร้างความมั่นคงทางเศรษฐกิจ อีกด้วยเพื่อสร้างเสริมภาระด้านพลังงานให้แก่ประเทศไทย

ความตระหนักรถึงปริมาณถ่านหุ่งที่ข้ากัดของน้ำมันดิน ประกอบกับความตื่นตัวในบัญญาเรื่องผลกระทบที่เกิดขึ้นต่อสิ่งแวดล้อมเมื่อจากการใช้น้ำมันดินเป็นเชื้อเพลิง ทำให้พัฒนาเทคโนโลยีเป็นเชื้อเพลิงสะอาดและเป็นมิตรกับธรรมชาติเริ่มกลายเป็นที่สุดใจมากขึ้น เอกานอลเป็นพลังงานทดแทนอีกชนิดหนึ่งที่ได้รับความสนใจเป็นอย่างมาก เมื่อจุดก็เป็นเชื้อเพลิงที่ไร้มลพิษ เช่น ซัลเฟอร์และมีโมเลกุลของออกซิเจนเป็นส่วนประกอบอยู่ร้อยละ 35 โดยมีน้ำหนัก และเอกานอลจะมีค่าออกเทน (Octane) ถูก สามารถใช้เพื่อเพิ่มค่าออกเทนให้กับน้ำมันเบนซิน โดยไม่ต้องเติมสารประกอบของคงที่ไว้ทำให้เกิดผลกระทบน้อย และเมื่อนำมาใช้เป็นเชื้อเพลิงในรถยนต์จะเกิดการเผาไหม้ที่สมบูรณ์กว่า เชื้อเพลิงทั่วไป ช่วยลดปริมาณการปล่อยก๊าซเรือนกระจกได้ (บัญชร เจียรวeth, 2550) จึงส่งผลให้เอกานอลเป็นพลังงานทดแทนชนิดหนึ่งที่จะมีอิทธิพลต่อโลกในอนาคต

การทำอดเป็นแอ๊กออกซิเจนนิคหนึ่งที่มีลักษณะเป็นของเหลวไม่มีสี ติดไฟง่าย สามารถละลายได้ในน้ำและสารละลายอินทรีย์อื่น ๆ และการทำลมบริสุทธิ์สูงจะมีค่าออกเทนสูงสามารถนำไปใช้ประโยชน์ได้นอก ได้แก่ ใช้ในกระบวนการผลิตอาหาร และเครื่องดื่มแอ๊กออกซิเจน รวมถึงใช้เป็นตัวทำละลายในอุตสาหกรรม และที่สำคัญคือ ใช้เป็นเชื้อเพลิง เป็นต้น การทำลมบริสุทธิ์ได้ทั้งจากกระบวนการสังเคราะห์ทางเคมีโดยใช้อิเล็กตรอนเป็นวัตถุคืน และในกระบวนการทางชีวเคมีที่ใช้พืชผลหรือวัสดุเหลือใช้ทางการเกษตรโดยใช้เปลวและน้ำตาลสูงเป็นวัตถุคืน ซึ่งเป็นกระบวนการที่นิยมนากในปัจจุบัน ประโยชน์ของการทำอดในแบ่งของเชื้อเพลิง ได้แก่ การนำเข้าการทำอดที่มีความบริสุทธิ์ไม่ต่ำกว่าร้อยละ 99.5 โดยนำหนักไปผสมกับน้ำมันเบนซินในอัตราส่วน 90:10 เป็นเชื้อเพลิงที่เรียกว่าแก๊สโซฮอล์ (Gasohol) ซึ่งสามารถใช้กับเครื่องยนต์เบนซินในปัจจุบันได้โดยไม่จำเป็นต้อง

คัดเปล่งเครื่องยนต์ หรือการใช้เป็นเชื้อเพลิงโดยตรงทดแทนน้ำมันเบนซิน ในรถยนต์ที่มีการปรับแต่งเครื่องยนต์เพื่อร่วงรับเอทานอลแล้ว

ประเทศไทยจัดว่าเป็นประเทศหนึ่งที่มีศักยภาพในการผลิตอุปกรณ์ก่อสร้างสูง เนื่องจากมีวัสดุคุณภาพดีทางการเกษตรที่มีแม่น้ำและแหล่งน้ำติดต่ออย่างสะดวก เช่นแม่น้ำเจ้าพระยา แม่น้ำป่าสัก แม่น้ำแม่แคว แม่น้ำตาล เป็นต้น การผลิตอุปกรณ์ก่อสร้างที่สำคัญที่สุดคือเครื่องจักรกล ซึ่งใช้ในภาคเกษตรกรรม เช่นรถไถ รถแทรกเตอร์ รถบรรทุก รถบัส และรถตู้ รวมถึงเครื่องจักรกลอุตสาหกรรม เช่นเครื่องจักรกลอาหาร เครื่องจักรกลอุตสาหกรรมเคมี และเครื่องจักรกลอุตสาหกรรมไฟฟ้า ฯลฯ ประเทศไทยยังมีความสามารถในการผลิตอุปกรณ์อิเล็กทรอนิกส์ เช่นชิปประมวลผล วงจรพิมพ์ หน้าจอแสดงผล และเซ็นเซอร์ต่างๆ ที่ใช้ในอุปกรณ์ก่อสร้าง เช่นรถบรรทุก รถบัส และรถตู้ ฯลฯ ประเทศไทยยังมีความสามารถในการผลิตอุปกรณ์ก่อสร้างเชิงพาณิชย์ เช่นเครื่องจักรกลอุตสาหกรรมเคมี และเครื่องจักรกลอุตสาหกรรมไฟฟ้า ฯลฯ ประเทศไทยยังมีความสามารถในการผลิตอุปกรณ์ก่อสร้างเชิงพาณิชย์ เช่นเครื่องจักรกลอุตสาหกรรมเคมี และเครื่องจักรกลอุตสาหกรรมไฟฟ้า ฯลฯ

ข้อจำกัดของการเพิ่มความบริสุทธิ์ของ etheran oilด้วยกระบวนการกรักั่น คือ การใช้พลังงานปริมาณมหาศาลในการแยกน้ำออกจากไอดีสมิ etheran oil โดยมีงานวิจัยแสดงให้เห็นว่ากระบวนการดังกล่าวใช้พลังงานมากกว่าร้อยละ 50-80 ของพลังงานที่ใช้ในกระบวนการผลิต etheran oil ทั้งหมด (Lee et al., 1985) อีกทั้งยังเป็นวิธีการแยกสารผสมที่อาศัยการระเหยขององค์ประกอบที่มีจุดเดือดต่างกัน ซึ่งเมื่อกลั่นมาถึงสัดส่วนองค์ประกอบในไอดีสมิค่าเท่ากับสัดส่วนองค์ประกอบในสารละลายเรียกว่า จุดอะเซอโร trope (Azeotrope) ทำให้ไม่สามารถแยกองค์ประกอบของสารผสมออกจากกันได้ สำหรับสารละลายของ etheran oil กับน้ำที่จุดอะเซอโร trope มีความเข้มข้นของ etheran oil ร้อยละ 95.6 โดยน้ำหนัก และมีจุดเดือดคงที่ (Constant boiling point) ที่ 78.2 องศาเซลเซียส การกลั่นแยกน้ำออกจากสารละลาย etheran oil เพื่อให้ได้ etheran oil บริสุทธิ์ ทำได้โดยการเติมสารบางชนิดเพื่อスタイルอะเซอโร trope ขณะทำการกรักั่น เรียกกระบวนการนี้ว่า การกรักั่นอะเซอโร trope (Azeotrope distillation)

ข้อด้อยของกระบวนการกรองลิ้นดังกล่าวจะรบตื้นให้เกิดการวิจัยและพัฒนากระบวนการสำหรับการทำอุตสาหกรรมที่มีปริมาณการใช้พลังงานน้อยกว่ากระบวนการกรองดึงเดิน หนึ่งในกระบวนการที่มีการเสนอไว้คือการรวมเอากระบวนการกรุดซับ (Adsorption) เข้ากับกระบวนการกรองเพื่อแยกน้ำออกจากไออกซ์เจนของอุตสาหกรรม โดยนำน้ำหนักจากขั้นตอนการผลิตอุตสาหกรรมกลับคืนลำดับส่วนบนกระบวนการทั้งได้ความเข้มข้นของอุตสาหกรรมร้อยละ 75-90 โดยนำน้ำหนักจากน้ำผ่านสารละลายที่ได้จากการกรองไปบนตัวกรุดซับที่สามารถกรุดซับน้ำได้ เช่น ซิลิกาเจล (Silica gel) แบเรียมออกไซด์ (Barium oxide) เซโลไลต์ (Zeolite) หรือวัสดุชีวมวล เช่น เป็นข้าวโพด ข้าวโพดบดหยาบ หรือเซลลูโลส (Cellulose) เพื่อให้ได้อุตสาหกรรมที่มีความเข้มข้นมากกว่าร้อยละ 99 โดยนำน้ำหนักกระบวนการกรองลิ้นตามคุณภาพกรุดซับนี้ใช้พลังงานประมาณ 4 เมกะจูลต่อ 1 กิโลกรัมของอุตสาหกรรมที่ผลิตได้ ซึ่งน้อยกว่ากระบวนการกรองลิ้นโซลาร์ไออกซ์เจนใช้พลังงานประมาณ 6-9 เมกะจูลต่อ 1 กิโลกรัมของอุตสาหกรรม (Ladisch and Dyck, 1979)

นอกจากเป็นข้าวโพดและข้าวโพดบดหยานแล้วสกุชีมวลอื่นที่มีการศึกษาพบว่าสามารถคุณภาพน้ำได้ อาทิ ข้าวโพดบดละเอียด (Ladich et al., 1984) ซึ่งข้าวโพด เป็นสารต้านอนุมูลอิสระ (Vareli et al., 2000) ไซแลน (Xylan) และเกย์ไม้ (Ladisch, 1997)

งานวิจัยนี้มีวัตถุประสงค์เพื่อศึกษาความสามารถของตัวดูดซับชีวนิวส์ที่เตรียมขึ้นจากเม็ดแม่พันสำลังและกากมันสำลังซึ่งกากมันสำลังนั้นเป็นวัสดุเหลือใช้จากการกระบวนการผลิตเป็นเม็ดแม่พันสำลังและมีราคาถูก และขั้นตอนร่วงกรองต้นแบบของระบบดูดซับแบบสัดส่วนความดันโลหะใช้ตัวดูดซับจากมันสำลังสำหรับแยกน้ำออกจากไออกซิเจนอลเพื่อเป็นแนวทางสำหรับการใช้ประโยชน์ในเชิงพาณิชย์และเชิงสาธารณะประโภชน์ต่อไป

1.2 วัตถุประสงค์การวิจัย

วัตถุประสงค์หลักของงานวิจัยนี้เพื่อศึกษาความสามารถในการแยกน้ำออกจากไออกซิเจนอลของตัวดูดซับที่เตรียมขึ้นจากเม็ดแม่พันสำลังและกากมันสำลังโดยที่วัตถุประสงค์ย่อยดังนี้

1.2.1 ศึกษาปัจจัยที่มีผลต่อความสามารถในการแยกน้ำออกจากไออกซิเจนอลของระบบดูดซับแบบเบนดิ่ง (Fixed bed adsorption) ได้แก่ ความเข้มข้นของสารละลายนอกอัลเริ่มต้นและปริมาณตัวดูดซับ

1.2.2 ศึกษาปัจจัยที่มีผลต่อความสามารถในการแยกน้ำออกจากไออกซิเจนอลของระบบดูดซับแบบสติงแคนนิ่ง (Pressure swing adsorption) ได้แก่ เวลาของครั้งวัฏจักร อุณหภูมิของคอลัมน์ดูดซับ ความดันของคอลัมน์ดูดซับ และอัตราการไหลของสารปั๊มน้ำ

1.2.3 ศึกษาเปรียบเทียบประสิทธิภาพของการแยกน้ำออกจากไออกซิเจนอลของระบบดูดซับแบบสติงแคนนิ่งที่ใช้ตัวดูดซับจากมันสำลังเปรียบเทียบกับการใช้เซโอไลต์ 3 เอ (Zeolite 3A)

1.3 ขอบเขตของการวิจัย

งานวิจัยนี้จะทำการศึกษาความสามารถในการแยกน้ำออกจากไออกซิเจนอลโดยใช้ตัวดูดซับจากมันสำลังและศึกษาระบบทดับดูดซับแบบสติงแคนนิ่น โดยมีขอบเขตของงานวิจัยดังต่อไปนี้

1.3.1 ศึกษาความสามารถในการแยกน้ำออกจากไออกซิเจนอลของระบบดูดซับแบบเบนดิ่ง โดยใช้ตัวดูดซับจากมันสำลังที่มีขนาดระหว่าง 0.425-0.600 มิลลิเมตร

1.3.2 ศึกษาปัจจัยที่มีผลต่อความสามารถในการแยกน้ำออกจากไออกซิเจนอลของระบบดูดซับแบบเบนดิ่ง ดังต่อไปนี้

1) ความเข้มข้นของสารละลายนอกอัลเริ่มต้นระหว่างร้อยละ 60-95 โดยน้ำหนัก

2) ปริมาณตัวดูดซับระหว่าง 10-60 กรัม เมื่อใช้ปริมาตรสารละลายนอกอัลเริ่มต้น

300 มิลลิลิตร

1.3.3 ขั้นตอนร่วงกรองต้นแบบของระบบดูดซับแบบสติงแคนนิ่น

1.3.4 ศึกษาปัจจัยที่มีผลต่อความสามารถในการแยกนำออกจากราดสมอทางลอดของระบบคุณภาพแบบสลับความดัน ดังต่อไปนี้

- 1) เวลาของครึ่งวัฏจักร ที่เวลา 4/1 3/2 และ 1/4 นาที
- 2) อุณหภูมิของคอลัมน์คุณภาพ ที่อุณหภูมิ 120 และ 130 องศาเซลเซียส
- 3) ความดันของคอลัมน์คุณภาพ ที่ความดัน 2 และ 3 บาร์
- 4) อัตราการไหลของสารป้อนโดยพิจารณาการอัตราการเปิดวาล์วเมื่อต้มระเหย ร้อยละ 25 และ 75

1.4 ประโยชน์ที่คาดว่าจะได้รับ

- 1.4.1 ได้กระบวนการที่สามารถใช้เป็นทางเลือกสำหรับการผลิตเฉพาะลบริสุทธิ์โดยใช้ตัวคุณภาพจากวัสดุชีวมวลซึ่งเป็นวัสดุเหลือใช้ทางการเกษตรที่มีในประเทศไทย
- 1.4.2 ได้องค์ความรู้อันจะเป็นประโยชน์ต่อการพัฒนาและการขยายขนาด (Scale up) ของกระบวนการคุณภาพด้วยตัวคุณภาพจากวัสดุชีวมวล เพื่อเป็นแนวทางสำหรับการใช้ประโยชน์ในเชิงพาณิชย์ และเชิงสาธารณะประโยชน์

บทที่ 2

ปริทัศน์วรรณกรรมและงานวิจัยที่เกี่ยวข้อง

2.1 แป้ง

แป้งเป็นพอลิเมอร์น้ำตาลของกลูโคสที่มีกลูโคสจำนวนหลายพันโมเลกุลมต่อ กัน มีสูตรทางเคมี หัวไบคีอ (C₆H₁₀O₅) และเป็นพอลิแซคคาไรด์ (Polysaccharide) ชนิดหนึ่งที่พบมากในพืชที่การสังเคราะห์แสง พืชเก็บสะสมแป้งไว้ตามส่วนต่างๆ เช่น หัว ราก เมล็ด ลำต้น และผล โดยรวมตัวอยู่เป็นเม็ดแป้ง (starch granule) แป้งส่วนใหญ่ได้มาจากการถูกของพืช เช่น ข้าวเจ้า ข้าวโพด ข้าวสาลี ข้าวฟ้าง และ นางส่วนได้มาจากการหัวและรากของพืช เช่น มันเทศ มันสำปะหลัง และมันฝรั่ง เป็นต้น

แป้งประกอบด้วยพอลิเมอร์ 2 ชนิด คือ อะไมโลส (Amylose) และอะไมโลเพกติน (Amylopectin) โดยแป้งส่วนใหญ่จะมีอะไมโลสเป็นองค์ประกอบประมาณร้อยละ 20-30 โดยน้ำหนัก และอะไมโลเพกติน ประมาณร้อยละ 70-80 โดยน้ำหนัก แต่แป้งจากถั่วและข้าวโพดบางสายพันธุ์มีปริมาณของอะไมโลส สูงถึงร้อยละ 50-80 โดยน้ำหนัก และแป้งจากข้าวโพดบางสายพันธุ์ประกอบด้วยอะไมโลเพกติน เพียงอย่างเดียว

2.1.1 อะไมโลส

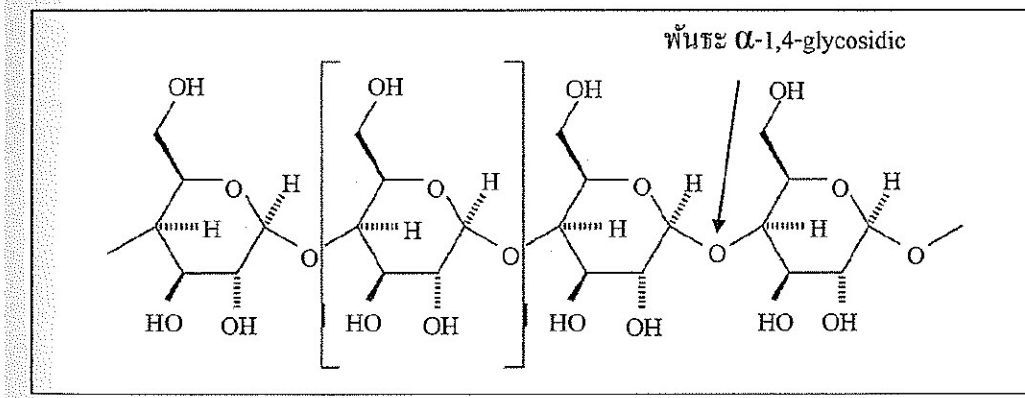
อะไมโลสเป็นพอลิเมอร์สายโซ่ตรงของกลูโคสที่เชื่อมต่อ กันด้วยพันธะ α -1,4-glycosidic คังແສດงในรูปที่ 2.1 มีมวลโมเลกุลเฉลี่ยอยู่ที่ประมาณ 10^6 กรัมต่อโมล โดยทั่วไปแป้งจากหัวพืช เช่น แป้งข้าวโพด แป้งสาลี แป้งข้าวฟ้าง จะมีปริมาณของอะไมโลสประมาณร้อยละ 22-30 โดยน้ำหนัก ส่วน แป้งที่ได้จากการหัว เช่น แป้งมันสำปะหลัง แป้งมันฝรั่ง แป้งสาลีจะมีปริมาณอะไมโลสประมาณร้อยละ 18-24 โดยน้ำหนัก

2.1.2 อะไมโลเพกติน

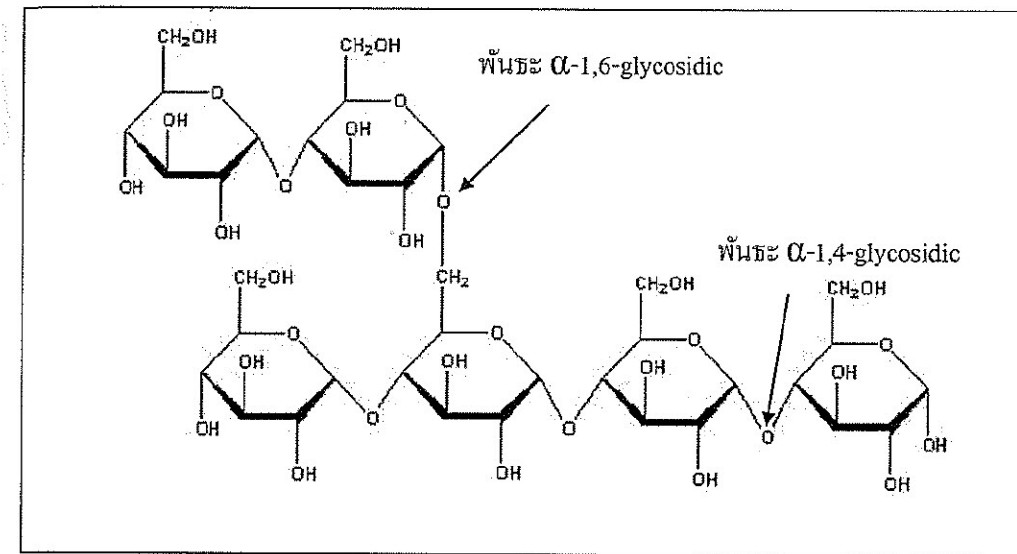
อะไมโลเพกตินคือพอลิแซคคาไรด์ที่เป็นองค์ประกอบหลักมีอยู่ในแป้งประมาณร้อยละ 70-100 โดยน้ำหนัก โครงสร้างของโมเลกุลเป็นพอลิเมอร์ของโมเลกุลกลูโคสที่มีสายแ xenon แยกออกมา แต่ละ xenon มีโมเลกุลของกลูโคสประมาณ 20-30 หน่วย เชื่อมต่อ กันด้วยพันธะ α -1,6-glycosidic คังແສດงในรูปที่ 2.2 ในโครงสร้างโมเลกุลของอะไมโลเพกตินจึงมีห้องพันธะ α -1,4-glycosidic และ α -1,6-glycosidic อะไมโลเพกตินมีขนาดโมเลกุลใหญ่กว่าอะไมโลส และมีน้ำหนักโมเลกุลประมาณ 1,000 เท่าของอะไมโลส คือ มีน้ำหนักโมเลกุลประมาณ 10^7 - 10^9 กรัมต่อโมล

ตารางที่ 2.1 คุณสมบัติของอะไมโลสและอะไมโลเพคติน

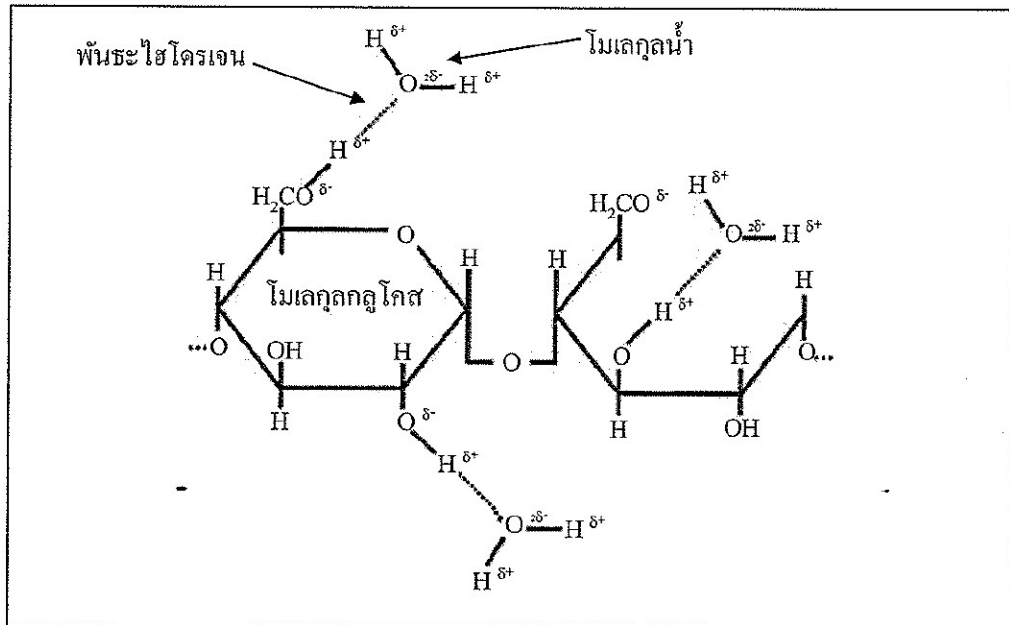
อะไมโลส (Amylose)	อะไมโลเพคติน (Amylopectin)
1. โครงสร้างเป็นโมเลกุลกลูโคสที่ต่อกันเป็น เส้นตรงด้วยพันธะ α -1,4-glycosidic	1. โครงสร้างเป็นโมเลกุลกลูโคสที่ต่อกันด้วย พันธะ α -1,4-glycosidic และมีการแตกกิ่ง ด้วยพันธะ α -1,6-glycosidic
2. ประกอบด้วยกลูโคส 200-6000 หน่วย	2. แต่ละกิ่งมีกลูโคส 20-25 หน่วย
3. ละลายน้ำได้ดีน้อย	3. ละลายน้ำได้ดี
4. ให้สีน้ำเงินกับสารละลายไฮโอดีน	4. ให้สีม่วงแดงหรือสีน้ำตาลอ่อน สารละลายไฮโอดีน
5. เมื่อต้มในน้ำจะมีความข้นหนืดมากและใส	5. เมื่อต้มในน้ำจะมีความข้นหนืดมากและใส
6. ต้มแล้วทึ่งไว้จะจับตัวเป็นวุ้นและเป็นแผ่นแข็ง	6. ต้มแล้วทึ่งไว้จะไม่จับตัวเป็นวุ้นและไม่เป็น แผ่นแข็ง



รูปที่ 2.1 โครงสร้างโมเลกุลของอะไมโลส (<http://www.science.marshall.edu/murraye/images/amylose.JPG>)



รูปที่ 2.2 โครงสร้างไมเดกุลของอะไรมอลเพคติน (http://www.cbu.edu/~seisen/OrganicChemistry_files/image003.jpg)



รูปที่ 2.3 การเกิดพันธะไฮโดรเจนระหว่างไมเดกุลของน้ำกับหมูไฮดรอกซิลของกลูโคส
(Beery and Ladisch, 2001)

ແປ່ງສາມາດຄູດຊັບນໍ້າໄດ້ເນື່ອງຈາກເກີດພັນຮະໄຫໂໂໂຣເຈນຮ່ວງນໍ້າກັບໜູ່ໄໂໂຣອກຈິລືສະບັບນີ້ໂມແດກຸລຸຂອງກູໂໂຄສ ດັ່ງແສດງໃນຮູບທີ 2.3 ຈາກໂໂຣເຈນທີ່ເປັນກື່ງກ້ານສາຫະແລະຈຳນວນໂມແດກຸລຸຂອງກູໂໂຄສທີ່ມາກວ່າຂອງຂອງໄລ່ໄລ້ເພັດຕິນ ຈຶ່ງມີການສັນນິຍົງຮູ້ວ່າຈະໄລ້ເພັດຕິນສາມາດຄົວຮ່ວງພັນຮະໄຫໂໂຣເຈນກັນນໍ້າແລະຄູດຊັບນໍ້າໄດ້ມາກວ່າຂອງໄນ້ໂລສ (Beery and Ladisch, 2001)

Lee et al. (1991) ທຳການທີ່ກ່າວປ່າກວ່າກູໂໂຄສ ດັ່ງນັ້ນທີ່ມີການສາມາດຮ່ວມມືກັບພັນຮະໄຫໂໂຣເຈນກັບໜູ່ໄໂໂຣອກຈິລືສະບັບນີ້ໂມແດກຸລຸຂອງກູໂໂຄສໄດ້ ແຕ່ນໍ້າເກີດກູດຊັບໄດ້ມາກວ່າແລະເຮົວກວ່າເມື່ອເຫັນກັບເອທານອດ ດັ່ງນັ້ນໃນການແຍກນໍ້າອອກຈາກເອທານອດຈຶ່ງພິຈາລາເພາະກາຮູດຊັບຂອງໂມແດກຸລຸນໍ້າໃນແປ່ງທ່ານັ້ນ

2.2 ມັນສຳປະກັບ

ມັນສຳປະກັບມີຊື່ອກາຍາອັງກຸນວ່າ Cassava ອີຣີ ຕາປັນມີລັກນະຄລ້າຍໜ້ອນື່ອຈາກການຮ່ວມມືກັບນັ້ນທີ່ມີກັບພັນຮະໄຫໂໂຣເຈນກັບໜູ່ໄໂໂຣອກຈິລືສະບັບນີ້ໂມແດກຸລຸຂອງກູໂໂຄສ ແຕ່ນໍ້າເກີດກູດຊັບໄດ້ມາກວ່າແລະເຮົວກວ່າເມື່ອເຫັນກັບເອທານອດ ດັ່ງນັ້ນໃນການແຍກນໍ້າອອກຈາກເອທານອດຈຶ່ງພິຈາລາເພາະກາຮູດຊັບຂອງໂມແດກຸລຸນໍ້າໃນແປ່ງທ່ານັ້ນ

ມັນສຳປະກັບເປັນພື້ນທີ່ປ່ຽນປຸງຢູ່ໃນເພດຕົ້ນ ແນະກັບດິນຮ່ວມປັນທາຍ ແຕ່ເປັນພື້ນທີ່ແລ້ວຈຶ່ງສາມາດເພາະປຸງໄດ້ໃນດິນທຸກໆໜີດ ແມ່ແຕ່ດິນທີ່ມີກວ່າມອຸດຸມສົມບູຮຸດຕ້າ ໂດຍມັນສຳປະກັບທີ່ປ່ຽນປຸງກັນທ່ານີ້ໂລກມີໜ່າຍພັນຮູ້ ແຕ່ມັນສຳປະກັບທີ່ປ່ຽນປຸງເພື່ອການຄໍາມີເພີຍງານພັນຮູ້ *Manihot esculenta* Crantz (ຊື່ອດີມຄື່ອ *Manihot utilissima* Pohl) ເຖິງນັ້ນ ມັນສຳປະກັບທີ່ປ່ຽນປຸງແປ່ງເປັນ 2 ຊົນດີ ສືບ ມັນສຳປະກັບໜີດຫວານ (Sweet type) ແລະມັນສຳປະກັບໜີດຫົມຂມ (Bitter type) ຜົ່ງເປັນມັນສຳປະກັບໜີດທີ່ໄຫ້ປົງປາມແປ່ງສູງ ຈຶ່ງນິຍົມໃຊ້ໃນອຸດສາຫກຮ່ວມການແປ່ງປຸງຕ່າງໆ ເຫັນ ອຸດສາຫກຮ່ວມມັນແສ້ນແລະມັນອັດເມືດ ແລະອຸດສາຫກຮ່ວມແປ່ງມັນສຳປະກັບຕົ້ນ ເປັນຕົ້ນ

ປະເທດໄທສາມາດປ່ຽນມັນສຳປະກັບໄດ້ທຸກການແລະປຸງໄໄດ້ຕົລອດປີ ແຕ່ເກຍຕຽກຮ່ວມໃຫຍ່ຈະປ່ຽນມັນສຳປະກັບໃນຊ່ວງດັ່ງຕຸກູຟັນ (ເດືອນພຸ່ມກາມຄົງເດືອນມືຖຸນາບັນ) ແລະຊ່ວງປ່າຍຖຸຟັນ (ເດືອນຕຸລາຄົງເດືອນພຸດຍຈິກາຍນ) ເນື່ອຈາກເປັນຊ່ວງທີ່ໃຫ້ພົບພັດຫວັດສູງກວ່າໃນຊ່ວງເດືອນອື່ນຫັ້ນມັນສຳປະກັບທີ່ພົບພັດໄດ້ໃນປະເທດໄທສ່ວນໃຫຍ່ຈະໃຫ້ເປັນວັດຖຸດີທີ່ສຳຄັງໃນການພົບພັດແປ່ງ

แป้งมันสำปะหลัง

การผลิตแป้งมันสำปะหลังสามารถทำได้โดยการสกัดแป้งออกจากหัวมันสำปะหลังสดและไม่มีการเปลี่ยนแปลงโครงสร้างของแป้ง แป้งมันสำปะหลังที่ผลิตได้จะมีลักษณะเป็นผงละเอียดสีขาว และมีความบริสุทธิ์สูง มีปริมาณแป้งอยู่มากถึงร้อยละ 85 โดยน้ำหนัก และมีปริมาณโปรตีนและไขมันรวมถึงฟอสฟอรัสค่อนข้างต่ำ เมื่อเปรียบเทียบกับแป้งชนิดอื่น ๆ มีอะไรมอลเพคตินอยู่สูงถึงร้อยละ 80 ของปริมาณแป้งทั้งหมด ดังแสดงในตารางที่ 2.3 และเมื่อได้รับความร้อนจะมีความหนืดสูงทำให้ได้แป้งปิยก็ได้ ไม่หืนแสง และมีอัตราการกินด้วนต่ำ

กากมันสำปะหลัง

กากมันสำปะหลังเป็นวัสดุเหลือใช้จากการงานผลิตแป้งมันสำปะหลัง มีลักษณะเป็นเนื้อละเอียดสีขาว มีความชื้นสูงประมาณร้อยละ 80 ถึงแม้ว่ากากมันสำปะหลังจะมีระดับเยื่อใย (Fiber) สูง แต่ยังคงมีปริมาณแป้งเหลืออยู่ค่อนข้างมาก ดังแสดงในตารางที่ 2.4

ตารางที่ 2.2 องค์ประกอบทางเคมีของมันสำปะหลังแห้ง

(มูลนิธิสถาบันพัฒนามันสำปะหลังแห่งประเทศไทย)

องค์ประกอบ	ร้อยละ โดยน้ำหนัก
แป้ง	71.9-85.0
โปรตีน	1.57-5.78
เยื่อใย	1.77-3.98
เต้า	1.20-2.80
ไขมัน	0.06-0.43
คาร์โบไฮเดรตที่ไม่ใช่แป้ง	3.59-8.66

ตารางที่ 2.3 องค์ประกอบทางเคมีของแป้งมันสำปะหลัง

(Kiatpongklarp, 2007)

องค์ประกอบ	ร้อยละ โดยน้ำหนัก
ชาไมโลส (Amylose)	17.25
ชาไมโลเพคติน (Amylopectin)	82.75

ตารางที่ 2.4 ยงค์ประกอบทางเคมีของกากมันสำปะหลัง

(สุนีย์ ไบตินนาห์, 2539)

องค์ประกอบ	ร้อยละโดยน้ำหนัก
การโน้มไข่คราด	66.22
เส้นใย	15.26
โปรตีน	3.39
ไขมัน	0.24
เต้า	2.65

ตารางที่ 2.5 ยงค์ประกอบทางเคมีของข้าวโพด

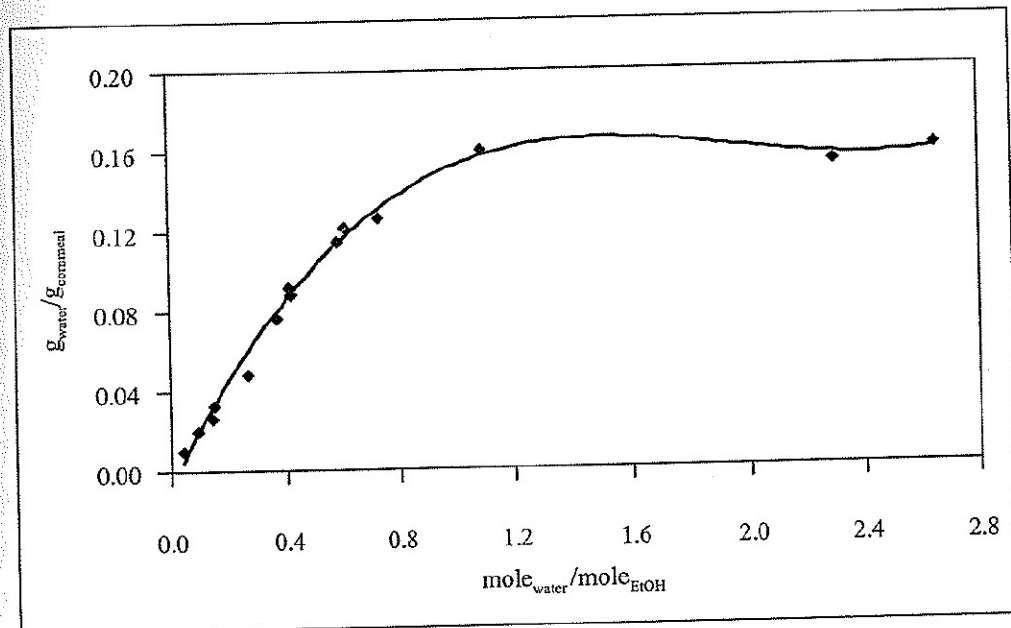
(Anderson et al., 1996)

องค์ประกอบ	ร้อยละโดยน้ำหนัก
แป้ง	78
- อะไมโลส	(25)
- อะไมโลเพคติน	(75)
โปรตีน	7.5
เต้า	0.3
ไขมัน	0.7
ความชื้น	11.5
อื่นๆ	2.3

ผลงานวิจัยหลายชั้นแสดงให้เห็นว่าสัดส่วนมวลที่มีแป้งเป็นองค์ประกอบในการผลิตข้าวโพดคั้งต่อไปนี้ Ladisch et al. (1984) ศึกษาการแยกน้ำออกจากไอกของสารละลายເຂົາພາບໂດຍໃຊ້ ข้าวโพดบดละเอียดเป็นគຸດຫັນໃນระบบគຸດຫັນແບບເນດິນໆ ສກວະທີ່ທຳກາຣທົດລອງ ກືອ ອຸນຫຼມມີຂອງຄອລົມນິກຸດຫັນ 80-110 ອົງຫາເຊື້ອເຊີຍສ ທີ່ກວານຄັນນິບຮຽາກາຫ ແລະ ຄວາມເໝັ້ນເໝັ້ນທີ່ໜ້າອັງໄອເພງເຂົາພາບອລົບຮູ້ອັກ 49.1-98.5 ໂດຍນ້າໜັກເພື່ອສຶກຍາກວາມເປັນໄປໄດ້ຂອງគຸດຫັນຈາກຫົວໄວບດະເລື້ອຍດ ພັກກະທົດລອງພວກຫົວໄວບດະເລື້ອຍດສາມາຮອແກນນ້ຳອອກຈາກໄອເອການອດໄດ້ ຈາກກາຣສຶກຍາງປະເມນ ກາຣກະຮາຍຄວາມເໝັ້ນເໝັ້ນ (Concentration profile) ໃໃໝ່ຂ້າວໂພດຄະເລື້ອຍດ 156 ກຣົມ ເປັນພັກກະທົດລອງໃນຮະດັບທີ່ອັນປັງຕິກາຣ ພັນວັນວຸດທະນາ (Breakthrough time) ເຫັນກັບ 20 ນາທີ ດໍາເນີນວຸດທະນາເບີຣົກງ

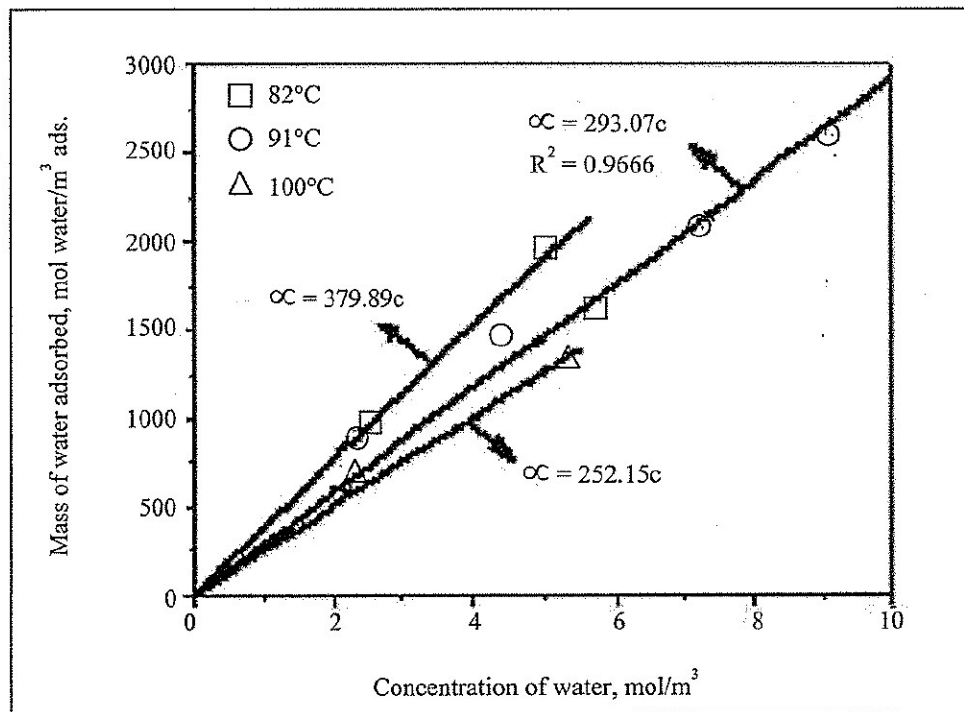
จึงอยู่กับปริมาณของตัวดูดซับที่ใช้ และเมื่อพิจารณากระบวนการดูดซับในระดับโรงจานดินแบบที่ใช้เปรียบของข้าวโพดบดละเอียดจำนวน 4.54 กิโลกรัม จะมีค่าความพร้อมรูประมวล 9 ชั่วโมง โดยสามารถเพิ่มความเข้มข้นของเอทานอลสูงกว่าร้อยละ 99.6 โดยน้ำหนัก ปริมาณน้ำที่ถูกดูดซับต่อปริมาณตัวดูดซับที่ใช้ (Water loading) มีค่าสูงสุดอยู่ที่ 0.160 กรัมน้ำต่อกรัมตัวดูดซับ ดังแสดงในรูปที่ 2.4 นอกจากนี้ผลการศึกษายังพบว่าตัวดูดซับจากข้าวโพดบดละเอียดสามารถดูดซับแยกน้ำออกจากสารผสมอินทรีย์อื่น และสามารถนำตัวดูดซับจากข้าวโพดบดละเอียดกลับมาใช้ใหม่ได้

สำหรับพลังงานรวมที่ต้องใช้ในโรงจานดินแบบที่ใช้ข้าวโพดบดละเอียดเป็นตัวดูดซับ เมื่อป้อนสารละลายน้ำของความเข้มข้นร้อยละ 92 โดยน้ำหนัก ที่อุณหภูมิห้อง คือ 1,760 กิโลกรัมต่อ กิโลกรัมของสารผลิตภัณฑ์ ซึ่งพลังงานดังกล่าวได้รวมพลังงานในการเพิ่มอุณหภูมิเพื่อเปลี่ยนสารละลายน้ำให้กลายเป็นไออกทานอล



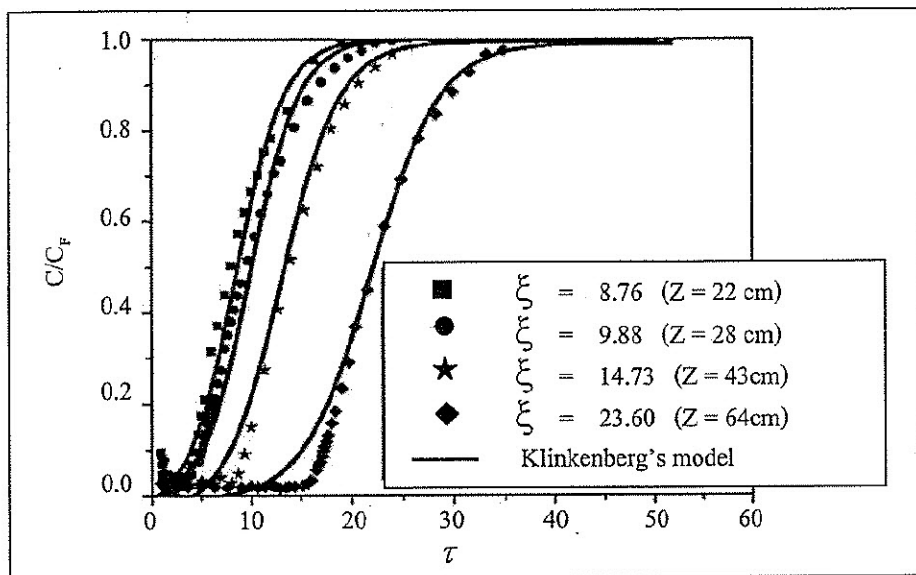
รูปที่ 2.4 ไอโซเทอร์มนของตัวดูดซับจากข้าวโพดบดละเอียดที่ความดันบรรยายการ
(Ladisch et al., 1984)

Chang et al. (2006) ศึกษาการดูดซับแยกไนโตรเจนออกจากไออกซิเจนของอุตสาหกรรมโดยใช้ข้าวโพดในระบบดูดซับแบบเบนเนคันที่มีขนาดเด่นท่า�อนศูนย์กลางของคาดัมบ์ดูดซับ 2.5 เซนติเมตร และสูง 90 เซนติเมตร เพื่อศึกษาໄโอโซเทิร์มการดูดซับของน้ำในช่วงอุณหภูมิของการดูดซับ 82-100 องศาเซลเซียส และทำนายเส้นโค้งเบรคทรู (Breakthrough curve) โดยการเปรียบเทียบกับแบบจำลองของ Klinkenberg ผลการทดลองพบว่าໄโอโซเทิร์มของการดูดซับเป็นแบบเส้นตรง ดังแสดงในรูปที่ 2.5 โดยความชันของเส้นกราฟมีค่าคงคลุมอยู่ที่ 0.9666 และได้ค่าเบรคทรูสำหรับใช้ได้กับแบบจำลองของ Klinkenberg ที่มีสัมประสิทธิ์การถ่ายโอนมวลรวม (Overall mass transfer coefficient) เท่ากับ 2.78×10^{-3} ต่อวินาที (ดังแสดงในรูปที่ 2.6)



รูปที่ 2.5 ໄโอโซเทิร์มการดูดซับของน้ำโดยใช้ตัวดูดซับจากเปลือกข้าวโพด

(Chang et al., 2006)



รูปที่ 2.6 เส้นโค้งเบรกทูที่เบคความสูงต่าง ๆ ที่อุณหภูมิของเบด 91 องศาเซลเซียส
ความชื้นขั้นเริ่มต้นร้อยละ 6.2 โดยน้ำหนัก (Chang et al., 2006)

Westgate and Ladisch (1993) ศึกษาการใช้ข้าวโพดบดหยานเป็นตัวอย่างความชื้นสำหรับกระบวนการทำอาหารแห้ง โดยอาหารอ่อนตัวภายใต้สภาวะความดัน 300 กิโลปัสกาล และอุณหภูมิ 25 องศาเซลเซียส พบร่วมกันที่สภาวะสมดุล 1 กรัมของตัวอย่างสามารถดูดซับน้ำได้ 196 มิลลิกรัม (Equilibrium loading = 196 mg/g) และตัวอย่างข้าวโพดบดหยานสามารถดูดความชื้นออกจากอากาศได้เช่นเดียวกันกับชีโวไลต์ในเครื่องทำแห้งแบบสลับความดัน

เมื่อพิจารณาองค์ประกอบทางเคมีของมันสำปะหลัง (ตารางที่ 2.2) จะเห็นว่ามีแป้งเป็นองค์ประกอบอยู่มาก ซึ่งเกิดความสนใจที่จะศึกษาความสามารถของตัวอย่างที่ดูดซับน้ำได้มากขึ้นจากแป้ง และการมันสำปะหลังสำหรับการดูดซับน้ำในกระบวนการแยกน้ำออกจากไอกลมของอาหารสด

2.3 เอทานอล (Ethanol)

เอทานอลหรือเอทิลแอลกอฮอล์ เป็นสารอินทรีย์ที่หมักได้จากพืชในกลุ่มเปลือกหัวตาด เอทานอลมีพสมอยู่ในสูราหรือเครื่องคั่วลงยาและก็ออล์ที่ใช้บริโภค และเป็นสารประกอบไฮโดรคาร์บอนที่มีหมู่ไฮดรอกซิล (OH) ต่ออยู่กับสายโซ่ของไฮโดรคาร์บอน มีสูตรทางเคมี คือ C_2H_5OH เป็นของเหลวใส่ไม่มีสี มีความหนาแน่น 0.789 กรัมต่อลูกบาศก์เซนติเมตร ที่อุณหภูมิ 20 องศาเซลเซียส มีจุดเดือด 78.32 องศาเซลเซียส ที่ความดัน 760 มิลลิเมตรปัրอท สามารถละลายได้ทั้งในน้ำและอีเทอร์ มีค่าความร้อนจ้าวเพาช์ 2.43 จูลต่อกรัม และค่าความร้อนแห้ง 920.3 จูลต่อกรัมที่อุณหภูมิ 20 องศาเซลเซียส เอทานอลถูกใช้ประโยชน์ในอุตสาหกรรมหลัก 3 กลุ่ม คือ กลุ่มเครื่องคั่ว กลุ่มอุตสาหกรรมเกี่ยวกับอาหาร ยาและสี และกลุ่มวัสดุเชื้อเพลิง

2.3.1 การใช้ประโยชน์จากเอทานอลในกลุ่มเชื้อเพลิง

เอทานอลที่มีความบริสุทธิ์แตกต่างกันสามารถนำมาใช้ทำเป็นเชื้อเพลิงได้ 3 รูปแบบ ได้แก่

1) เป็นเชื้อเพลิงโดยตรงเพื่อทดแทนน้ำมันเบนซินหรือดีเซล โดยใช้เอทานอลที่มีความเข้มข้นร้อยละ 99.5 โดยน้ำหนัก ใช้กับเครื่องยนต์ที่มีอัตราส่วนการอัดสูง

2) เอทานอลความเข้มข้นร้อยละ 99.5-99.6 โดยน้ำหนัก สามารถนำไปผสมกับน้ำมันเบนซินได้ในหลายอัตราส่วนและมีชื่อเรียกที่ต่างกันดังนี้ เมื่อผสมกับน้ำมันเบนซินจะเรียกว่า แก๊ซโซลหรือ E10 หมายถึงการผสมน้ำมันเบนซินกับเอทานอลในสัดส่วน 90:10 โดยที่ยังรักษาค่าอุกเทนไว้ได้ในระดับเดิม E20 หมายถึงการผสมน้ำมันเบนซินกับเอทานอลในสัดส่วน 80:20 และในหลายประเทศ E85 เป็นชื่อที่เรียกเชื้อเพลิงที่ได้จากการผสมน้ำมันเบนซินกับเอทานอลโดยมีสัดส่วนของเอทานอลสูงถึง 85 ส่วน และมีค่าอุกเทนสูง มีใช้กันในประเทศไทยในเบนเนอริก้า และยุโรป ร่วมทั้งประเทศไทย

3) เป็นสารเคมีที่ช่วยเพิ่มค่าอุกเทนในน้ำมันเบนซิน โดยการเปลี่ยนรูปเอทานอลเป็น ETBE (Ethyl Tertiary Butyl Ether) สามารถใช้ทดแทนสาร MTBE (Methyl Tertiary Butyl Ether) ซึ่งเป็นสารเติมแต่งในน้ำมันเบนซิน และมีหลายประเทศประกาศห้ามใช้น่องจากก่อให้เกิดมลภาวะในอากาศที่สูงกว่าสารเติมแต่งอื่น ๆ

2.3.2 กระบวนการผลิตเอทานอลบริสุทธิ์

การผลิตเอทานอลนั้นสามารถผลิตได้ทั้งจากการสังเคราะห์ทางเคมีโดยการใช้อุทิศเป็นสารตั้งต้นหรือกระบวนการทางชีวภาพโดยการหมักพืชที่มีน้ำตาล เช่น อ้อย นิยม หรือ根茎 หรือชนิดที่ประกอบด้วยเยื่อ เช่น มันสำปะหลัง ข้าว ข้าวสาลี ข้าวบาร์เลย์ ข้าวฟ่าง โดยถอนไขม์จากกลูตินหรือจะย่อยเป็นไขว้สกัดชีวมวลให้เป็นน้ำตาล หมักน้ำตาลด้วยเชื้อสีต์เพื่อเปลี่ยน

ให้เป็นอุตสาหกรรม ได้ความเข้มข้นของเอทานอลประมาณร้อยละ 5-12 โดยน้ำหนัก จากนั้นนำไปผ่านกระบวนการกรดล้างเพื่อเพิ่มความเข้มข้นของเอทานอล ซึ่งกระบวนการกรดล้างด้วยตัวสามารถลดเครื่องเอทานอลที่มีความเข้มข้นสูงตัดได้เพียงร้อยละ 95.5 โดยน้ำหนักเท่านั้น ในกรณีที่ต้องนำมารีไซค์เพิ่ม เช่นเพลิงที่จะใช้ในร่องรอยตัวรูปแก๊ส ไฮยาค็อกและตัวโซ่อ๊ด จะต้องแยกส่วนน้ำออกจากเอทานอลให้ได้ความบริสุทธิ์มากกว่าร้อยละ 99.5 โดยน้ำหนัก กรรมวิธีหรือเทคโนโลยีในการแยกน้ำที่มีผลิตภัณฑ์เอทานอลบริสุทธิ์ที่นิยมมี 3 วิธี คือ

1) การกลั่นอะเซอไโตรป (Azeotrope distillation) เป็นกระบวนการผลิตเอทานอลบริสุทธิ์หลังที่ประกอบด้วย 3 ขั้นตอนหลัก ดังนี้ (Pinto et al., 2000)

- การกลั่นสำดับส่วน (Fraction distillation) เพื่อเพิ่มความเข้มข้นของเอทานอลโดยความเข้มข้นสูงของเอทานอลที่ได้ประมาณร้อยละ 95 โดยน้ำหนัก ซึ่งเป็นความเข้มข้นที่ดูดอะเซอไโตรป (Azeotrope) ของสารละลายเอทานอลในน้ำ

- การกลั่นอะเซอไโตรป เป็นการกลั่นเอทานอลโดยเดินสารประกอบที่สามลงไปในสารละลายอะเซอไโตรปของเอทานอลในน้ำ เพื่อสารละลายอะเซอไโตรปจะทำให้สามารถกลั่นแยกน้ำออกจากเอทานอลได้ สารประกอบที่สามที่เติมเข้าไปเรียกว่า เบนทรานเนอร์ (Entrainer) ตัวอย่างของเบนทรานเนอร์ที่ใช้ได้แก่ ไซโคhexane (Cyclohexane) เมทาซีน (Benzene) โทลูอีน (Toluene) อีเทอร์ (Eter) หรือคิโนน (Ketone) โดยสารผสมที่ประกอบด้วยน้ำ เบนทรานเนอร์ และเอทานอลบางส่วน จะช่วยให้ไม่ทางด้านบนของห้องลับส่วนด้านล่างของห้องลับนี้จะเป็นการทำงานของที่มีความบริสุทธิ์เพิ่มมากขึ้น

- การดันสำดับส่วนเพื่อแยกองค์ประกอบในสารผสมที่จะเหลืออยู่ทางด้านบนของห้องลับอะเซอไโตรปออกจากกัน ขั้นตอนนี้มีจุดประสงค์เพื่อกลั่นแยกเอทานอลที่ดึงไปกับสารผสมตั้งแต่ล่าง และแยกเมแททรานเนอร์ท่อน้ำกลับมาใช้ใหม่

กระบวนการกรดลั่นนี้เป็นวิธีการดึงเดินที่นิยมใช้เป็นอย่างมากในการผลิตเอทานอลบริสุทธิ์ แต่มีข้อด้อยคือใช้พลังงานมากและเอนไซรนนิคเป็นสารอันตรายมีพิษ และน้ำแข็งเป็นสารก่อมะเร็ง

2) การคัดซับด้วยซีโอໄลิต (Zeolite separation) หลักการของกระบวนการนี้ คือ ซีโอໄลิตจะยอมให้ไม่เกลอกน้ำผ่านเข้าไปในรูพุน ขณะที่ไม่เกลอกของเอทานอลที่มีขนาดใหญ่กว่า อะต่ำนไปไม่ได้ กระบวนการนี้เริ่มด้วยการผ่านสารละลายเอทานอลที่มีความบริสุทธิ์ร้อยละ 92-96 โดยน้ำหนัก ไปบังคับด้วยน้ำคัดซับที่บรรจุซีโอໄลิตไว้ภายในเป็นรั้น ประมาณ 2-3 ชั้นในแนวตานาโน่ไม่เกลอกน้ำจะถูกขับไล่ในขณะที่เอทานอลบริสุทธิ์ร้อยละ 99.8-99.9 โดยน้ำหนัก จะผ่านลงมาและถูกนำไปปั้งลังเก็บหลังจากเสร็จสิ้นกระบวนการแยกน้ำซึ่งซีโอໄลิตแต่ละชั้นจะซึ่มน้ำไปด้วยน้ำ และ

สามารถทำให้แห้งได้โดยผ่านไอน้ำเพื่อได้น้ำที่ถูกคัดซับในโซลิเตอร์ออก ข้อดีของการวนการนี้คือ เป็นเทคโนโลยีที่ง่าย ใช้พลังงานค่าเมื่อเทียบกับวิธีการกลั่นอะโซลิโซลิโน่โตรปและไม่ต้องมีการเติมเอนไซร์แนร์เพื่อช่วยในการแยกน้ำออกจากไอกลมของอุทาณอล แต่มีข้อเสียคืออัตราการสึกกร่อนของโซลิเตอร์มีค่อนข้างสูง เมื่อมีการใช้งานมากกว่า 5 ปี จำเป็นต้องเปลี่ยนตัวคุดซับใหม่ (พีรุษ ควรเช็คชุด และ สุจิตรารังษีกนกจิตต์, 2546)

Carmo and Gubulin (2002) การศึกษาการแยกน้ำออกจากไอกลมของอุทาณอลในกระบวนการคุดซับแบบสั่นความดันชนิดคลอลัมน์คุดซับเดี่ยวและโซลิเตอร์ 3 เอ (Zeolite 3A) โดยออกแบบการทดลองด้วยวิธีออกแบบการทดลองเชิงแฟกторเรียลแบบ 3 ระดับ เพื่อศึกษาตัวแปรต่าง ๆ ได้แก่ อัตราการไหลดของสารปื้อน 2-8 ลิตรต่อชั่วโมง อุณหภูมิของคลอลัมน์คุดซับ 150-250 องศาเซลเซียส ความดันของคลอลัมน์คุดซับ 2-6 บาร์ และความดันในการคายซับ 0.2-0.8 บาร์ วิเคราะห์ความเข้มข้นของสารละลายน้ำของอุทาณอลด้วยเครื่องวัดดรชน์ในการหักเหของแสง (Reichert-Jung Auto Abbe refractometer) และหาสภาวะที่เหมาะสมของกระบวนการคุดซับโปรแกรม MATLAB พนวณสภาวะที่ให้ค่าเหมาะสมที่สุดคือ ความดันของคลอลัมน์คุดซับ 3.397 บาร์ อัตราการไหลดของสารปื้อน 5.52 ลิตรต่อชั่วโมง และ อุณหภูมิของคลอลัมน์คุดซับ 250 องศาเซลเซียส ได้ความเข้มข้นของผลิตภัณฑ์เอทานอลสูงสุดร้อยละ 99.683 โดยน้ำหนัก สัดส่วนน้ำกีวีคิน (Recovery) คือ สัดส่วนของสารปื้อนต่อความบริสุทธิ์ของผลิตภัณฑ์เท่ากับร้อยละ 89.693 ปริมาณผลิตภัณฑ์ของอุทาณอล 7.462 กรัม/oทานอลต่อกรัมตัวคุดซับ และเวลาของวัฏจักร 28.98 วินาที

ธีรพัฒน์ มัชณิมาภิโร และ สนธยา หนูเกื้อ (2004) ศึกษาการแยกน้ำออกจากไอกลม เอกานอลในกระบวนการคุดซับแบบสั่นความดันโดยใช้โซลิเตอร์ชนิด 3 เอ โดยใช้สารละลายน้ำของอุทาณอล เริ่มน้ำเข้มข้นร้อยละ 94-95 โดยน้ำหนัก ความดันในการคุดซับ 2-4 บาร์ ความดันในการคายซับ 0.2 บาร์ เวลาของครึ่งวัฏจักร 3 และ 4 นาที และอุณหภูมิคุดซับและคายซับ 150-200 องศาเซลเซียส พนวณเมื่อใช้ความดันในการคุดซับ 3 บาร์ และเวลาของครึ่งวัฏจักร 3 นาที สามารถเพิ่มความเข้มข้นของอุทาณอลสูงถึงร้อยละ 99.71 โดยน้ำหนัก

3) กระบวนการแยกด้วยเยื่ออิเล็กต์รอน (Membrane separation) กระบวนการนี้น้ำออกจากจะเป็นเทคโนโลยีล่าสุด ที่ใช้พลังงานน้อยในการแยกสารละลายน้ำของอุทาณอลจะใช้เยื่ออิเล็กต์รอนโดยใช้กลไกการซึมผ่านของสารละลายน้ำ (Permeation) ผ่านแพ่นเยื่ออิเล็กต์รอนออกมาน้ำอยู่ในสภาวะไอก (Evaporation) เนื่องจากความดันของสารละลายน้ำต่ำกว่าความดันของน้ำ เช่น วิธีการนี้เรียกว่า Pervaporation ถึงสำคัญในวิธีนี้คือต้องเลือกเยื่ออิเล็กต์รอนให้เหมาะสม สำหรับการแยกน้ำออกจากอุทาณอลจะใช้เยื่ออิเล็กต์รอนชนิดชอบน้ำ (Hydrophilic membrane) วิธีการนี้มีความสะดวก ใช้พลังงานน้อยและได้ผลิตภัณฑ์เอทานอลที่บริสุทธิ์ เช่นเดียวกับกระบวนการอื่น การแยกน้ำด้วยกระบวนการนี้จะไม่ขึ้นอยู่กับสมดุลของ

เกอร์โน ไดนามิกส์ของสารละลาย แต่กระบวนการนี้ขยายขนาดให้ก้อนข้างมากจึงเหมาะสมสำหรับการแยกสารผสมในปริมาณน้อยเท่านั้น (รัตนฯ จิระตันนาบท์, 2543)

2.4 การดูดซับ (Adsorption)

การดูดซับ คือ การแยกสารผสมโดยการที่ต้องการแยกเป็นตัวๆ ออกจากวัสดุภายในวัสดุของเหลว (Liquid phase) หรือวัสดุของแก๊ส (Fluid phase) เมื่อให้สารละลายหรือแก๊สผสมในหลักสัมพัสด์กับตัวดูดซับ สารที่ต้องการแยกจะสร้างพันธะหรือยึดเกาะบนผิwtัวดูดซับด้วยแรงดึงดูดระหว่างโมเลกุลอย่างอ่อน วัสดุที่เป็นตัวดูดซับต้องมีพื้นที่พิเศษเมื่อเทียบกับหน่วยน้ำหนักและมีรูพรุนมาก

2.4.1 ลักษณะกลไกการดูดซับ มี 2 ลักษณะ คือ

1) การดูดซับทางกายภาพ (Physical adsorption)

เป็นการดูดซับที่เกิดจากแรงดึงเหนี่ยวระหว่างโมเลกุลของตัวดูดซับกับโมเลกุลของตัวดูดซับ ซึ่งมีค่ามากกว่าแรงดึงเหนี่ยวระหว่างโมเลกุลของตัวดูดซับในสารละลาย ไม่เกิดขึ้นในสารละลาย ตัวดูดซับจะจับผิwtัวดูดซับ แรงดึงเหนี่ยวเป็นแรงวนโคจร์วัลส์ (Van der Waals Force) ที่มีค่าความร้อนของการดูดซับประมาณ 20 กิโลจูลต่อโมลหรือน้อยกว่าและไม่ทำให้เกิดการเปลี่ยนแปลงโครงสร้างของตัวดูดซับระหว่างที่เกิดการดูดซับ การดูดซับทางกายภาพสามารถเกิดการผันกลับได้อย่างสมบูรณ์ ซึ่งสามารถทำการศึกษาได้ทั้งกระบวนการการดูดซับและคายซับ (Desorption) นอกจากนี้สารที่ถูกดูดซับสามารถเกาะบนผิwtของตัวดูดซับได้ทั้งแบบชั้นเดียว (Monolayer) และหลายชั้น (Multilayer)

2) การดูดซับทางเคมี (Chemical adsorption)

เป็นการเกิดพันธะทางเคมีหรือการใช้อิเล็กตรอนร่วมกันระหว่างโมเลกุลของตัวดูดซับ และตัวดูดซับ เกิดในลักษณะคล้ายกับการเกิดปฏิกิริยาเคมี การดูดซับนี้จึงต้องการพลังงานกระตุ้น เช่น ไฟฟ้ากับการเกิดปฏิกิริยาทั่วไป ตั้งนัยการดูดซับทางเคมีจึงเกิดขึ้นได้ที่อุณหภูมิสูง และมีค่าความร้อนของการดูดซับสูงประมาณ 50-400 กิโลจูลต่อโมล การดูดซับประเภทนี้จะเกิดการดูดซับของตัวดูดซับแบบชั้นเดียวเท่านั้น

ข้อแตกต่างระหว่างการดูดซับทางเคมีและทางกายภาพแสดงดังตารางที่ 2.6

ตารางที่ 2.6 ความแตกต่างระหว่างการดูดซับทางกายภาพและการดูดซับทางเคมี

ตัวแปร	การดูดซับทางกายภาพ	การดูดซับทางเคมี
1. ค่าความร้อนของการดูดซับ (กิโลจูลต่อโมล)	≤ 20	50 - 400
2. อุณหภูมิที่เกิดการดูดซับ	ต่ำ	สูง
3. แรงดึงดูดระหว่างโมเลกุล	แรงวนค์เดอร์วัลส์	พันธะเคมี
4. การผันกลับของปฏิกิริยา	ผันกลับได้	ส่วนใหญ่ไม่ผันกลับ
5. รูปแบบชั้นของการดูดซับ	ชั้นเดียวและหลายชั้น	ชั้นเดียว

2.4.2 ไอโซเทิร์มการดูดซับ (Adsorption isotherm)

ไอโซเทิร์มการดูดซับเป็นข้อมูลของความสัมพันธ์ระหว่างความเข้มข้น หรือความหนาแน่นของตัวถูกดูดซับในวัสดุก้าชหรือวัสดุภาชนะเหลวกับปริมาณของตัวถูกดูดซับ และไอโซเทิร์มการดูดซับแบ่งออกเป็น 6 รูปแบบ (Rouquerol et al., 1999) ดังแสดงในรูปที่ 2.7

1) แบบที่ 1 (Type I) เป็นการดูดซับที่พบมากที่สุด ก็อการดูดซับโดยมีชั้นของตัวถูกดูดซับคุณบุนพิวของสารดูดซับเพียงชั้นเดียว พบทั้งในการดูดซับทางกายภาพและทางการดูดซับทางเคมี เป็นลักษณะการดูดซับของวัสดุที่ไม่มีรูพรุน (Non-Porous) หรือพบรูปแบบดูดซับที่มีรูพรุนขนาดเล็ก (น้อยกว่า 2 นาโนเมตร) อยู่เป็นจำนวนมาก เช่น ถ่านกัมมันต์ จากรูปที่ 2.7 จะเห็นว่าการดูดซับเพิ่มขึ้นอย่างรวดเร็วที่ความคันสัมพัทธ์ต่ำๆ และที่ความคันสัมพัทธ์ เข้าใกล้ 1 จะเกิดการดูดซับเพียงเล็กน้อย

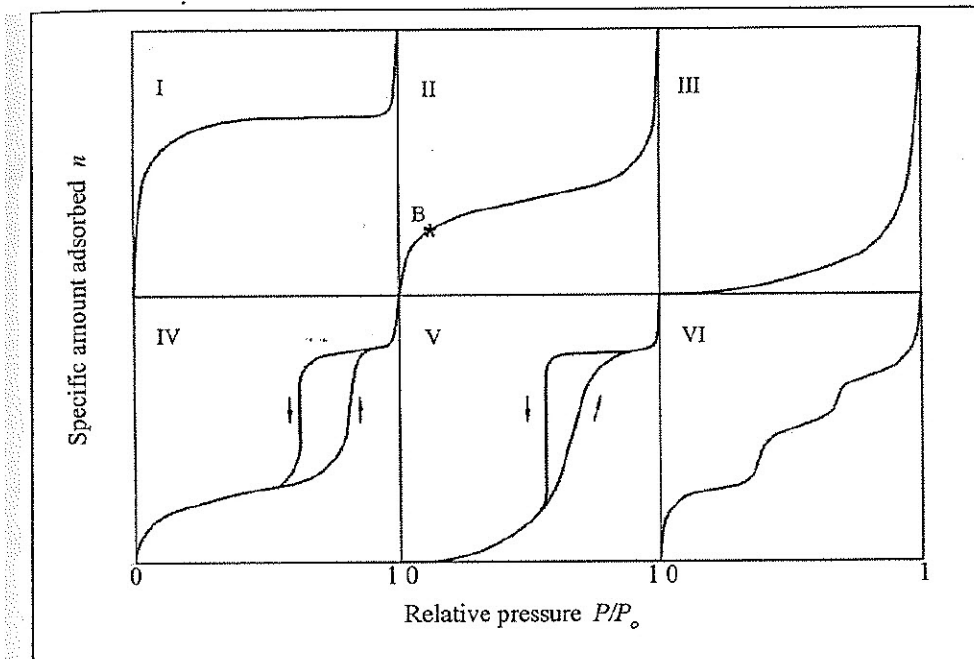
2) แบบที่ 2 (Type II) เป็นการดูดซับของโมเลกุลมากกว่าหนึ่งชั้น โดยชั้นของตัวถูกดูดซับบนพิวของตัวถูกดูดซับหนาขึ้นเรื่อยๆ (ปริมาณที่ถูกดูดซับเข้าสู่ค่าอนันต์) การดูดซับแบบนี้มักพบรูปแบบดูดซับที่ไม่มีรูพรุน หรือรูพรุนส่วนใหญ่มีขนาดกลาง (2-50 นาโนเมตร) และขนาดใหญ่ (มากกว่า 50 นาโนเมตร) ไอโซเทิร์มการดูดซับแบบนี้จะมีจุดเปลี่ยนกราฟ (จุด B) ซึ่งเป็นสภาวะที่พิ华หน้าของตัวถูกดูดซับถูกปกคลุมด้วยโมเลกุลของตัวถูกดูดซับแบบชั้นเดียวอย่างสมบูรณ์ เมื่อเพิ่มความคันสัมพัทธ์ตัวถูกดูดซับจะเกิดการดูดซับเพิ่มขึ้นเป็นชั้นๆ และเมื่อความคันสัมพัทธ์เข้าใกล้ 1 ตัวถูกดูดซับที่เป็นก้าชจะควบแน่นเป็นของเหลว

3) แบบที่ 3 (Type III) เป็นไอโซเทิร์มที่มีลักษณะคล้ายกระเจ้าและไม่มีจุดเปลี่ยนกราฟ เป็นลักษณะการดูดซับที่แรงดึงดูดระหว่างโมเลกุลของตัวถูกดูดซับมีค่ามากกว่าแรงดึงดูดระหว่างโมเลกุล ของตัวถูกดูดซับและพิ华หน้าของตัวถูกดูดซับ ทำให้เกิดการดูดซับได้น้อยที่ความคันสัมพัทธ์ต่ำแต่การดูดซับจะเกิดมากเมื่อความคันสัมพัทธ์สูงขึ้น เมื่อจากเกิดการดูดซับแบบหลายชั้นซึ่งเป็นผลมาจากการดึงดูดระหว่างโมเลกุลของตัวถูกดูดซับด้วยกันเอง

4) แบบที่ 4 (Type IV) ลักษณะของไอโซเทิร์มการคุณชั้บคล้ายกับแบบที่ 2 ในช่วงเพิ่มความดัน (Adsorption Branch) แต่ไอโซเทิร์มในช่วงลดความดัน (Desorption Branch) จำกัดความดันสัมพัทธ์เข้าไกล์ 1 ลงมา จะไม่ข้อนทับกันเส้นไอโซเทิร์มในช่วงขาขึ้น ทำให้เกิดบริเวณที่เรียกว่า Hysteresis Loop ซึ่งจะเกิดปรากฏการณ์ Capillary Condensation โดยเมื่อค่าความดันสัมพัทธ์เข้าไกล์ 1 (ความดันย่ออย่างตัวถูกคุณชั้บมีค่าเข้าไกล์กับค่าความดันไออัมตัว) ตัวถูกคุณชั้บจะอยู่ในสถานะคล้ายของเหลวที่บรรจุอยู่ในหลอดหรือช่องของรูพรุน ซึ่งจะมีผลดึงแรงตึงผิวระหว่างของเหลว กับผนังของรูพรุนที่ของเหลวสัมผัสต้องขึ้นมาเกี่ยวข้อง การจะไล่ตัวถูกคุณชั้บออกจากรูพรุน จึงต้องลดความดันให้มีค่าน้อยกว่าค่าความดันในช่วงเพิ่มความดัน เพื่ออาจน้ำแรงตึงผิวตั้งกล่าว เป็นสาเหตุให้เกิดไอโซเทิร์มการคุณชั้บของช่วงเพิ่มความดันและลดความดันไม่ซ้อนทับกัน ไอโซเทิร์มการคุณชั้บลักษณะนี้มักพบในตัวคุณชั้บที่มีช่วงรูพรุนขนาดกลาง และพื้นที่ของ Hysteresis Loop จะแบ่งผนตามสัดส่วนของปริมาตรรูพรุนขนาดกลางเมื่อเทียบกับปริมาตรรูพรุนทั้งหมดของตัวคุณชั้บ

5) แบบที่ 5 (Type V) ลักษณะของไอโซเทิร์มคล้ายกับแบบที่ 3 แค่จะมีจุดเปลี่ยนกราฟและ Hysteresis Loop เมื่อนับไอโซเทิร์มแบบที่ 4 ไอโซเทิร์มแบบที่ 5 นี้ เกิดกับระบบคุณชั้บที่แรงดึงดูดระหว่างตัวคุณชั้บและตัวถูกคุณชั้บมีค่าน้อย

6) แบบที่ 6 (Type VI) เป็นไอโซเทิร์มแบบขั้นบันได (Stepped Isotherm) เกิดกับตัวคุณชั้บที่ไม่มีรูพรุนและมีลักษณะพื้นที่ผิวสม่ำเสมอ ทำให้เกิดการคุณชั้บเป็นช่วง ๆ ตามความดันที่เพิ่มขึ้น โดยลักษณะรูปร่างของขั้นบันไดจะขึ้นอยู่กับระบบและอุณหภูมิของระบบ



รูปที่ 2.7 รูปแบบไอโซเทิร์มการดูดซึบของระบบดูดซึบก๊าซ (Rouquerol et al., 1999)

2.4.3 สมการไอโซเทิร์มการดูดซึบ (Adsorption isotherm equations)

สมการไอโซเทิร์มการดูดซึบ คือ สมการที่แสดงถึงความสัมพันธ์ระหว่างปริมาณของสารที่ถูกดูดซึบกับความเข้มข้นของสารที่สภาวะสมดุลที่อุณหภูมิใด ๆ สมการไอโซเทิร์มการดูดซึบ มีหลายแบบ เช่น สมการไอโซเทิร์มการดูดซึบแบบแลงมาร์ (Langmuir Isotherm) สมการไอโซเทิร์มการดูดซึบแบบฟรุนเดลิช (Freundlich Isotherm) และสมการไอโซเทิร์มการดูดซึบแบบ BET (Brunauer-Emmett-Teller) แต่สมการที่นิยนใช้โดยทั่วไป ได้แก่ สมการไอโซเทิร์มการดูดซึบแบบ แลงมาร์ และสมการไอโซเทิร์มการดูดซึบแบบฟรุนเดลิช

1) สมการไอโซเทิร์มการดูดซึบแบบแลงมาร์

เป็นสมการไอโซเทิร์มแบบง่ายที่สุดสำหรับการดูดซึบชั้นเดียว ซึ่ง Irving Langmuir เป็นผู้เสนอโดยมีสมมติฐานว่า บนตัวดูดซึบนั้นดำเนินเหตุของการดูดซึบและโมเลกุลที่ถูกดูดซึบมีค่าเท่ากัน โดยในแต่ละตำแหน่งของการดูดซึบจะสามารถบรรจุโมเลกุลที่ถูกดูดซึบได้พึงหนึ่งโมเลกุล เท่านั้น ซึ่งค่าความร้อนของการดูดซึบในแต่ละตำแหน่งมีค่าเท่ากันและคงที่และไม่มีแรงกระทำระหว่างโมเลกุลที่ถูกดูดซึบอยู่ใกล้กัน ความสัมพันธ์ระหว่างปริมาณของสารที่ถูกดูดซึบกับตัวความเข้มข้นของสารที่สภาวะสมดุลตามสมการ ไอโซเทิร์มการดูดซึบแบบแลงมาร์ แสดงดังสมการ (2.1)

$$\frac{q}{q_m} = \frac{bC_e}{1+bC_e} \quad (2.1)$$

เมื่อ	
q	คือ ปริมาณของสารที่ถูกดูดซับต่อบริมาณตัวดูดซับ (กรัมต่อกรัมตัวดูดซับ)
q_m	คือ ปริมาณสูงสุดของสารที่ถูกดูดซับต่อบริมาณตัวดูดซับ (กรัมต่อกรัมตัวดูดซับ)
C_e	คือ ความเข้มข้นของสารที่ถูกดูดซับที่สภาพแวดล้อม (กรัมต่อลิตร)
b	ค่าคงที่การดูดซับ (Adsorption binding constant)

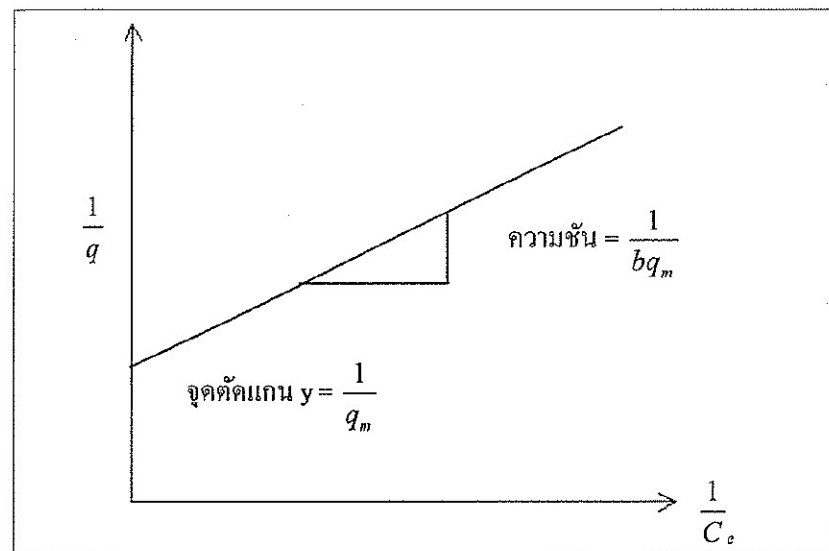
q_m ซึ่งเป็นค่าที่แสดงถึงความสามารถในการดูดซับสารของตัวดูดซับ และค่าคงที่ b ในสมการ (2.1) นี้หาได้จากการสร้างกราฟความสัมพันธ์ระหว่าง $\frac{1}{q}$ กับ $\frac{1}{C_e}$ สมการ (2.2)

$$\frac{1}{q} = \frac{1}{q_m C_e b} + \frac{1}{q_m} \quad (2.2)$$

ซึ่งจะได้กราฟเส้นตรงที่มีค่าความชันกับ $\frac{1}{bq_m}$ และจุดตัดแกน y ที่ $\frac{1}{q_m}$ ดังแสดงในรูปที่ 2.8 จากรูปที่ 2.8 สามารถคำนวณหาค่า q_m ได้จากจุดตัดแกน y และค่า b ได้จากความชันของกราฟเส้นตรง ดังสมการ (2.3) และ (2.4)

$$q_m = 1 / (\text{จุดตัดแกน } y) \quad (2.3)$$

$$b = 1 / (q_m \times \text{ความชันของกราฟเส้นตรง}) \quad (2.4)$$



รูปที่ 2.8 ไอโซเทิร์มการดูดซับแบบแลงมาร์ในรูปแบบของกราฟเส้นตรง

2) สมการไอโซเทิร์มการดูดซับแบบฟรุนเดิช

สมการไอโซเทิร์มการดูดซับแบบฟรุนเดิชเป็นสมการที่พัฒนาจากสมการไอโซเทิร์มการดูดซับแบบแลงมาร์ โดยสมมุติว่าเป็นการดูดซับแบบหลายชั้น เนื่องจากไม่ถูกต้องของตัวถูกดูดซับ มีแรงยึดเหนี่ยวระหว่างกันสูง สมการที่ได้จากการสังเกตและทดลองของการดูดซับตามข้อสมมุตินี้ แสดงได้ดังสมการ (2.5)

$$q = K_f C_e^{1/n} \quad (2.5)$$

เมื่อ K_f คือ แฟกเตอร์ความจุฟรุนเดิช (Freundlich capacity factor)

$\frac{1}{n}$ คือ พารามิเตอร์ความเข้มฟรุนเดิช (Freundlich intensity parameter)

q คือ ปริมาณของสารที่ถูกดูดซับบนผิวของตัวถูกดูดซับต่อปริมาณตัวถูกดูดซับ
(กรัมต่อกิโลกรัมตัวถูกดูดซับ)

C_e คือ ความเข้มข้นของสารที่ถูกดูดซับในสภาพแวดล้อม (กรัมต่อมิลลิลิตร)

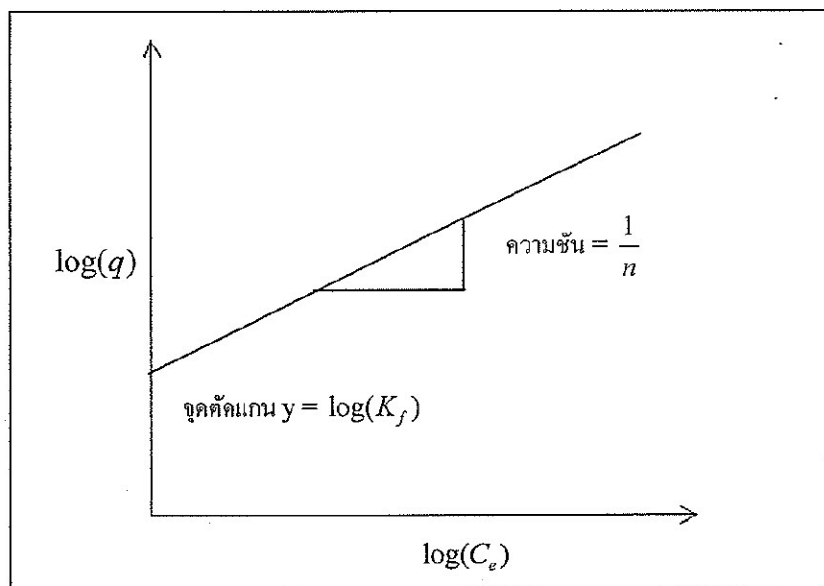
สามารถจัดรูปสมการใหม่ได้ดังนี้

$$\log(q) = \log(K_f) + \frac{1}{n} \log(C_e) \quad (2.6)$$

หากำกั่งที่ในสมการไอโซเทิร์มการดูดซับแบบฟรุนคลิชได้โดยการสร้างกราฟของความสัมพันธ์ระหว่าง $\log(q)$ กับ $\log(C_e)$ ในสมการ (2.6) ให้ค่ามีรูปที่ 2.9 สามารถคำนวณหาค่า K_f ได้จากชุดตัดแกน y และค่า $\frac{1}{n}$ ได้จากความชันของกราฟเส้นตรง ดังสมการ (2.7) และ (2.8)

$$K_f = 10^{(\text{ชุดตัดแกน } y)} \quad (2.7)$$

$$\frac{1}{n} = \text{ความชันของกราฟเส้นตรง} \quad (2.8)$$



รูปที่ 2.9 ไอโซเทิร์มการดูดซับแบบฟรุนคลิชในรูปแบบของกราฟเส้นตรง

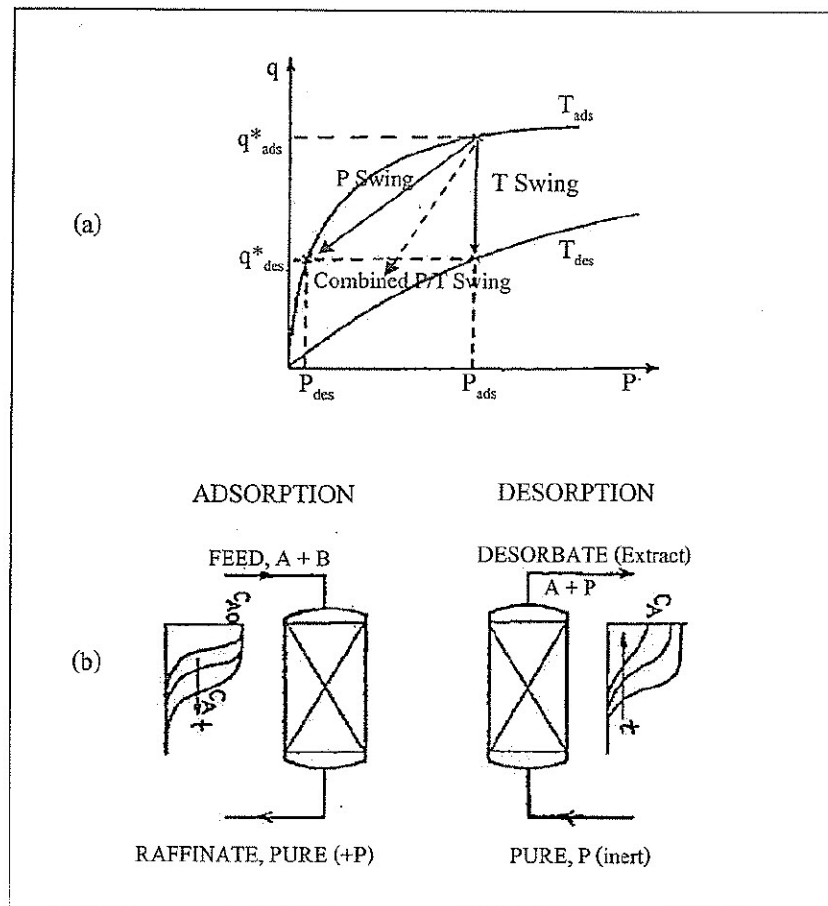
2.5 ระบบดูดซับแบบสลับความดัน (Pressure Swing Adsorption: PSA)

ระบบดูดซับแบบสลับความดันเป็นกระบวนการแยกสารที่มีการนำมาริบในอุตสาหกรรมต่างๆ ที่ให้ความบริสุทธิ์ของผลิตภัณฑ์สูง หลักการทำงานของกระบวนการดูดซับนี้จะประกอบด้วยสองขั้นตอนหลัก คือ ขั้นตอนการดูดซับภายใต้สภาวะความดันสูงและขั้นตอนการถ่ายซับหรือการคืนสภาพของตัวดูดซับ (Regeneration) ภายใต้สภาวะความดันต่ำโดยสารที่ถูกดูดซับจะถูกขับออกจากตัวดูดซับโดยการลดความดัน โดยทั้งสองขั้นตอนนี้จะทำงานสลับกัน ผลิตภัณฑ์ที่ได้จากขั้นตอนการดูดซับจะมีความบริสุทธิ์สูง เรียกว่า ราฟฟิเนต (Raffinate) ส่วนสารที่ถูกขับออกจากตัวดูดซับเรียกว่า เอกซ์แทรค (Extract) ซึ่งตามปกติกระบวนการดูดซับแบบสลับความดันจะประกอบด้วย กอเลมน์ดูดซับอย่างน้อยสองกอเลมน์ (รูปที่ 2.10) ซึ่งควบคุมให้มีสภาวะที่เหมาะสมต่อการดูดซับและการถ่ายซับ ระบบดูดซับแบบสลับความดันจะเหมาะสมกับการดูดซับในสถานะแก๊ส เนื่องจากความดันมีผลต่อสภาวะสมดุลในการดูดซับสารที่เป็นของเหลวมาก ตารางที่ 2.7 แสดงตัวอย่างการนำกระบวนการดูดซับแบบสลับความดันไปใช้ในอุตสาหกรรมต่างๆ สำหรับข้อได้เปรียบของการดูดซับด้วยระบบนี้ คือใช้กับสารป้อนที่มีความเข้มข้นของสารที่ต้องการดูดซับสูง

ตารางที่ 2.7 ตัวอย่างการใช้งานของระบบดูดซับแบบสลับความดันในอุตสาหกรรมต่างๆ

(Douglas et al., 1994)

การใช้งาน	ผลิตภัณฑ์	ตัวดูดซับ	ชนิดของการดูดซับ
การแยกไฮโดรเจน ออกจากก๊าซเชื้อเพลิง	ไฮโดรเจนที่มี ความบริสุทธิ์สูง	ถ่านกัมมันต์ หรือ เซโอไลต์ (Zeolite)	กระบวนการดูดซับแบบ หลาຍຄอลัมน์
การอบแห้งแบบไม่ใช้ ความร้อน (Heatless drier)	อากาศแห้งสำหรับ อุปกรณ์ควบคุม	Activated Al_2O_3	ระบบดูดซับแบบสาร์สตรอน แบบสองกอเลมน์หรือระบบ ดูดซับแบบสลับสูญญากาศ
การแยกอากาศ	ออกซิเจน (O_2) และ Ar	เซโอไลต์ 5 เอ	ระบบดูดซับแบบสาร์สตรอน แบบสองกอเลมน์
การแยกอากาศ	ไนโตรเจน (N_2) และ Ar	กรีนบอนนิเมกตาซีฟ (CMS)	ระบบดูดซับแบบสองกอเลมน์
การแยกอากาศ	ไนโตรเจน และ O_2	เซโอไลต์ 5 เอ หรือ CaX	ระบบดูดซับแบบสลับสูญญากาศ
ไฮโซเซฟ	ไฮโดรคาร์บอน แบบเด็นหรือก๊าซ	เซโอไลต์ 5 เอ	ระบบดูดซับแบบสลับสูญญากาศ
การแยกก๊าซเชื้อเพลิง	คาร์บอนไฮดรอเจ็ต และนีทิน	กรีนบอนนิเมกตาซีฟ (CMS)	ระบบดูดซับแบบสลับสูญญากาศ



2.10 หลักการทำงานเบื้องต้นของระบบคุณภาพแบบสับเปลี่ยนความดัน (a) การเปลี่ยนแปลงความสามารถในการคุณภาพที่ความดันต่าง ๆ (b) ลักษณะการกระจายความเข้มข้นของสารที่ถูกคุณภาพในคอลัมน์ (Douglas et al., 1994)

สารบัญ

หน้า

กิตติกรรมประกาศ.....	๗
บพคดย่อ (ภาษาไทย).....	๙
บพคดย่อ (ภาษาอังกฤษ).....	๑๒
สารบัญ.....	๑๓
สารบัญตาราง.....	๑๔
สารบัญรูป.....	๑๘
คำอธิบายสัญลักษณ์และคำย่อ.....	๑๙
บทที่	
๑ บทนำ.....	๑
๑.๑ ความสำคัญและที่มาของปัญหา.....	๑
๑.๒ วัตถุประสงค์การวิจัย.....	๓
๑.๓ ขอบเขตของงานวิจัย.....	๓
๑.๔ ประโยชน์ที่คาดว่าจะได้รับ.....	๔
๒ ปรัชญาวรรณกรรมและงานวิจัยที่เกี่ยวข้อง.....	๕
๒.๑ แบบ.....	๕
๒.๑.๑ อะไรมีโถส.....	๕
๒.๑.๒ อะไม่โถเพคดิน.....	๕
๒.๒ มันสำปะหลัง.....	๘
๒.๓ เอกหานอต.....	๑๔
๒.๓.๑ การใช้ประโยชน์จากเอกสารอตในกลุ่มเชื้อเพลิง.....	๑๔
๒.๓.๒ กระบวนการผลิตเอกสารอตบริสุทธิ์.....	๑๔
๒.๔ การคุดซับ.....	๑๗
๒.๔.๑ สัญลักษณ์ในการคุดซับ.....	๑๗
๒.๔.๒ ไอโซเกิร์นการคุดซับ.....	๑๘

สารบัญ (ต่อ)

	หน้า
2.4.3 สมการไอโซเทิร์มการคุณชั้บ.....	20
2.5 ระบบคุณชั้บแบบสลับความดัน.....	24
2.5.1 ลักษณะทั่วไปของระบบคุณชั้บแบบสลับความดัน.....	26
2.5.2 หลักการทำงานพื้นฐานของระบบคุณชั้บแบบสลับความดัน.....	28
2.5.3 วัสดุกาวและการสตอร์ม.....	28
2.6 ภารศึกษาน้ำมันสำลุญของตัวเปลี่ยนจากการจ่อและการทดสอบ เชิงไฟฟ้าอย่างเรียบ.....	31
2.6.1 แบบจำลองทางสถิติและองค์กรของการออกแบบการทดสอบ เชิงไฟฟ้าอย่างเรียบ.....	32
2.6.2 สมมุติฐานทางสถิติ.....	33
2.6.3 การคำนวณค่าทางสถิติ.....	33
3. วิธีดำเนินงานวิจัย.....	36
3.1 รูปแบบการวิจัยและสถานที่ที่ทำวิจัย.....	36
3.2 ประชากรศึกษาและขนาดตัวอย่าง.....	36
3.3 ตัวแปรที่ใช้ในการทดสอบ.....	36
3.3.1 ตัวแปรสำหรับระบบคุณชั้บแบบเบดนิ่ง.....	36
3.3.2 ตัวแปรสำหรับระบบคุณชั้บแบบสลับความดัน.....	37
3.4 เครื่องมือและสารเคมีที่ใช้ในการทดสอบ.....	37
3.4.1 เครื่องมือสำหรับระบบคุณชั้บแบบเบดนิ่ง.....	37
3.4.2 เครื่องมือสำหรับระบบคุณชั้บแบบสลับความดัน.....	38
3.4.3 วัสดุและสารเคมี.....	38
3.5 วิธีการทดสอบ.....	41
3.5.1 การเตรียมตัวคุณชั้บจากน้ำสำปุทธสี.....	41
3.5.2 การศึกษาความสามารถในการแยกน้ำออกจากไอลิเมเนเตอร์ สำหรับระบบคุณชั้บแบบเบดนิ่ง.....	42
3.5.3 การทดสอบการนำกลับมาใช้ใหม่ของตัวคุณชั้บจากน้ำสำปุทธสี.....	43

สารบัญ (ต่อ)

หน้า	
43	3.5.4 การศึกษาการคายซับของตัวคุณซับจากมันสำปะหลังด้วยสูญญากาศ.....
43	3.5.5 การศึกษาการแยกน้ำออกจากไอกลมเมทานอลของ ระบบคุณซับแบบสลับความดันโดยใช้ชีโซ่ไอต์ 3 เอ.....
44	3.5.6 การศึกษานัยสำคัญของตัวแปรที่วิเคราะห์การออกแบบการทดลอง เชิงเท่ากันเรียบแบบ 2^3
45	3.5.7 การศึกษาการแยกน้ำออกจากไอกลมเมทานอลของ ระบบคุณซับแบบสลับความดันโดยใช้ตัวคุณซับจากมันสำปะหลัง.....
46	4. ผลกระทบต่อและอภิปรายผล
46	4.1 ความเป็นไปได้ในการคุณซับน้ำของตัวคุณซับจากมันสำปะหลัง.....
47	4.2 การคุณซับน้ำของตัวคุณซับจากมันสำปะหลังในระบบคุณซับแบบแยกผิว.....
47	4.2.1 ผลของความเข้มข้นของสารปื้นค่าประสิทธิภาพการคุณซับน้ำ.....
50	4.2.2 ผลของปริมาณตัวคุณซับค่าประสิทธิภาพการคุณซับน้ำใน ระบบคุณซับแบบแบ่งผิว.....
52	4.3 ไอโซเกิร์มที่สภาวะสมดุลของตัวคุณซับจากมันสำปะหลัง.....
54	4.4 ผลการทดสอบประสิทธิภาพการนำกลับมาใช้ใหม่ของ ตัวคุณซับจากมันสำปะหลัง.....
55	4.5 ผลการคายซับของตัวคุณซับจากมันสำปะหลังด้วยระบบสูญญากาศ.....
56	4.6 ความสามารถในการแยกน้ำจากไอกลมเมทานอลของระบบคุณซับ แบบสลับความดันโดยใช้ชีโซ่ไอต์ 3 เอ.....
56	4.6.1 ผลของระยะเวลาของครึ่งวัยของการคุณซับต่อความสามารถ ในการแยกน้ำออกจากไอกลมเมทานอลด้วยชีโซ่ไอต์ 3 เอ.....
57	4.6.2 ผลของอุณหภูมิของคอลัมน์คุณซับต่อความสามารถในการแยกน้ำ ออกจากไอกลมเมทานอลด้วยชีโซ่ไอต์ 3 เอ.....
59	4.6.3 ผลของความดันของคอลัมน์คุณซับต่อความสามารถในการแยกน้ำ ออกจากไอกลมเมทานอลด้วยชีโซ่ไอต์ 3 เอ.....

สารบัญ (ต่อ)

หน้า

4.7 ความสามารถในการแยกน้ำจากไ/opสมอทานอตถ่องระบบคุณชั้บ	
แบบสัมบความดันที่ใช้ตัวคุณชั้บจากมันสำปะหลัง.....	61
4.7.1 ผลของความดันของกอลัมน์คุณชั้บต่อความสามารถใน การแยกน้ำออกจากไ/opสมอทานอตถ่องด้วยตัวคุณชั้บจากมันสำปะหลัง.....	62
4.7.2 ผลของอุณหภูมิของกอลัมน์คุณชั้บต่อความสามารถใน การแยกน้ำออกจากไ/opสมอทานอตถ่องด้วยตัวคุณชั้บจากมันสำปะหลัง.....	67
4.7.3 ผลของอัตราการไหลของสารป้อนต่อความสามารถใน การแยกน้ำขากจากไ/opสมอทานอตถ่องด้วยตัวคุณชั้บจากมันสำปะหลัง.....	70
4.7.4 ผลของระยะเวลาของครึ่งวัยจากการคุณชั้บต่อความสามารถใน การแยกน้ำออกจากไ/opสมอทานอตถ่องด้วยตัวคุณชั้บจากมันสำปะหลัง.....	73
4.8 การศึกษาอิทธิผลของตัวแปรจากการออกแบบการทดลอง เชิงแฟกทอรีเรียดแนว 2 ³	75
5 สรุปผลการวิจัยและข้อเสนอแนะ	77
5.1 สรุปผลการวิจัย.....	77
5.1.1 ความสามารถในการคุณชั้บน้ำของตัวคุณชั้บจากมันสำปะหลัง และอิทธิพลของปัจจัยในระบบการคุณชั้บแบบคน.....	77
5.1.2 สมการไ/oใช้ที่ร่วมที่สภาวะสมดุลของตัวคุณชั้บจากมันสำปะหลัง.....	77
5.1.3 ผลของตัวแปรต่อความสามารถในการแยกน้ำออกจาก ไ/opสมอทานอตโดยใช้ตัวคุณชั้บจากมันสำปะหลัง ของระบบคุณชั้บแบบสัมบความดัน.....	78
5.2 ข้อเสนอแนะ.....	79
บรรณานุกรม	80
ภาคผนวก	
ภาคผนวก ก. วัสดุและอุปกรณ์ที่ใช้ในการทดลอง.....	84
ภาคผนวก ข. ผลงานวิจัยที่ได้รับการตีพิมพ์เผยแพร่.....	90

สารบัญตาราง

ตารางที่

หน้า

2.1	คุณสมบัติขององค์ไมโลสและองค์ไมโลเกกติน	6
2.2	องค์ประกอบทางเคมีของมันสำปะหลังเห็ด (มูลนิธิสถาบันพัฒนามันสำปะหลังแห่งประเทศไทย).....	9
2.3	องค์ประกอบทางเคมีของเมืองมันสำปะหลัง (Kiatponglaop, 2007).....	9
2.4	องค์ประกอบทางเคมีขององคากมันสำปะหลัง ถุงนีร์ (ไขดินีนาท), 2539).....	10
2.5	องค์ประกอบทางเคมีของข้าวโพด (Anderson et al., 1996).....	10
2.6	ความแตกต่างระหว่างการคุณชั้นทางกายภาพและการคุณชั้นทางเคมี.....	18
2.7	ตัวอย่างการใช้งานของระบบคุณชั้นแบบสลับความดันในอุตสาหกรรมต่าง ๆ (Douglas et al., 1994).....	24
2.8	สภาวะการทดลองที่ได้จากการออกแบบการทดลองเชิงแฟกторเรียงแบบ 2^3	32
2.9	วิเคราะห์ความแปรปรวนสำหรับการออกแบบการทดลองเชิงแฟกטורเรียงแบบ 2^3	35
3.1	สภาวะการทดลองที่ได้จากการออกแบบการทดลองเชิงแฟกטורเรียงแบบ 2^3	44
3.2	อัตราการไหลของสารป้อนเทียบกับร้อยละการเปิดวาล์วเมื่อตั้มระเหย.....	45
4.1	ปริมาณน้ำที่ถูกคุณชั้นเมื่อใช้ตัวคุณชั้นทางมันสำปะหลัง 10 กรัม ในระบบคุณชั้นแบบเบนจิ่งที่ความเข้มข้นของอาหารอ่อนสารป้อนต่างๆ.....	49
4.2	ปริมาณของตัวคุณชั้นและระยะเวลาเบรคทูในระบบคุณชั้นแบบเบนจิ่งที่ใช้ น้ำสารป้อนร้อยละความเข้มข้นของอาหารอ่อนให้ 10 ໂດຍน้ำหนัก.....	51
4.3	ภาระที่และความสามารถในการคุณชั้นน้ำของตัวคุณชั้นจากมันสำปะหลังจาก สมการ ໄອ โซเทิร์นของແລງມັງກອບແລ້ວດຸນດຕືບ.....	52
4.4	อัตราการผลิตอาหารอุดที่มีความเข้มข้นสูงกว่าร้อยละ 99.5 ໂດຍໃຊ້ໂອໄລຕ์ 3 ເອ ของระบบคุณชั้นแบบสลับความดัน โดยໃຊ້ໂອໄລຕ์ 3 ເອ ที่อุณหภูมิของกลัมเน็คคุณชั้นต่าง ๆ.....	58

2.5.1 ลักษณะทั่วไปของระบบคุณภาพแบบสลับความดัน

1) ความบริสุทธิ์ของผลิตภัณฑ์

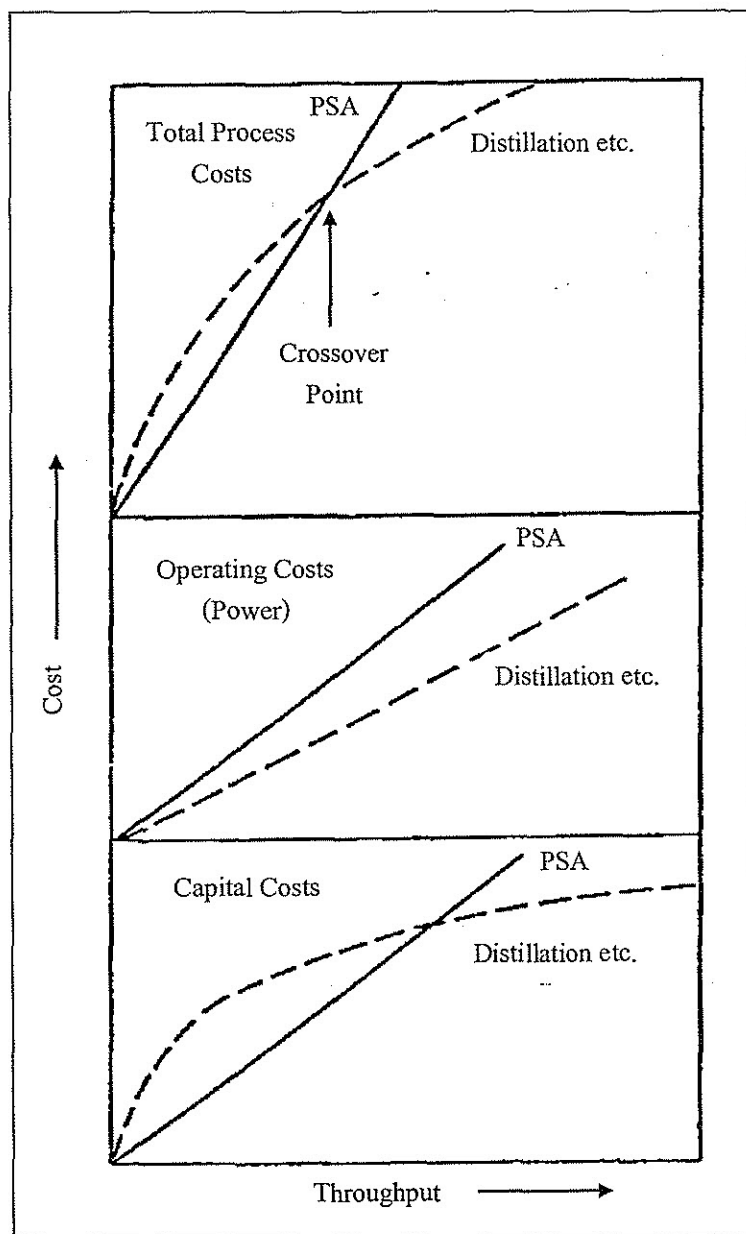
ผลิตภัณฑ์ในราฟฟีเนต ได้จากการคุณภาพมีความบริสุทธิ์สูง แต่จะไม่สามารถทำให้ผลิตภัณฑ์ออกซ์ไฮดรอกจากกระบวนการคายชันให้มีความบริสุทธิ์สูงได้ ต้องมีการปรับปรุงวิธีการซึ่งส่งผลให้กระบวนการมีความซับซ้อนมากขึ้น ทำให้วิธีการคุณภาพเหมาะสมสำหรับการผลิตราฟฟีเนตมากกว่า

2) ผลได้ (Yield)

การคุณภาพแบบสลับความดัน โดยทั่วไปจะให้ผลได้มีค่ากว่าการแยกการแบบอื่น เช่น การกลั่น การคุณชีนหรือการสกัด จะเพิ่มผลได้โดยเพิ่มคอลัมน์คุณภาพเข้าไปในวัสดุการดำเนินการ และเพิ่มปริมาณของวัสดุคุณภาพ แต่ทั้งสองอย่างนี้จะทำให้ต้องเพิ่มต้นทุน ดังนั้นระบบคุณภาพแบบสลับความดันจึงเหมาะสมสำหรับกระบวนการที่สารป้อนมีราคาถูก

3) ต้นทุนการติดตั้งและต้นทุนการดำเนินงาน

ส่วนใหญ่แล้วต้นทุนการติดตั้งและต้นทุนการดำเนินงานแปรผันตรงกับกำลังการผลิตของกระบวนการ (รูปที่ 2.11) เมื่อพิจารณาต้นทุนการดำเนินงานของระบบคุณภาพแบบสลับความดันจะพบว่ามีราคาสูงกว่าการกลั่น เนื่องจากการคุณภาพแบบสลับความดันนี้ใช้พลังงานก่อตั้งมีราคาสูงกว่าพลังงานความร้อน และเมื่อพิจารณาในส่วนของต้นทุนการติดตั้งการกลั่นจะมีราคาสูงกว่าระบบคุณภาพแบบสลับความดันในช่วงกำลังการผลิตต่ำ และเริ่มคงที่เมื่อกำลังการผลิตเพิ่มขึ้น ดังนั้น เมื่อพิจารณาในเชิงเศรษฐศาสตร์ระบบคุณภาพแบบสลับความดันเหมาะสมสำหรับกระบวนการที่มีกำลังการผลิตไม่สูงมากนัก



รูปที่ 2.11 ความสัมพันธ์ระหว่างต้นทุนการติดตั้งและการผลิตของระบบคุณภาพแบบ
สลับความดันและการกั้น (Douglas et al., 1994)

2.5.2 หลักการทำงานพื้นฐานของระบบดูดซับแบบสลับความดัน

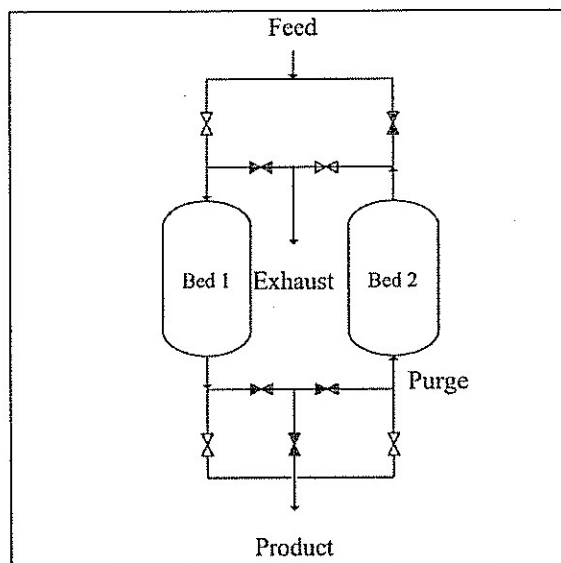
ขั้นตอนการทำงานของการดูดซับแบบสลับความดันเป็นดังนี้

- 1) การเพิ่มความดันด้วยสารป้อน (Feed pressurization) คือการเพิ่มความดันในคอลัมน์ดูดซับด้วยไอของสารป้อนหรือผลิตภัณฑ์ร้าฟฟิเนตเพื่อปรับสภาวะของระบบ
- 2) การดูดซับที่ความดันสูง (High pressure adsorption) เป็นขั้นตอนที่ความดันในคอลัมน์ดูดซับมีค่าสูงและตัวดูดซับสามารถดูดซับสารได้มากที่สุด
- 3) การลดความดันเป่าໄล์ (Low pressure purge) คือ การไถสารออกจากคอลัมน์โดยเป่าแบบไหลดทิศทางเดียวหรือสวนทางกับสารป้อน
- 4) การขายซับที่ความดันต่ำกว่าความดันดำเนินการ ซึ่งสามารถทำได้โดยการลดความดันให้เป็นสุญญาภัย
- 5) การปรับความดันโดยการปล่อยความดันจากคอลัมน์ที่มีความดันสูงไปยังคอลัมน์ที่มีความดันต่ำกว่า
- 6) การเพิ่มความดันด้วยก๊าซผลิตภัณฑ์เพื่อปรับสภาวะความดันของระบบ

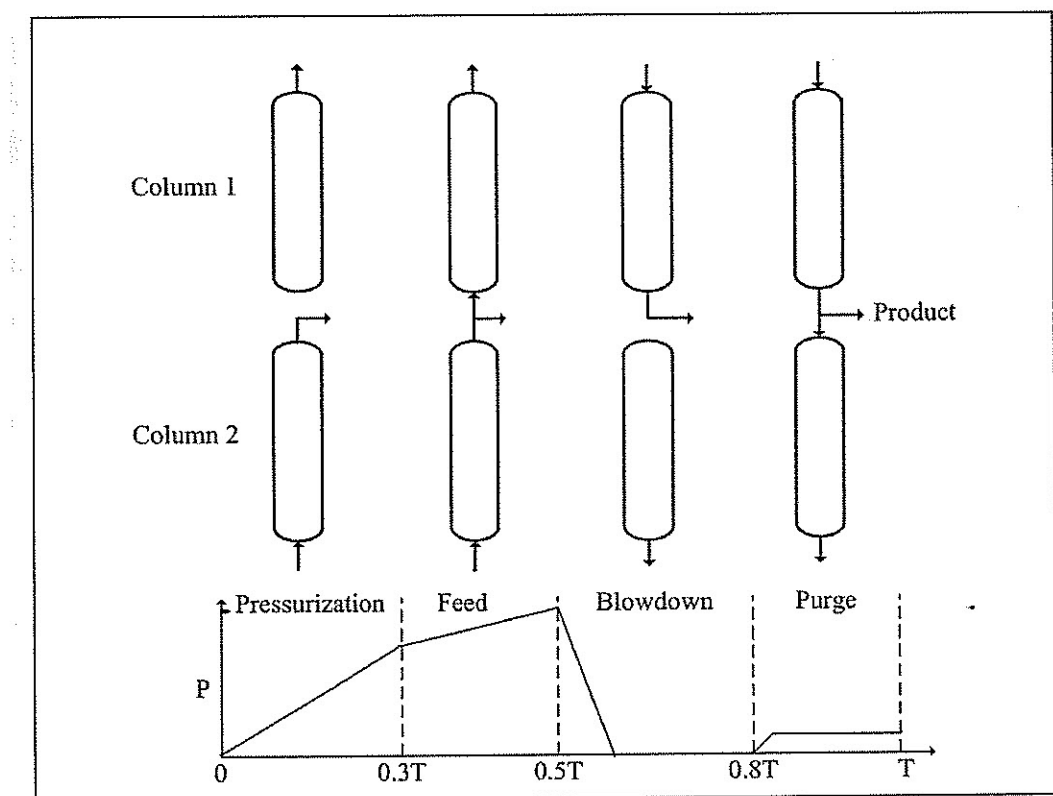
2.5.3 วัฏจักรสาร์สตรอม (Skarstrom Cycle)

วัฏจักรสาร์สตรอม เป็นหลักการเบื้องต้นสำหรับกระบวนการดูดซับแบบสลับความดันชนิด 2 คอลัมน์ (รูปที่ 2.12) มีการทำงาน 4 ขั้นตอน คือ การเพิ่มความดันการ (Pressurization) การป้อนสาร (Feed) การเป่าสวนทาง (Blowdown) และการเป่าໄล์ (Purge) แสดงคังรูปที่ 2.13 ในขั้นตอนการเพิ่มความดัน คอลัมน์ 2 จะถูกเพิ่มความดันด้วยสารป้อนไปที่ความดันดูดซับ ในขณะที่คอลัมน์ 1 จะปล่อยทิ้งในทิศทางสวนทางกับการป้อนสารเพื่อลดความดัน ในขั้นตอนการป้อนสาร ใช้สารป้อนที่มีความดันสูงให้ไหลผ่านคอลัมน์ 2 โดยสารที่ถูกดูดซับจะอยู่ในคอลัมน์ ต่อผลิตภัณฑ์จะออกที่ปลายคอลัมน์ และผลิตภัณฑ์บางส่วนจะใช้เป็นตัวเป่าໄล์ในคอลัมน์ 1 โดยมีทิศสวนทางกับการป้อนสาร และในขั้นตอนการเป่าสวนทางและการเป่าໄล์มีลักษณะการทำงานเหมือนเดียวกับการเพิ่มความดันและการป้อนสารเพียงแต่สลับคอลัมน์กัน

วัฏจักรสาร์สตรอร์มเดิมใช้ในกระบวนการการทำอากาศแห้งโดยใช้ชีลิกาเจล ซึ่งสามารถแยกน้ำจาก 3800 ppm ให้เหลือเพียง 1 ppm และมีสัดส่วนกู้คืนร้อยละ 73 วัฏจักรสาร์สตรอร์มนักใช้ในการแยกสารที่มีความเข้มข้นเริ่มต้นต่ำและมีค่าการเลือก (Selectivity) ของตัวดูดซับสูง



รูปที่ 2.12 วัสดุจัดของระบบดูดซับแบบสลับความดัน (Seader, 2006)



รูปที่ 2.13 วัสดุจัดสภาวะสตรอม Skarstrom Cycle (Seader, 2006)

Cruz et al. (2003) ศึกษาแบบจำลองกระบวนการการคุณชั้บแบบสลับความดันด้วยวิธีจัดการสาร์สตรอม สำหรับการผลิตออกซิเจนบริสุทธิ์จากอากาศ เพื่อหาความเสถียรของระบบและสภาพที่เหมาะสม โดยใช้แบบจำลองในรูปเทอมไร์หน่วยและแก้สมการตัวขึ้นๆ Adaptive Multiresolution Approach ผลการศึกษาพบว่าในกรณีที่สมการ ไอยโซเทอร์มการคุณชั้บเป็นแบบแลงเมียร์ เมื่อเพิ่มกระแสเป้าໄล์ จะทำให้ความบริสุทธิ์ของออกซิเจนเพิ่มขึ้นแต่สัดส่วนกําลังจะลดลง และเมื่อเพิ่มความดันคุณชั้บจะทำให้ผลิตภัณฑ์ออกซิเจนที่ได้มีความบริสุทธิ์สูงขึ้น ขณะที่สัดส่วนกําลังมีค่าเท่าเดิม แต่ค่าการเลือกของตัวคุณชั้บมีค่าลดลง

Guan and Hu (2003) ศึกษาแบบจำลองและวิเคราะห์ผลการแยกน้ำออกจากการเอทานอลด้วยการคุณชั้บแบบสลับความดันแบบคงคล้มน์เติบโตโดยใช้ชีโวไอลิต์ 3 เอ คงคล้มน์คุณชั้บมีเส้นผ่านศูนย์กลาง 16 มิลลิเมตร สูง 1.21 เมตร ใช้สารป้อนที่มีความเข้มข้นของเอทานอลร้อยละ 93.54 โดยน้ำหนักอุณหภูมิของคงคล้มน์คุณชั้บ 120-150 องศาเซลเซียส และความดันของคงคล้มน์คุณชั้บ 2-5 บาร์ ผลการศึกษา พบว่าการเพิ่มความดันอาจทำให้สัดส่วนกําลังและความบริสุทธิ์ของผลิตภัณฑ์เพิ่มขึ้น แต่การเพิ่มอุณหภูมิของคงคล้มน์คุณชั้บในช่วงอุณหภูมิที่ทำการศึกษา มีผลต่ออัตราการแยกกลับและความบริสุทธิ์ของผลิตภัณฑ์น้อยมาก

Pruksathorn and Vittidsant (2009) ศึกษาการผลิตเอทานอลบริสุทธิ์จากสารละลายเอทานอลที่ความเข้มข้นใกล้เคียงกับจุดละซีโวไอลิต์ สำหรับระบบการคุณชั้บแบบสลับความดันแบบ 2 คงคล้มน์ ที่ใช้ตัวคุณชั้บเป็นชีโวไอลิต์ 3 เอ บรรจุคงคล้มน์ละ 15 กิโลกรัม ทำการทดลองที่อัตราการไหลดของสารป้อน 50-100 มิลลิลิตรต่อน้ำที่ อุณหภูมิของคงคล้มน์คุณชั้บ 120 องศาเซลเซียส ความเข้มข้นของเอทานอลเริ่มต้นร้อยละ 92 และ 95 โดยปริมาตร ความดันของคงคล้มน์คุณชั้บ 2-2.4 บาร์ และเวลาของวัฏจักร 10 และ 15 นาที วิเคราะห์ผลการทดลองด้วยวิธีทางสถิติ ANOVA ได้สมการแสดงความสัมพันธ์ของตัวแปรต่าง ๆ ต่อสัดส่วนกําลัง (ร้อยละ) และความเข้มข้นของเอทานอลในผลิตภัณฑ์ (ร้อยละโดยปริมาตร) ตามลำดับดังนี้

$$\text{สัดส่วนกําลัง} (\text{Recovery}) = 226.46 + 0.23(\text{FR}) - 1.89(\text{FC}) + 0.74(\text{CT}) \quad (2.9)$$

$$\text{ความเข้มข้นของเอทานอลในผลิตภัณฑ์} = 101.38 - 0.019(\text{FC}) \quad (2.10)$$

เมื่อ FR คือ อัตราการไหลดของสารป้อน (มิลลิลิตรต่อน้ำที่)

FC คือ ความเข้มข้นของสารป้อน (ร้อยละโดยปริมาตร)

CT คือ เวลาในการคำนวณวัฏจักร (นาที)

สมการ (2.9) และ (2.10) แสดงให้เห็นว่าเมื่อเพิ่มอัตราการไอลของสารปีโอนและเวลาของวัฏจักรจะทำให้สัดส่วนกูร์คินมีค่าสูงขึ้น แต่ตัวแปรทั้งสองไม่มีนัยสำคัญต่อความเข้มข้นของผลิตภัณฑ์อุตสาหกรรมที่ได้จากกระบวนการ และที่ความคันของกอลัมน์ดูดซับ 2.4 บาร์ อัตราการไอลของสารปีโอน 100 มิลลิลิตร ต่อนาที ความเข้มข้นของสารละลายอุตสาหกรรมเริ่มต้นร้อยละ 92 โดยปริมาตร เวลาของวัฏจักร 15 นาที และอุณหภูมิของกอลัมน์ดูดซับ 120 องศาเซลเซียส จะได้ความเข้มข้นของผลิตภัณฑ์อุตสาหกรรมสูงสุด ร้อยละ 99.66 โดยปริมาตร

2.6 การศึกษานัยสำคัญของตัวแปรด้วยการออกแบบการทดลองเชิงแฟกторเรียล (Factorial experimental designs)

การออกแบบเชิงแฟกторเรียล (Factorial design) เป็นวิธีการออกแบบการทดลองที่มีประสิทธิภาพโดยเฉพาะในการทดลองเพื่อศึกษาอิทธิพลของปัจจัยทั้ง 2 ปัจจัยขึ้นไป การออกแบบการทดลองเชิงแฟกторเรียล คือการออกแบบการทดลองที่พิจารณาถึงอิทธิพลที่เกิดจากผลร่วมของระดับ (Level) ของตัวแปรหรือปัจจัยทั้งหมดที่เป็นไปได้ในการทดลองนั้น ตัวอย่างเช่น เมื่อทำการศึกษาอิทธิพลของปัจจัย 3 ปัจจัย คือ A, B และ C โดยปัจจัย A มี a ระดับ ปัจจัย B มี b ระดับ และปัจจัย C มี c ระดับ จำนวนการทดลองที่ต้องทำทั้งหมดจะเป็น $a \times b \times c$ การทดลอง เมื่อจัดปัจจัยที่มีผลต่อการทดลองทั้งหมดตามวิธีนี้จะทำให้เกิดการไขว้ของปัจจัย (Cross) ซึ่งผลการทดลองที่ได้จะแสดงทั้งอิทธิพลของปัจจัยที่ทำการศึกษาและผลร่วมของปัจจัยเหล่านั้น

การออกแบบการทดลองเชิงแฟกטורเรียลที่มีความสำคัญอีกแบบคือ กรณีที่มีปัจจัย k ปัจจัย แต่ละปัจจัยประกอบด้วย 2 ระดับ ข้อมูลของระดับเหล่านี้อาจเกิดจากข้อมูลเชิงปริมาณ เช่น อุณหภูมิ ความดัน หรือเวลา เป็นต้น หรืออาจเกิดจากข้อมูลเชิงคุณภาพก็ได้ เช่น เครื่องจักร หรือ คุณงาน ซึ่งในระดับ 2 ระดับคั่งกันจะแทนด้วย บวก (+) และ ลบ (-) สามารถหาจำนวนข้อมูลการทดลองทั้งหมด 2^k ข้อมูล สมมติว่ามีปัจจัยทั้งหมด 3 ปัจจัย แต่ละปัจจัยประกอบด้วย 2 ระดับ การทดลองนี้จะต้องมีจำนวนของการทดลองเท่ากับ $2^3 = 8$ การทดลอง (ตารางที่ 2.8)

ตารางที่ 2.8 สภาวะการทดลองที่ได้จากการออกแบบการทดลองเชิงแฟกทอเรียลแบบ 2³

การทดลอง	A	B	C
1	-	-	+
2	-	-	+
3	-	+	-
4	-	+	-
5	+	-	+
6	+	-	+
7	+	+	-
8	+	+	-

2.6.1 แบบจำลองทางสถิติแสดงการออกแบบการทดลองเชิงแฟกทอเรียล

แบบจำลองทางสถิติสำหรับการออกแบบการทดลองเชิงแฟกทอเรียล 3 ปัจจัย เป็นสัญลักษณ์ได้ดังนี้

$$y_{ijk} = \mu + \alpha_i + \beta_j + \gamma_k + (\alpha\beta)_{ij} + (\alpha\gamma)_{ik} + (\beta\gamma)_{jk} + (\alpha\beta\gamma)_{ijk} + \varepsilon_{ijkl} \quad (2.11)$$

เมื่อ	i	คือ $1, 2, \dots, a ; j = 1, 2, \dots, b ; k = 1, 2, \dots, c ; l = 1, 2, \dots, n$
	y_{ijk}	คือ ค่าที่สังเกตได้
	μ	ค่าเฉลี่ยทั้งหมด
	α_i	คือ อิทธิพลของปัจจัย A
	β_j	คือ อิทธิพลของปัจจัย B
	γ_k	คือ อิทธิพลของปัจจัย C
	$(\alpha\beta)_{ij}$	คือ ผลร่วมของปัจจัย A และปัจจัย B
	$(\alpha\gamma)_{ik}$	คือ ผลร่วมของปัจจัย A และปัจจัย C
	$(\beta\gamma)_{jk}$	คือ ผลร่วมของปัจจัย B และปัจจัย C
	$(\alpha\beta\gamma)_{ijk}$	คือ ผลร่วมของปัจจัย A, B และปัจจัย C
	ε_{ijkl}	ค่าความคลาดเคลื่อนของการทดลอง

2.6.2 สมมติฐานทางสถิติ

สมมติฐานทางสถิติที่ต้องการทดสอบ คือ

1) การทดสอบอิทธิพลของปัจจัยหลัก

$$H_0: \alpha_i = 0 \quad \text{และ} \quad H_1: \alpha_i \neq 0 \quad \text{อย่างน้อย 1 ค่า}$$

$$H_0: \beta_j = 0 \quad \text{และ} \quad H_1: \beta_j \neq 0 \quad \text{อย่างน้อย 1 ค่า}$$

$$H_0: \gamma_k = 0 \quad \text{และ} \quad H_1: \gamma_k \neq 0 \quad \text{อย่างน้อย 1 ค่า}$$

2) การทดสอบผลร่วมของปัจจัยหลัก

$$H_0: (\alpha\beta)_{ij} = 0 \quad \text{และ} \quad H_1: (\alpha\beta)_{ij} \neq 0 \quad \text{อย่างน้อย 1 ค่า}$$

$$H_0: (\alpha\gamma)_{ik} = 0 \quad \text{และ} \quad H_1: (\alpha\gamma)_{ik} \neq 0 \quad \text{อย่างน้อย 1 ค่า}$$

$$H_0: (\beta\gamma)_{jk} = 0 \quad \text{และ} \quad H_1: (\beta\gamma)_{jk} \neq 0 \quad \text{อย่างน้อย 1 ค่า}$$

$$H_0: (\alpha\beta\gamma)_{ijk} = 0 \quad \text{และ} \quad H_1: (\alpha\beta\gamma)_{ijk} \neq 0 \quad \text{อย่างน้อย 1 ค่า}$$

2.6.3 การคำนวณค่าทางสถิติ

การประมาณค่าผลของปัจจัยด้วยการคำนวณหาค่าของผลรวมของกำลังสอง (SS) ได้โดยใช้สมการต่อไปนี้

$$SS_{Tr} = SS_A + SS_B + SS_C + SS_{AB} + SS_{AC} + SS_{BC} + SS_{ABC} \quad (2.12)$$

โดยที่

$$SS_T = \sum_i^a \sum_j^b \sum_k^c \sum_l^n y_{ijkl}^2 - CT \quad (2.13)$$

$$SS_A = \frac{1}{bcn} \sum_i^a y_i^2 - CT \quad (2.14)$$

$$SS_B = \frac{1}{acn} \sum_j^b y_j^2 - CT \quad (2.15)$$

$$SS_C = \frac{1}{abn} \sum_k^c y_k^2 - CT \quad (2.16)$$

$$SS_{AB} = \frac{1}{cn} \sum_i^a \sum_j^b y_{ij}^2 - CT - SS_A - SS_B \quad (2.17)$$

$$SS_{AC} = \frac{1}{bn} \sum_i^a \sum_k^c y_{ik}^2 - CT - SS_A - SS_C \quad (2.18)$$

$$SS_{BC} = \frac{1}{an} \sum_j^b \sum_k^c y_{jk}^2 - CT - SS_B - SS_C \quad (2.19)$$

$$SS_{ABC} = \frac{1}{n} \sum_i^a \sum_j^b \sum_k^c y_{ijk}^2 - CT - SS_A - SS_B - SS_C - SS_{AB} \quad (2.20)$$

$$SS_E = SS_T - SS_A - SS_B - SS_C - SS_{AB} - SS_{AC} - SS_{BC} - SS_{ABC} \quad (2.21)$$

$$CT = \frac{y_{ijk}}{abcn} \quad (2.22)$$

ค่าต่าง ๆ สรุปในตารางที่ 2.9

ตารางที่ 2.9 วิเคราะห์ความแปรปรวนสำหรับการออกแบบการทดลองเชิงแฟกทอรีyle 3 ปัจจัย

Source of Variation	Sum of Square	Degree of Freedom	Mean Square	F_c
ทรรศ์มณฑ์	SS_T	$abc - 1$		
A	SS_A	$a - 1$	MS_A	MS_A/MS_E
B	SS_B	$b - 1$	MS_B	MS_B/MS_E
C	SS_C	$c - 1$	MS_C	MS_C/MS_E
AB	SS_{AB}	$(a - 1)(b - 1)$	MS_{AB}	MS_{AB}/MS_E
AC	SS_{AC}	$(a - 1)(c - 1)$	MS_{AC}	MS_{AC}/MS_E
BC	SS_{BC}	$(b - 1)(c - 1)$	MS_{BC}	MS_{BC}/MS_E
ABC	SS_{ABC}	$(a - 1)(b - 1)(c - 1)$	MS_{ABC}	MS_{ABC}/MS_E
Error	SS_E	$abc(n - 1)$	MS_E	
Total		$abcn - 1$		

การออกแบบการทดลองเชิงแฟกทอรีyle มีประโยชน์หลายประการและเป็นการออกแบบที่มีประสิทธิภาพมากกว่าการทดลองแบบที่ละปัจจัย แต่เป็นสิ่งที่จำเป็นเมื่อต้องร่วมของปัจจัยเกิดขึ้นทำให้สามารถหลีกเลี่ยงข้อสรุปที่ผิดพลาดได้ นอกจากนี้การออกแบบการทดลองเชิงแฟกทอรีyle ยังสามารถประมาณผลของปัจจัยหลักที่ระดับต่าง ๆ ของปัจจัยอื่นได้ และสามารถหาข้อสรุปที่ถูกต้องและแม่นยำ

บทที่ 3

วิธีดำเนินการวิจัย

3.1 รูปแบบการวิจัยและสถานที่ทำการวิจัย

การวิจัยนี้ศึกษาความสามารถในการดูดซับน้ำของตัวดูดซับที่เตรียมขึ้นจากแป้งและการมันสำปะหลัง และศึกษาระบบดูดซับด้วยวิธีสลับความดันซึ่งใช้ตัวดูดซับดังกล่าวสำหรับแยกน้ำออกจากไอกลูโคสอ่อนล魇 รูปแบบของการวิจัยเป็นเชิงทดลอง (Experimental research) ที่มุ่งศึกษาตัวแปรที่มีผลต่อความสามารถในการแยกน้ำออกจากไอกลูโคสอ่อนล魇ของตัวดูดซับ รวมถึงการทดสอบและปรับปรุงประสิทธิภาพของเครื่องตั้นแบบ เพื่อเป็นแนวทางในการขยายขนาดของกระบวนการสำหรับการใช้งานจริงต่อไป สถานที่ทำการทดลองและเก็บข้อมูลในการวิจัยคือห้องปฏิบัติการวิศวกรรมเคมี อาคารศูนย์เครื่องมือ 5 มหาวิทยาลัยเทคโนโลยีสุรนารี ตำบลสุรนารี อำเภอเมือง จังหวัดนครราชสีมา

3.2 ประชากรศึกษาและขนาดตัวอย่าง

การวิจัยนี้ใช้ตัวดูดซับที่เตรียมขึ้นจากการทำเจลาตินайซ์ (Gelatinization) ของพสมะระหว่างแป้งมันสำปะหลัง กากมันสำปะหลัง และโซเดียมไฮดรอกไซด์ (Sodium hydroxide, NaOH) ก่อนนำของพสมที่ได้ไปอบแห้ง และนำมาบดคร่อมแยกขนาดด้วยตะเกียงมาตรฐาน (Standard mesh) ขนาด 30 และ 40 เพื่อให้ได้ตัวดูดซับที่มีขนาดของอนุภาคอยู่ระหว่าง 0.425-0.600 มิลลิเมตร โดยทำการทดลองใน columน์ดูดซับแบบเบปนิ่ง และในเครื่องตั้นแบบของการดูดซับด้วยวิธีสลับความดันที่จัดสร้างขึ้นในห้องปฏิบัติการ โดยเปรียบเทียบความสามารถของตัวดูดซับจากมันสำปะหลังกับชีไอโอライト 3 เอ เมื่อใช้สารละลายอ่อนล魇ที่เตรียมขึ้นจากไอกลูโคสความเข้มข้นร้อยละ 95 โดยน้ำหนัก เป็นการป้อน

3.3 ตัวแปรในการทดลอง

3.3.1 ตัวแปรสำหรับระบบดูดซับแบบเบปนิ่ง

1) ตัวแปรอิสระ

- ความเข้มข้นของสารละลายอ่อนล魇เริ่มต้น
- ปริมาณของตัวดูดซับจากมันสำปะหลังที่บรรจุใน columน์ดูดซับ

2) ตัวแปรควบคุม

- แหล่งที่มาของกากมันสำปะหลังและแป้งมันสำปะหลัง
- วิธีการเตรียมตัวดูดซับจากมันสำปะหลัง

3) ตัวแปรตาม

- ความเข้มข้นของสารละลายอุตสาหกรรมอัดหลังผ่านกระบวนการดูดซับ

3.3.2 ตัวแปรสำหรับระบบดูดซับแบบสลับความดัน

1) ตัวแปรอิสระ

- เวลาของครึ่งวัฏจักร (Half cycle time)
- อุณหภูมิของกออลัมน์ดูดซับ
- ความดันของกออลัมน์ดูดซับ
- อัตราการไหลของไอลาร์บีอน

2) ตัวแปรควบคุม

- แหล่งที่มาของกากมันสำปะหลังและแป้งมันสำปะหลัง
- วิธีการเตรียมตัวดูดซับจากมันสำปะหลัง

3) ตัวแปรตาม

- ความเข้มข้นของสารละลายอุตสาหกรรมอัดหลังผ่านกระบวนการดูดซับ

3.4 เครื่องมือและสารเคมีในการทดสอบ

3.4.1 เครื่องมือสำหรับระบบดูดซับแบบเบนเดนิ่ง

1) ชุดทดลองประกอบด้วยกออลัมน์ดูดซับขนาดเส้นผ่าศูนย์กลางภายใน 2.54 เมนติเมตร ความสูง 18 เมนติเมตร เตาไฟฟ้าสำหรับให้ความร้อน หม้อต้มระเหย แหล่งจ่ายน้ำร้อน และชุดอุปกรณ์ควบแน่น การประกอบชุดการทดลองเป็นดังแสดงในรูปที่ 3.1

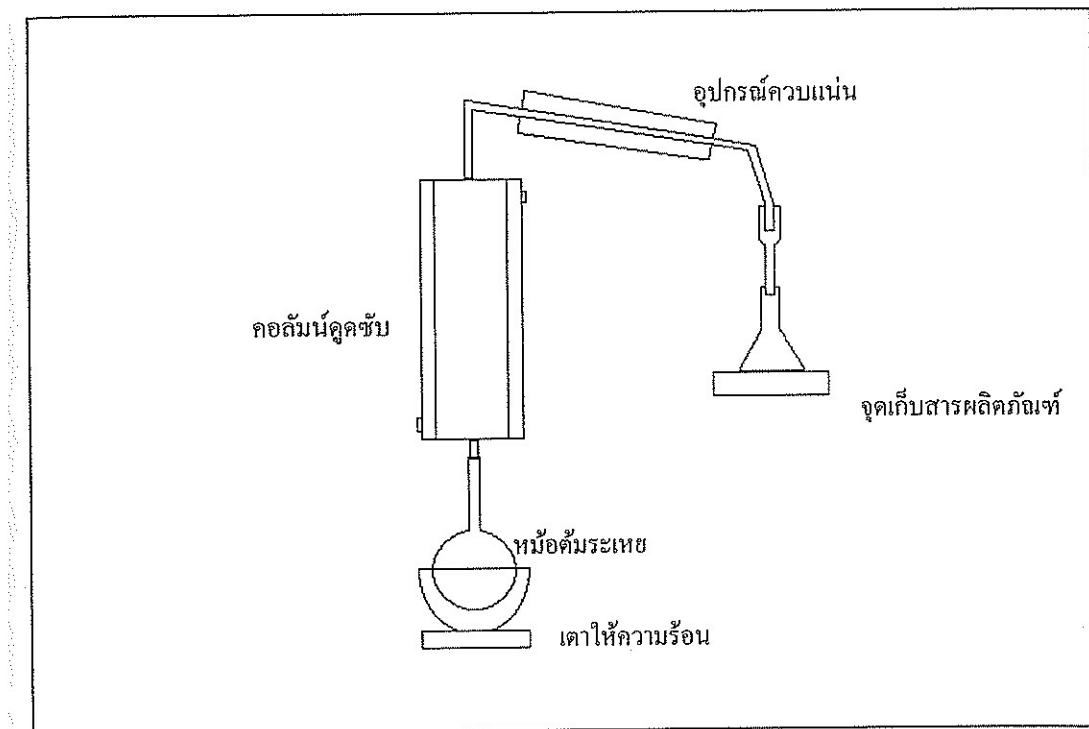
- 2) เครื่องชั่งไฟฟ้าความละเอียดหนึ่ง 4 ตำแหน่ง (AC211S Sartorius)
- 3) หลอดเก็บสารละลายตัวอย่าง
- 4) เครื่องวัดครรชนีการหักเหแสง (ATAGO 2T)

3.4.2 เครื่องมือสำหรับระบบคุณภาพแบบสลับความดัน

- 1) เครื่องดันแบบของระบบคุณภาพแบบสลับความดันลักษณะดังแสดงในรูปที่ 3.2 ประกอบด้วย คอลัมน์คุณภาพทำจากเหล็กกล้าไร้สนิม (Stainless steel) ขนาดเส้นผ่าศูนย์กลางภายใน 5 เซนติเมตร ความสูง 30 เซนติเมตร จำนวน 2 คอลัมน์ ควบคุมอุณหภูมิภายในคอลัมน์ด้วยอุปกรณ์ให้ความร้อนแบบเส้น (Cable heater)
 - 2) หม้อต้มระบบทขนาด 10 ลิตร (20×60 เซนติเมตร)
 - 3) ปั๊มสูญญากาศ ขนาด 1/4 แรงม้า (model VP-35L DAIKAWA)
 - 4) ปั๊มน้ำ 1/8 แรงม้า (Coolant pump 50/60)
 - 5) อุปกรณ์ควบแน่น
 - 6) เครื่องชั่งไฟฟ้าความละเอียดทศนิยม 4 ตำแหน่ง (AC211S Sartorius)
 - 7) เครื่องวัดครัตนีการหักเหแสง (ATAGO 2T)

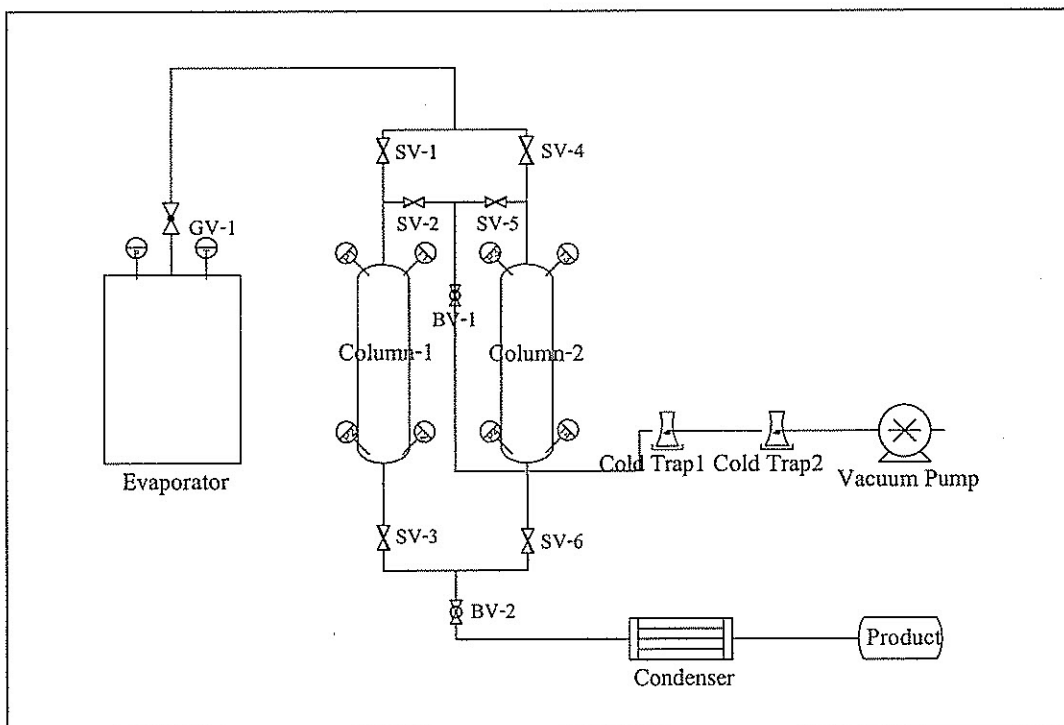
3.4.3 วัสดุและสารเคมี

- 1) แป้งมันสำปะหลัง
- 2) กากมันสำปะหลังบดละเอียด
- 3) โซเดียมไฮดรอกไซด์ ชนิดเม็ด
- 4) เอทานอลบริสุทธิ์ ความเข้มข้นร้อยละ 99.9 โดยน้ำหนัก
- 5) เอทานอลเกรดเอ ความเข้มข้นร้อยละ 95 โดยน้ำหนัก
- 6) น้ำดีไอ (Deionized water)
- 7) เซอไลท์ 3 เอ (Zeolite 3A)



รูปที่ 3.1 ชุดทดลองสำหรับระบบคูลชั่บแบบเบนนิ่ง

การทดลองโดยใช้ระบบคูลชั่บแบบเบนนิ่ง (รูปที่ 3.1) เริ่มด้วยการให้ความร้อนหม้อต้มระเหยที่บรรจุสารละลายนอก 300 มิลลิลิตร โดยไอกลมของเอทานอลและน้ำจากสารละลายน้ำที่เดือดจะผ่านเข้าสู่กอลัมน์คูลชั่บขนาด 2.54×18 เซนติเมตร ซึ่งจะเกิดการคูลชั่บนำออกจากเอทานอล ไอกลมเอทานอลที่ออกจากกอลัมน์คูลชั่บจะผ่านเข้าสู่ส่วนควบแน่นของหลอดที่ได้จากการควบแน่นจะเข้าสู่จุดเก็บสารผลิตภัณฑ์ วิเคราะห์หาความเข้มข้นของเอทานอลในผลิตภัณฑ์จะใช้วิธีการวัดครรชนีการหักเหแสง



รูปที่ 3.2 แผนภาพแสดงองค์ประกอบเครื่องตั้นแบบของระบบดูดซับแบบสลับความดัน

การทำงานของเครื่องตั้นแบบของระบบดูดซับแบบสลับความดันจากรูปที่ 3.2 ดังนี้

1) ให้ความร้อนหม้อต้มระเหยจนกระทั่งความดันของหม้อต้มระเหยมีค่าเท่ากับความดันของคอลัมน์ดูดซับที่ต้องการทำการทำทดลอง จากนั้นเปิดวาล์วหม้อต้มระเหย GV-1 เพื่อให้ไออสมเอทานอลไหลเข้าสู่คอลัมน์ดูดซับ

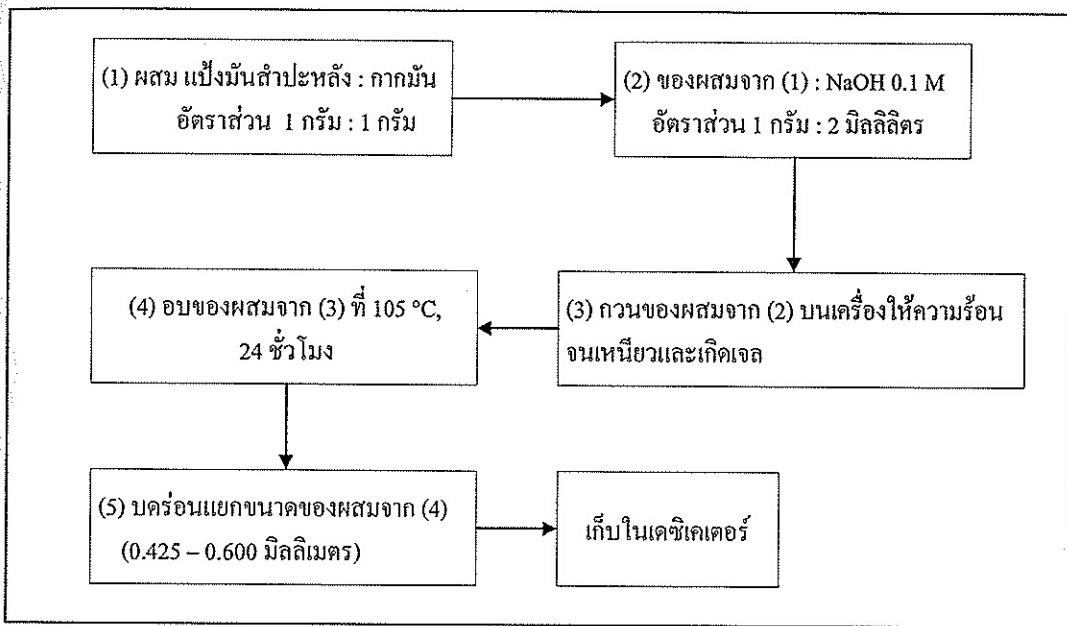
2) ทำการทดลองที่เวลาของครึ่งวัฏจักร 4/1 นาที โดยเปิดวาล์ว SV-1 SV-5 และ BV-1 เป็นเวลา 4 นาที และปิดวาล์ว SV-2 SV-3 SV-4 และ SV-6 เพื่อให้ไออสมเอทานอลไหลเข้าสู่คอลัมน์ 1 เกิดการเพิ่มความดัน และคอลัมน์ 2 จะทำการขยายตัว จากนั้น วาล์ว SV-3 จะเปิดนาน 1 นาที เพื่อทำการเก็บเอทานอลผลิตภัณฑ์

3) สลับการทำงานของคอลัมน์จะสลับกันโดยเปิดวาล์ว SV-4 SV-2 และ BV-1 เป็นเวลา 4 นาที และปิดวาล์ว SV-1 SV-3 SV-5 และ SV-6 เพื่อให้ความดันในคอลัมน์ 2 เพิ่มขึ้นและเกิดการดูดซับ ส่วนความดันในคอลัมน์ 1 ลดลง เกิดการขยายตัวของน้ำออกจากการดูดซับ จากนั้น เปิดวาล์ว SV-6 นาน 1 นาที เพื่อเก็บผลิตภัณฑ์เอทานอลที่ได้จากการบูรณาการ

4) เก็บผลิตภัณฑ์เอทานอลทุก 10 นาที โดยเก็บผลิตภัณฑ์ที่ได้จากทั้งสองคอลัมน์ รวมกัน วิเคราะห์หาความเข้มข้นของเอทานอลในผลิตภัณฑ์ที่ได้ด้วยเครื่องวัดดิจิตอลนี้ การหักเหแสง

3.5 วิธีการทดลอง

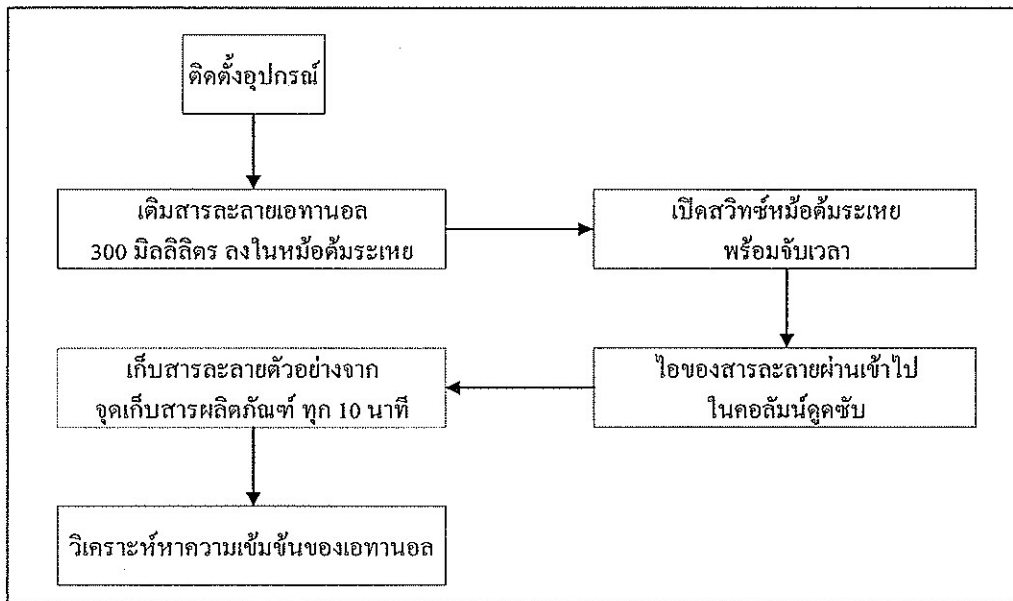
3.5.1 การเตรียมตัวดูดซับจากมันสำปะหลัง



รูปที่ 3.3 ขั้นตอนการเตรียมตัวดูดซับจากมันสำปะหลัง

ขั้นตอนการเตรียมตัวดูดซับจากมันสำปะหลังเป็นดังแสดงในรูปที่ 3.3 ขั้นตอนแรก คือ การผสมเป็นมันสำปะหลังและการมันสำปะหลังคละเอียดในอัตราส่วน 1:1 กรัม จากนั้นเติมสารละลายน้ำ NaOH เข้มข้น 0.1 M ในอัตราส่วนของผสม 1 กรัมต่อสารละลายน้ำ 2 มิลลิลิตร กวนส่วนผสมให้เข้ากันบนเตาให้ความร้อน (Hot plate) จนของผสมเหนียวเป็นเจล แห่งเจลที่ได้ลงบนถาดที่ความร้อน และนำไปอบที่อุณหภูมิ 105 องศาเซลเซียส นาน 24 ชั่วโมง บดของแข็งที่ได้จากการอบแห้งก่อนร่อนคัดขนาดอนุภาคที่ได้ด้วยตะกรงมาตรฐานขนาด 0.425-0.600 มิลลิเมตร

3.5.2 การศึกษาความสามารถในการแยกน้ำออกจากไออกซิเจนอุดตันของระบบดูดซับแบบเบดนิ่ง



รูปที่ 3.4 ขั้นตอนการทดลองหาความสามารถในการแยกน้ำออกจากไออกซิเจนอุดตันของระบบดูดซับแบบเบดนิ่ง

การทดลองหาความสามารถในการแยกน้ำออกจากไออกซิเจนอุดตันของระบบดูดซับแบบเบนนิ่ง เริ่มด้วยการติดตั้งอุปกรณ์สำหรับระบบดูดซับดังรูปที่ 3.1 โดยไม่บรรจุตัวคูดซับลงในอลัมน์ จากนั้นเติมสารละลายอุตสาหกรรมความเข้มข้นร้อยละ 60 โดยน้ำหนัก ปริมาตร 300 มิลลิลิตร ลงในหม้อต้มระเหย เปิดสวิตช์ตามให้ความร้อนพร้อมจับเวลา เก็บสารละลายตัวอย่างจากชุดเก็บสารผลิตภัณฑ์ โดยเก็บแบบปริมาตรสะสมทุก 10 นาที และเมื่อเริ่มเก็บสารละลายตัวอย่างให้เติมสารละลายอุตสาหกรรมความเข้มข้นร้อยละ 60 โดยน้ำหนัก (ความเข้มข้นของสารละลายอุตสาหกรรมต่อเดือน) ใส่ในหม้อต้มปริมาตร 5 มิลลิลิตร ทุก 5 นาที บันทึกปริมาตรของสารผลิตภัณฑ์ที่ได้และปริมาตรสารละลายที่เติมในหม้อต้ม วิเคราะห์หาความเข้มข้นของอุตสาหกรรมในผลิตภัณฑ์ที่ได้ด้วยร่องวัดบรรชนีการหักเหแสง ทำการทดลองจนกระทั่งความเข้มข้นของอุตสาหกรรมในผลิตภัณฑ์มีค่าคงที่ จากนั้นศึกษาความสามารถของตัวคูดซับโดยทำการทดลองเช่นเดียวกันนี้ที่ความเข้มข้นต่อเดือนของสารละลายอุตสาหกรรมร้อยละ 75 80 85 90 และ 95 โดยน้ำหนัก และปริมาณตัวคูดซับ 10 0 30 40 และ 60 กรัม ตามลำดับ

3.5.3 การทดสอบการนำกลับมาใช้ใหม่ของตัวคุณภาพจากมันสำปะหลัง

การทดลองเพื่อทดสอบการนำตัวคุณชั้นจากมันสำปะหลังกลับมาใช้ใหม่ มีขั้นตอนการทดลอง เช่นเดียวกับในหัวข้อ (3.5.2) โดยการทดลองนี้ใช้สารละลายเอทานอลความเข้มข้นร้อยละ 90 โดยน้ำหนัก เป็นสารปื้อน และใช้ปริมาณตัวคุณชั้บ 60 กรัม เมื่อทำการทดลองเสร็จแล้วนำตัวคุณชั้บออกจากการคลั่มน์คุณชั้บไปบนที่อุณหภูมิ 105 องศาเซลเซียส เป็นเวลา 12 ชั่วโมง จากนั้นนำมารรูดลงในกอลัมน์คุณชั้บ เช่นเดิม ทำการทดลองซ้ำจนกว่าตัวคุณชั้นจากมันสำปะหลังจะเสื่อมประสิทธิภาพโดยพิจารณาจากความเข้มข้นของเอทานอลในผลิตภัณฑ์ที่มีค่าลดลงใกล้เคียงกับกรณีไม่ใช้ตัวคุณชั้บ

3.5.4 การศึกษาการรายชั้บของตัวคุณชั้บจากมันสำปะหลังด้วยสูญเสียภาค

การทดลองเพื่อศึกษาการคายซับของตัวคุณชับจากมันสำปะหลังคั่วสูญญากาศ มีขั้นตอนการทดลองเช่นเดียวกับหัวข้อ (3.5.2) โดยการทดลองนี้ใช้สารละลายเอทานอลความเข้มข้น ร้อยละ 50 โดยนำหนัก เป็นสารป้อน และใช้ปริมาณตัวคุณชับ 50 กรัม และเมื่อทำการทดลองเสร็จ แล้วนำตัวคุณชับจากมันสำปะหลังที่ผ่านการดูดซับ บรรจุในกล่องคายซับเพื่อทำการคายซับด้วย สูญญากาศ เก็บตัวอย่างของตัวคุณชับทุก 5 นาที จากนั้นนำตัวอย่างที่ได้ไปวิเคราะห์หาปริมาณ ความชื้นที่มีอยู่ในตัวคุณชับ และบันทึกผลการทดลอง

3.5.5 การศึกษาการแยกน้ำออกจากไฮโดรเจนออกไซด์ของระบบดูดซับแบบสลับความดัน

ໂດຍໃຫ້ສົ່ງໄກຕໍ່ 3 ໂດ

การทดลองเพื่อศึกษาการแยกน้ำออกจากไอกลมเอกทานลดของระบบคุณภาพแบบสัมบูรณ์ ความดันโดยใช้โซลิคต์ 3 เอ รีเม็คันด้วยเดิมสารละลายเอกทานลดความเข้มข้นร้อยละ 90 โดยน้ำหนักปริมาตร 10 ลิตร ในหม้อต้มระเหยโดยเปิดวาล์วหม้อต้มระเหยร้อยละ 50 และบรรจุโซลิคต์ 3 เอ กอลัมน์ละ 400 กรัม จากนั้นเปิดสวิตซ์อุปกรณ์ต่อไปนี้ (รูปที่ 3.2) เครื่องทำความเย็น ตั้งค่าอุณหภูมิของกอลัมน์คุณภาพที่ 130 องศาเซลเซียส และควบคุมความดันของหม้อต้มระเหยโดยผ่านการควบคุมอุณหภูมิของหม้อต้มระเหยให้อยู่ในค่าความดันที่ 2 บาร์ เปิดปั๊มสูญญากาศและปั๊มน้ำหล่อเย็น และตั้งเวลาของเครื่องวัตถุจักร 5 นาที (4/1 นาที คือ เพิ่มความดัน 4 นาที และคุณภาพ 1 นาที) โดยเก็บข้อมูลความดันหม้อต้มระเหย ความดันของกอลัมน์คุณภาพ อุณหภูมิของกอลัมน์คุณภาพ ปริมาตรของผลิตภัณฑ์และในเครื่องดักจับไออกะ (Cold trap) นำสารละลายที่ได้จากดักจับสารผลิตภัณฑ์และเครื่องดักจับไออกะไปวิเคราะห์หาความเข้มข้นของเอกทานลดด้วยเครื่องวัดครอร์นีการหักเหแสง

จากนั้นทำการทดลองเช่นเดียวกันที่เวลาการดำเนินการครึ่งวัฏจักร 3/2 นาที (เพิ่มความดัน 3 นาที และคูดซับ 2 นาที) และ 1/4 นาที (เพิ่มความดัน 1 นาที และคูดซับ 4 นาที) ความดันของหม้อต้มระเหย 3 บาร์ และอุณหภูมิของกองลัมป์คูดซับ 120 องศาเซลเซียส ตามลำดับ

3.5.6 การศึกษานัยสำคัญของตัวแปรด้วยการออกแบบการทดลองเชิงแฟกทอเรียลแบบ 2³

สำหรับการศึกษาอิทธิพลตัวแปรต่าง ๆ ต่ออัตราการผลิตโอทานอล (กรัม/oท่านอล ต่อกรัมตัวคูดซับต่อชั่วโมง) ในเครื่องต้นแบบของการคูดซับคำยวิธีการสลับความดัน โดยใช้ตัวคูดซับจากมันสำปะหลัง โดยศึกษา 3 ตัวแปร คือ ความดันของกองลัมป์คูดซับ อุณหภูมิของกองลัมป์คูดซับ และอัตราการไหลดของสารป้อนควบคุมด้วยอัตราการเปิดวาล์วหม้อต้ม ในการออกแบบการทดลองเชิงแฟกทอเรียลแบบ 2³ จะกำหนดค่าสูงสุดและต่ำสุดของแต่ละตัวแปร แสดงดังตารางที่ 3.1 และตารางที่ 3.2 แสดงยัตรการไหลดของสารป้อนเทียบกับร้อยละการเปิดวาล์วของหม้อต้มระเหย

ตารางที่ 3.1 สถานะการทดลองที่ได้จากการออกแบบการทดลองเชิงแฟกทอเรียลแบบ 2³

การทดลอง	ความดันของกองลัมป์คูดซับ (บาร์)	อุณหภูมิของกองลัมป์คูดซับ (°C)	การเปิดวาล์วของ หม้อต้มระเหย (ร้อยละ)
1	2	120	25
2	3	120	25
3	2	120	75
4	3	120	75
5	2	130	25
6	3	130	25
7	2	130	75
8	3	130	75

ตารางที่ 3.2 อัตราการไฟลของสารป้อนเทียนกับร้อยละการเปิด瓦ล์วเมื่อต้มระเหย

ความดันของหม้อต้มระเหย (บาร์)	การเปิดวาล์ว (ร้อยละ)	อัตราการไฟล (มิลลิลิตรต่อนาที)
2	25	342
	50	380
	75	459
3	25	600
	50	695
	75	795

3.5.7 การศึกษาการแยกน้ำออกจากไอกลมและห้องลอดของระบบคูดซับแบบสลับความดันโดยใช้ตัวคูดซับจากมันสำปะหลัง

การทดลองเพื่อศึกษาการแยกน้ำออกจากไอกลมและห้องลอดของระบบคูดซับแบบสลับความดันโดยใช้ตัวคูดซับจากมันสำปะหลัง มีขั้นตอนเช่นเดียวกับหัวข้อ (3.5.5) โดยเติมสารละลายเข้าห้องลอดความเข้มข้นเริ่มต้นร้อยละ 90 โดยน้ำหนัก ในหม้อต้มระเหยโดยเปิดวาล์วเมื่อต้มระเหยร้อยละ 25 บรรจุตัวคูดซับจากมันสำปะหลัง กอัลลิมน์ละ 300 กรัม จากนั้นเมื่อทำการทดลองเสร็จแล้วน้ำจะลดลงครึ่งวินาที 3/2 นาที (เพิ่มความดัน 3 นาที และคูดซับ 2 นาที) และ 1/4 นาที (เพิ่มความดัน 1 นาที และคูดซับ 4 นาที) ความดันหม้อต้มระเหย 3 บาร์ อุณหภูมิกอัลลิมน์ 120 องศาเซลเซียส และเปิดวาล์วเมื่อต้มระเหยร้อยละ 75 ตามลำดับ

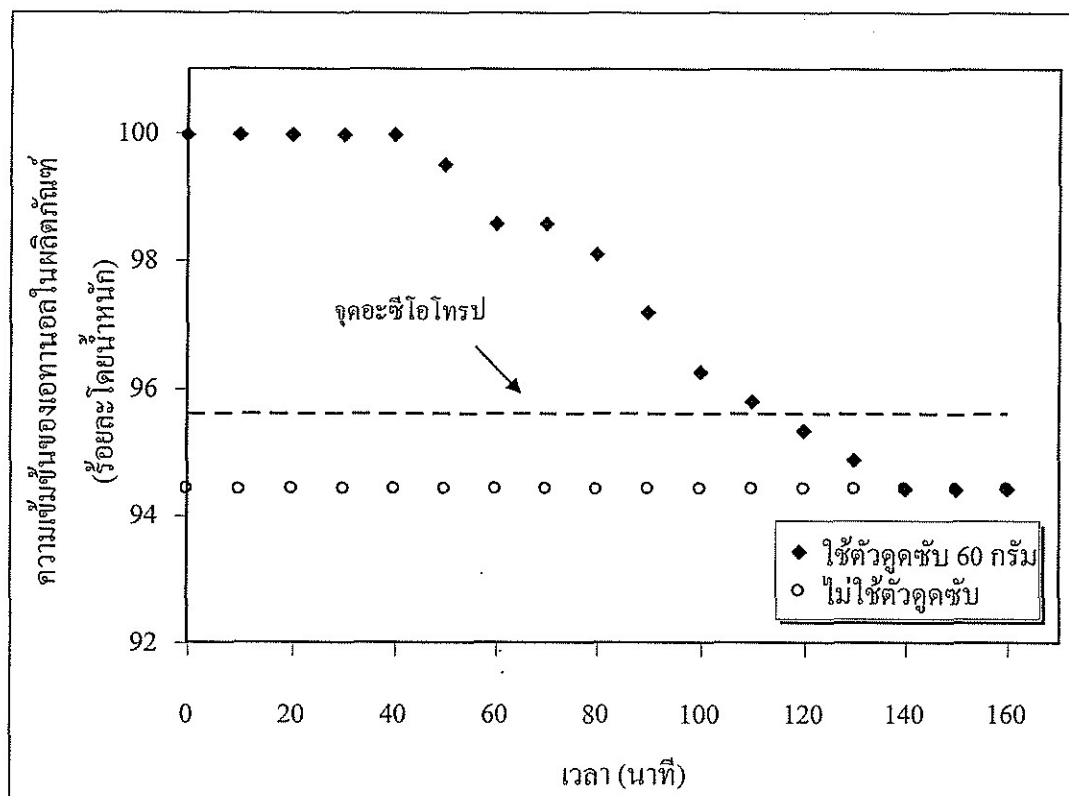
บทที่ 4

ผลการทดสอบและอภิปรายผล

บทนี้นำเสนอผลการศึกษาความสามารถในการแยกน้ำแยกจากไออกسمอทานอลของตัวคุณชับที่เตรียมขึ้นจากเปลี่ยนและกามันสำปะหลังในระบบคุณชับแบบเบนิ่ง ที่ความเจ็บขั้นของสารป้อนและปริมาณของตัวคุณชับต่าง ๆ เมื่อกำหนดอุณหภูมิของกอต้มน้ำคุณชับ 90 องศาเซลเซียส และทำการทดลองที่ความดันบรรยายกาศ นำผลการทดลองที่ได้ไปหาไอโซเทร์มการคุณชับน้ำของตัวคุณชับกามันสำปะหลังที่สภาวะสมดุล จากนั้นศึกษาความสามารถการคุณชับน้ำของตัวคุณชับดังกล่าวในกรีองต์แบบของระบบคุณชับแบบถลั่นความดันที่ได้จัดสร้างขึ้น โดยทำการทดลองตามวิธีการออกแบบการทดลองเชิงแฟกทอรีเบิลแบบ 2³ เพื่อศึกษาปัจจัยที่มีผลต่อความสามารถในการแยกน้ำออกจากไออกسمอทานอลในระบบคุณชับแบบถลั่นความดัน

4.1 ความสามารถในการคัดซับน้ำของตัวดูดซับจากมันสำปะหลัง

การศึกษาความสามารถในการคุดชันน้ำของตัวคุดชันจากมันสำปะหลังสำหรับแยกน้ำออกจากไออกไออกสมอทานอลในระบบคุดชันแบบเบนนิ่ง โดยการวิเคราะห์หาความเข้มข้นของเอทานอลงในผลิตภัณฑ์ที่ได้จากการระบบการคุดชันแบบเบนนิ่งเปรียบเทียบระหว่างการใช้และไม่ใช้ตัวคุดชัน เมื่อใช้ความเข้มข้นของเอทานอลงในสารป้อนร้อยละ 90 โดยน้ำหนัก รูปที่ 4.1 แสดงผลเปรียบเทียบความเข้มข้นของผลิตภัณฑ์เอทานอลงระหว่างกรณีที่ไม่ใช้ตัวคุดชันและใช้ตัวคุดชัน พบว่าเมื่อใช้ตัวคุดชันจะทำให้ความเข้มข้นของผลิตภัณฑ์เอทานอลงมีค่ามากกว่ากรณีที่ไม่ได้ใช้ตัวคุดชัน โดยน้ำจะถูกแยกออกจากไออกไออกสมอทานอลงด้วยการสร้างพันธะไฮโดรเจนระหว่างโมเลกุลของน้ำกับหมู่ไฮดรอกซิลิสระบบกูลโคส ซึ่งกูลโคสจะมีอยู่ในโครงสร้างของห้องมะไนโอลสและจะไม่โลเพคตินที่พบในแป้ง (Beery and Ladisch, 2001) เช่นเดียวกับผลการศึกษาวิจัยของ Ladisch et al. (1984) ดังได้กล่าวไว้ในหัวข้อ 2.2 แสดงให้เห็นว่าตัวคุดชันที่เตรียมจากมันสำปะหลังมีความสามารถในการแยกน้ำออกจากไออกไออกสมอทานอลง ทำให้ความเข้มข้นของเอทานอลงในผลิตภัณฑ์ที่ได้มีค่าสูงถึงร้อยละ 99.96 โดยน้ำหนัก ซึ่งสูงกว่าจุดอะซีโอดีฟอกซ์บองสารละลายเอทานอลงในน้ำ ผลการทดลองนี้แสดงให้เห็นว่าตัวคุดชันจากมันสำปะหลังสามารถคุดชันเพื่อแยกน้ำออกจากไออกไออกสมอทานอลงได้

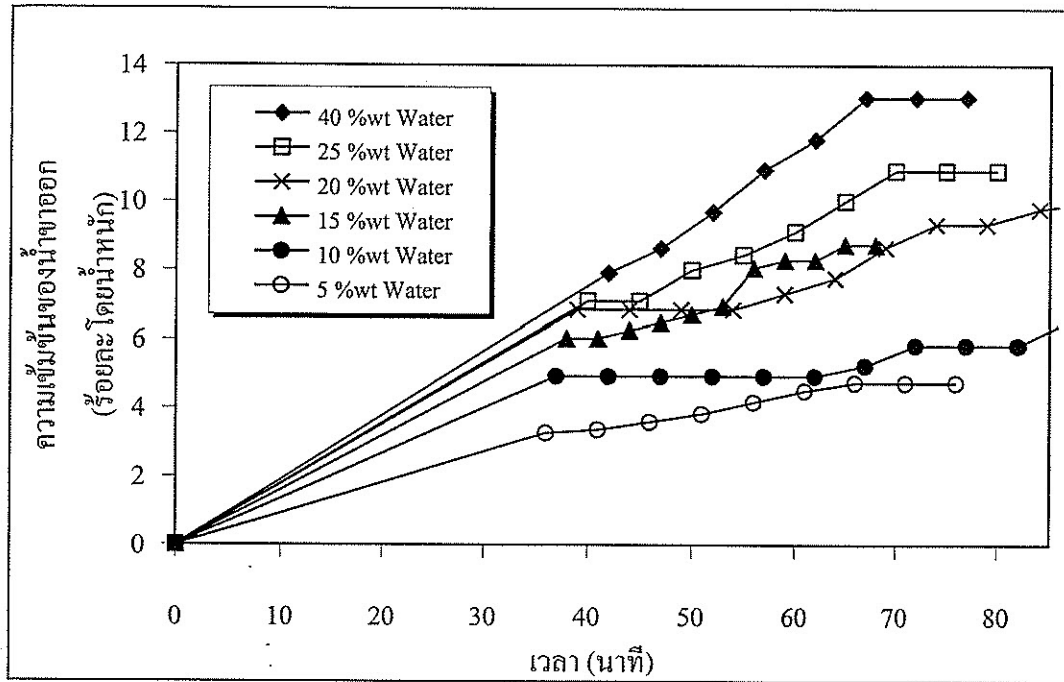


รูปที่ 4.1 การเปลี่ยนแปลงของความเข้มข้นของอุทานอลในผลิตภัณฑ์กับเวลาในระบบดูดซับที่ใช้สารป้อนซึ่งมีความเข้มข้นของอุทานอลร้อยละ 90 โดยน้ำหนัก

4.2 การดูดซับน้ำของตัวดูดซับจากมันสำปะหลังในระบบดูดซับแบบเบนนิ่ง

4.2.1 ผลของการเพิ่มน้ำของสารป้อนต่อประสิทธิภาพการดูดซับน้ำ

การศึกษาผลของการเพิ่มน้ำของสารป้อนที่มีต่อประสิทธิภาพการดูดซับน้ำของตัวดูดซับจากมันสำปะหลังในระบบดูดซับแบบเบนนิ่ง ที่ความเข้มข้นเริ่มต้นของสารละลายอุทานอลร้อยละ 60-95 โดยน้ำหนัก ปริมาตรเริ่มต้นของสารป้อนเท่ากับ 300 มิลลิลิตร และใช้ปริมาณของตัวดูดซับจากมันสำปะหลัง 10 กรัม โดยพิจารณาการเปลี่ยนแปลงความเข้มข้นของน้ำในผลิตภัณฑ์กับเวลา (รูปที่ 4.2) แสดงให้เห็นว่าเมื่อมีปริมาณน้ำเข้ามากกว่าดูดซับจะสามารถดูดซับน้ำໄว้ได้มากซึ่งมีความต่างของความเข้มข้นของน้ำในสารป้อนร้อยละ 40 โดยน้ำหนัก จะมีความแตกต่างมากที่สุด ตามค่าวิธีร้อยละ 25 20 15 และ 10 โดยน้ำหนัก ลดลงตามลำดับ



รูปที่ 4.2 การเปลี่ยนแปลงความ�ื้นที่ของน้ำยาออกจากการบดดูดซับแบบบดบัง
โดยใช้ตัวดูดซับจากมันสำปะหลัง 10 กรัม

จากรูปที่ 4.2 นำข้อมูลที่ได้ไปคำนวณหาปริมาณน้ำที่ถูกดูดซับต่อปริมาณตัวดูดซับ เพื่อใช้ในการพิจารณาปูแบบໄไอ โซเทิร์นของตัวดูดซับจากมันสำปะหลัง โดยการคำนวณหาปริมาณน้ำที่ถูกดูดซับต่อปริมาณตัวดูดซับ แสดงดังนี้

$$q_w = (g_{H_2O,in} - g_{H_2O,out}) / g_{adsorbent} \quad (4.1)$$

เมื่อ

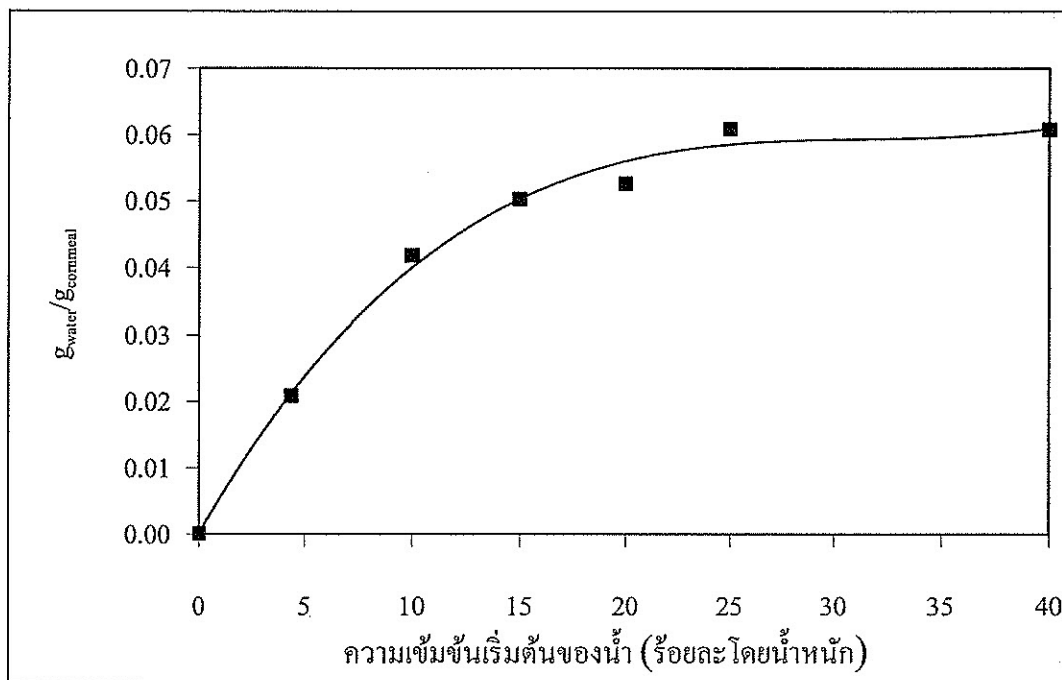
- q_w คือ ปริมาณน้ำที่ถูกดูดซับต่อปริมาณตัวดูดซับ (กรัม ต่อ กรัมตัวดูดซับ)
- $g_{H_2O,in}$ คือ ปริมาณน้ำในสารป้อน (กรัม)
- $g_{H_2O,out}$ คือ ปริมาณน้ำในสารผลิตภัณฑ์ (กรัม)
- $g_{adsorbent}$ คือ ปริมาณตัวดูดซับที่ใช้ (กรัม)

ผลการคำนวณปริมาณน้ำที่ถูกดูดซับต่อบริมาณตัวดูดซับแสดงดังตารางที่ 4.1 แสดงให้เห็นว่าเมื่อความเข้มข้นของอุทานอลในสารป้อนเพิ่มขึ้นจะทำให้ความสามารถในการดูดซับน้ำลดลง และนำไปสร้างกราฟความสัมพันธ์ระหว่างปริมาณน้ำที่ถูกดูดซับต่อบริมาณตัวดูดซับและความเข้มข้นเริ่มต้นของน้ำในสารป้อน แสดงดังรูปที่ 4.3 พบว่าความสามารถในการดูดซับน้ำของตัวดูดซับจากมันสำปะหลังจะมีแนวโน้มเพิ่มขึ้นตามความเข้มข้นของน้ำในสารป้อน โดยปริมาณการดูดซับน้ำจะเพิ่มขึ้นอย่างรวดเร็วที่ช่วงความเข้มข้นของน้ำในช่วง ร้อยละ 0-15 โดยน้ำหนักและจะมีค่าคงที่เมื่อความเข้มข้นของน้ำเพิ่มน่องจากที่ความเข้มข้นเริ่มต้นของน้ำต่ำจะมีจำนวนโมเลกุลของน้ำต่อต่อบริมาณของหมู่ไฮดรอกซิลิโอลิสระในตัวดูดซับจากมันสำปะหลังมาก แต่เมื่อความเข้มข้นของน้ำในสารป้อนเพิ่มขึ้นจะทำให้อัตราส่วนระหว่างจำนวนหมู่ไฮดรอกซิลิโอลิสระต่อโมเลกุln้ำที่จะเกิดพันธะไฮโดรเจนมีค่าน้อย ส่งผลให้ปริมาณการดูดซับน้ำของตัวดูดซับลดลง

ตารางที่ 4.1 ปริมาณน้ำที่ถูกดูดซับเมื่อใช้ตัวดูดซับจากมันสำปะหลัง 10 กรัม ในระบบดูดซับ

แบบเบ็ดเนงที่ความเข้มข้นของอุทานอลในสารป้อนดัง ๆ

ความเข้มข้นของน้ำในสารป้อน (%wt)	ปริมาณของน้ำที่ถูกดูดซับ (g _{water} /g _{adsorbent})
40	0.061
25	0.061
20	0.053
15	0.050
10	0.042
5	0.021



รูปที่ 4.3 ผลของความเข้มข้นของสารปือนที่มีต่อการคุตชันน้ำ

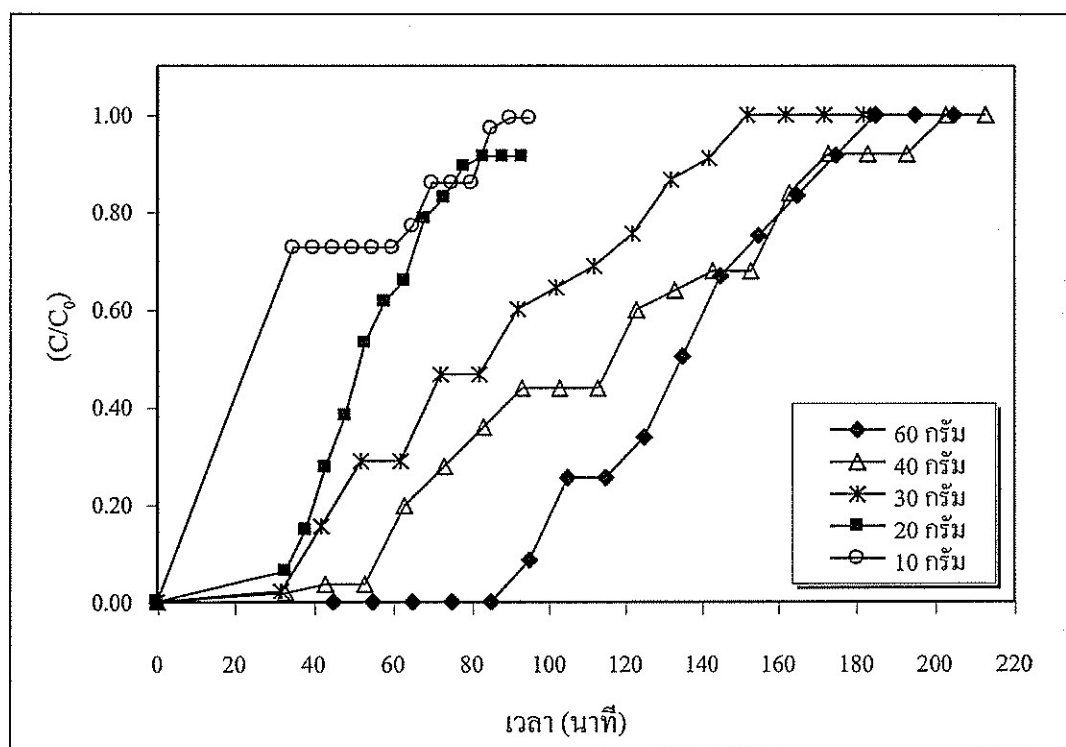
4.2.2 ผลของปริมาณตัวคุตชันต่อประสิทธิภาพการคุตชันน้ำในระบบคุตชันแบบเบคนิ่ง

การศึกษาผลของปริมาณตัวคุตชันต่อประสิทธิภาพการคุตชันน้ำในระบบคุตชันแบบเบคนิ่ง โดยใช้ตัวคุตชันปริมาณระหว่าง 10-60 กรัม ที่ความเข้มข้นของอิथานอลในสารปือนร้อยละ 90 โดยน้ำหนัก ปริมาตร 300 มิลลิลิตร รูปที่ 4.4 แสดงผลของปริมาณตัวคุตชันที่มีต่อความสามารถในการคุตชันน้ำ C/C_0 ที่อัตราส่วนระหว่างความเข้มข้นของน้ำขาวออกต่อความเข้มข้นเริ่มต้นของน้ำ ค่า C/C_0 ด้านแสดงว่าการคุตชันน้ำเกิดในปริมาณมากและการแยกน้ำออกจากไออกซิเจนอลมีประสิทธิภาพดี ซึ่งจะเห็นว่า C/C_0 ลดลงตามปริมาณของตัวคุตชันที่ใช้

ตารางที่ 4.2 แสดงปริมาณของตัวคุตชันและระยะเวลาเบรคทรู (Breakthrough time) ในระบบคุตชันแบบเบคนิ่ง ซึ่งเวลาเบรคทรู คือเวลาที่ตัวคุตชันเริ่มอึมตัว จากตารางที่ 4.3 เวลาเบรคทรูจะมีค่าเพิ่มขึ้นตามปริมาณของตัวคุตชันที่ใช้ เมื่อจากการเพิ่มปริมาณตัวคุตชันจะเป็นการเพิ่มหมุนไชครอกซิโลสิระในระบบซึ่งส่งผลให้เกิดการคุตชันมากขึ้น สำหรับการคุตชันที่ใช้ปริมาณตัวคุตชัน 10 และ 20 กรัมนั้น C/C_0 มีค่าเพิ่มขึ้นอย่างรวดเร็วทำให้ไม่สามารถหาค่าเวลาเบรคทรูได้ แสดงให้เห็นว่าความสามารถในการคุตชันน้ำออกจากอิथานอลเพิ่มขึ้นตามปริมาณตัวคุตชันที่ใช้

ตารางที่ 4.2 ปริมาณของตัวคูดซับและระยะเวลาเอนรอกทรูในระบบคูดซับแบบเบคนิ่งที่ใช้
ความเข้มข้นของเอทานอลในสารป้อนร้อยละ 90 โดยน้ำหนัก

ปริมาณของตัวคูดซับ (กรัม)	เวลาเอนรอกทรู (นาที)
10	-
20	-
30	30
40	40
60	85



รูปที่ 4.4 ผลของปริมาณตัวคูดซับที่มีต่อความสามารถในการคูดซับน้ำของระบบคูดซับแบบเบคนิ่ง
ที่ใช้ความเข้มข้นเริ่มต้นของเอทานอลในสารป้อนร้อยละ 90 โดยน้ำหนัก
ปริมาตร 300 มิลลิลิตร

4.3 ไอโซเทิร์มที่สภาวะสมดุลของตัวคูดซับจากมันสำปะหลัง

ความสัมพันธ์ระหว่างปริมาณน้ำที่ถูกคูดซับต่อปริมาณเดาคูดซับกับความเข้มข้นเริ่มต้นของน้ำในสารปื้อน (ตารางที่ 4.1) นำมาทดสอบหาไอโซเทิร์มการคูดซับที่สภาวะสมดุลโดยใช้สมการไอโซเทิร์มการคูดซับแบบลงม้วร์ (สมการ 2.2) และสมการไอโซเทิร์มการคูดซับแบบฟรุนคลิช (สมการ 2.6)

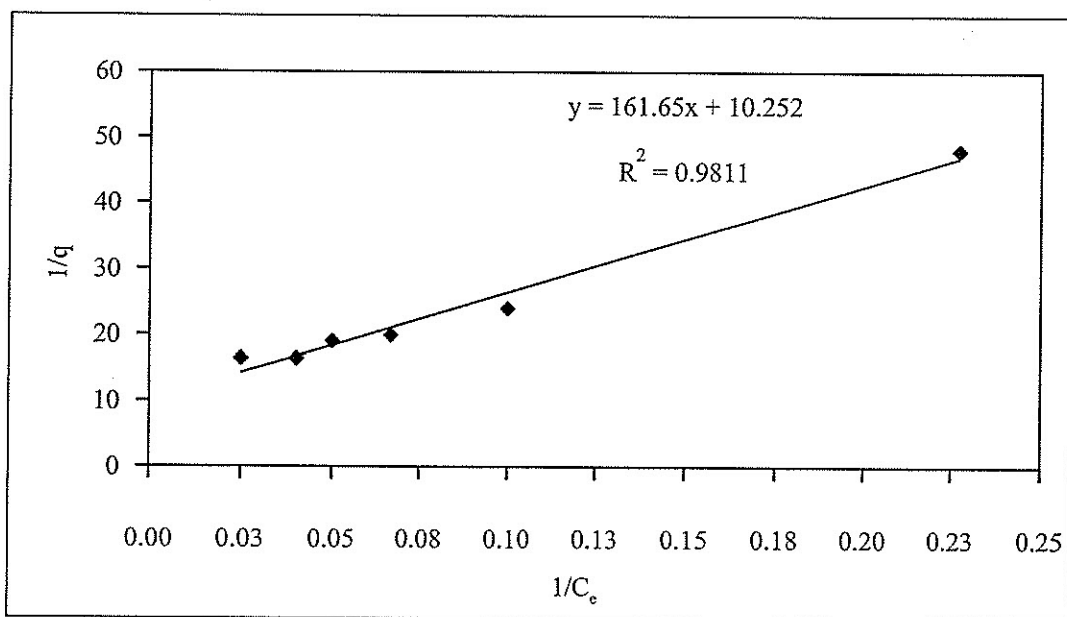
เมื่อพิจารณาให้ระบบการคูดซับมีสมการสมดุลไอโซเทิร์มการคูดซับแบบลงม้วร์ สร้างกราฟความสัมพันธ์ระหว่าง $\frac{1}{q}$ กับ $\frac{1}{C_e}$ ตามสมการที่ 2.2 จะได้กราฟเส้นตรงของไอโซเทิร์มการคูดซับน้ำของตัวคูดซับจากมันสำปะหลัง ดังแสดงในรูปที่ 4.5 เส้นกราฟมีค่าความชันเท่ากับ 161.65 และค่าจุดตัดบนแกน y เท่ากับ 10.252 จากการคำนวณพบว่า q_m มีค่า 0.0976 กรัมน้ำต่อกรัมตัวคูดซับ และ b มีค่า 15.77 โดยมีค่าสัมประสิทธิ์การตัดสินใจ (R^2) เท่ากับ 0.9811

พิจารณาสมการไอโซเทิร์มการคูดซับแบบฟรุนคลิช โดยสร้างกราฟความสัมพันธ์ระหว่าง $\log(q)$ กับ $\log(C_e)$ ตามสมการที่ 2.6 ได้กราฟเส้นตรงดังแสดงในรูปที่ 4.6 และสามารถหาค่าคงที่ n และ K_f ได้จากการชันและจุดตัดแกน y เท่ากับ 0.495 และ 0.012 ตามลำดับ โดยมีค่าสัมประสิทธิ์การตัดสินใจเท่ากับ 0.8877 ค่าของตัวแปรที่คำนวณได้จากการของลงม้วร์และฟรุนคลิชแสดงดังตารางที่ 4.3

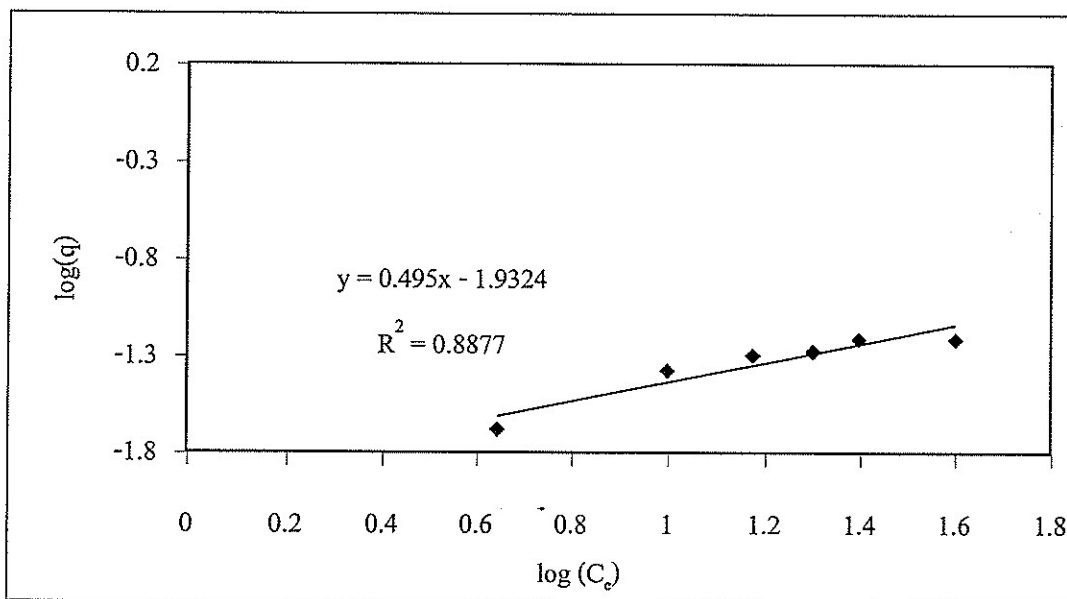
เมื่อพิจารณาค่าสัมประสิทธิ์การตัดสินใจที่ได้มาจากการสร้างกราฟตามสมการไอโซเทิร์มการคูดซับทั้ง 2 แบบ จะพบว่าค่าสัมประสิทธิ์การตัดสินใจจากสมการไอโซเทิร์มการคูดซับแบบลงม้วร์มีค่ามากกว่าจากสมการไอโซเทิร์มการคูดซับแบบฟรุนคลิช และเมื่อพิจารณาแนวโน้มการคูดซับน้ำของตัวคูดซับจากมันสำปะหลังในรูปที่ 4.2 พบร่วมมูลค่าคงที่ไอโซเทิร์มการคูดซับแบบลงม้วร์ คือ ช่วงเริ่มต้นปริมาณของน้ำที่ถูกคูดซับมีค่าเพิ่มขึ้นและหลังจากนั้นปริมาณการคูดซับน้ำจะมีค่าคงที่ และจากกลไกการคูดซับไม่แตกต่างด้วยพันธะไอโซเทิร์มการคูดซับแบบลงม้วร์เดียวกันไม่เกิดการคูดซับบนชั้นของไม้เล็กน้อยสารถูกคูดซับที่สะสมบนผิวด้วยตัวคูดซับ ดังนั้นจึงเห็นควรนำสมการไอโซเทิร์มของลงม้วร์มาใช้อธิบายการคูดซับน้ำของตัวคูดซับจากมันสำปะหลัง

ตารางที่ 4.3 ค่าคงที่และความสามารถในการคูดซับน้ำของตัวคูดซับจากมันสำปะหลังจากสมการไอโซเทิร์มของลงม้วร์และฟรุนคลิช

ไอโซเทิร์มของลงม้วร์			ไอโซเทิร์มของฟรุนคลิช		
q_m (g/g)	b	R^2	n	K_f	R^2
0.0976	15.77	0.9811	0.495	0.012	0.8877



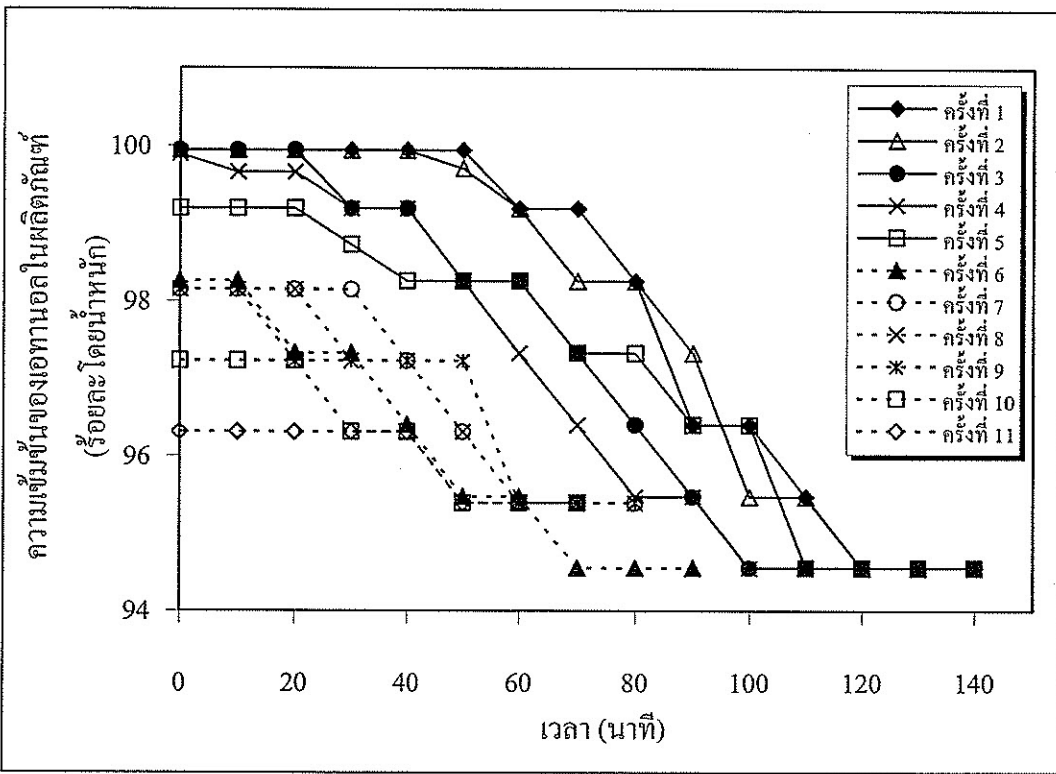
รูปที่ 4.5 ไอโซเทิร์มการคุณซับแบบแลงมัวร์ในรูปแบบของกราฟเส้นตรงจากข้อมูลการคุณซับน้ำของตัวคุณซับจากมันสำปะหลัง



รูปที่ 4.6 ไอโซเทิร์มการคุณซับแบบฟรุนคิตช์ในรูปแบบของกราฟเส้นตรงจากข้อมูลการคุณซับน้ำของตัวคุณซับจากมันสำปะหลัง

4.4 การทดสอบความสามารถในการนำกลับมาใช้ใหม่ของตัวคูดซับจากมันสำปะหลัง

การศึกษาการนำกลับมาใช้ใหม่ของตัวคูดซับจากมันสำปะหลัง ทำการโดยทดลองในระบบคูดซับแบบเบนนิ่ง ดังอธิบายไว้ในหัวข้อ (3.5.3) ผลการทดลองแสดงดัง รูปที่ 4.7 พบว่าความเข้มข้นของเอทานอลในผลิตภัณฑ์และระยะเวลาเบรคทูร์มีค่าใกล้เคียงกันในการใช้ตัวคูดซับซ้ำครั้งที่ 1 และ 2 เมื่อใช้ตัวคูดซับซ้ำในครั้งต่อ ๆ ไปความเข้มข้นของเอทานอลในผลิตภัณฑ์จะมีค่าลดลงตามลำดับ และสามารถให้ผลิตภัณฑ์ที่มีความเข้มข้นของเอทานอลสูงกว่าร้อยละ 95.6 โดยน้ำหนักด้วยตัวคูดซับจากมันสำปะหลังที่ผ่านการใช้งานมากว่า 11 ครั้ง

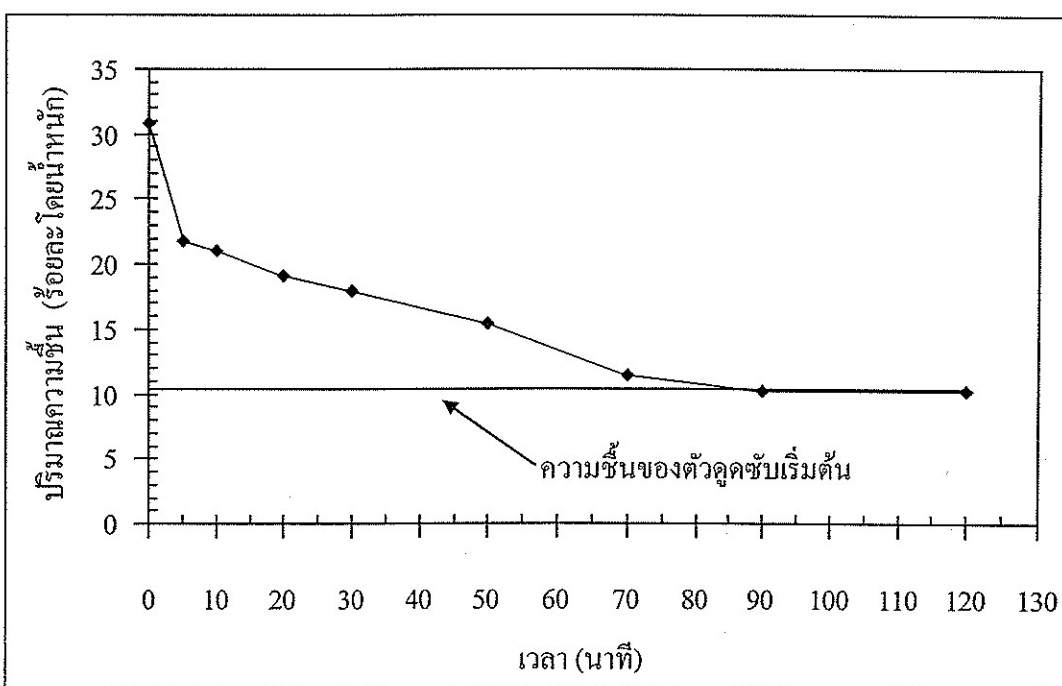


รูปที่ 4.7 ผลของปริมาณตัวคูดซับที่มีต่อความสามารถในการคูดซับน้ำที่ความเข้มข้นเริ่มต้นของเอทานอลในสารป้อนร้อยละ 90 โดยน้ำหนัก บริมาตร 300 มิลลิลิตร

4.5 การคายซับน้ำจากตัวดูดซับจากมันสำปะหลังด้วยระบบสุญญากาศ

การศึกษาการคายซับของตัวดูดซับจากมันสำปะหลังด้วยสุญญากาศที่อุณหภูมิห้อง ทำโดยการวัดปริมาณความชื้นที่อยู่ในตัวดูดซับก่อนและหลังการดูดซับดังอธิบายไว้ในหัวข้อ (3.5.4) ผลการทดลองดังรูปที่ 4.8 แสดงให้เห็นว่าสามารถคายน้ำและลดความชื้นของตัวดูดซับได้ด้วยสุญญากาศ ในช่วงระยะเวลา 5 นาทีแรกของการคายซับ ความชื้นในตัวดูดซับจะลดลงอย่างรวดเร็วจากร้อยละ 30.85 เป็นร้อยละ 10.39 โดยน้ำหนัก และใช้เวลาทั้งหมด 90 นาที สำหรับการคายซับด้วยสุญญากาศเพื่อลดความชื้นของตัวดูดซับจากมันสำปะหลังบริมาณ 50 กรัม ให้มีค่าเท่ากับความชื้นก่อนการดูดซับ

จากการทดลองแสดงให้เห็นว่าตัวดูดซับจากมันสำปะหลังมีคุณสมบัติในการคายซับด้วยระบบสุญญากาศได้ที่สภาวะอุณหภูมิห้อง



รูปที่ 4.8 ความชื้นของตัวดูดซับจากมันสำปะหลังที่เวลาต่าง ๆ เมื่อคายซับด้วยระบบสุญญากาศ

4.6 ความสามารถในการแยกน้ำออกจากไออดิโนและออกแบบของระบบดูดซับ

แบบความดันโดยใช้ชีโวไลต์ 3 เอ

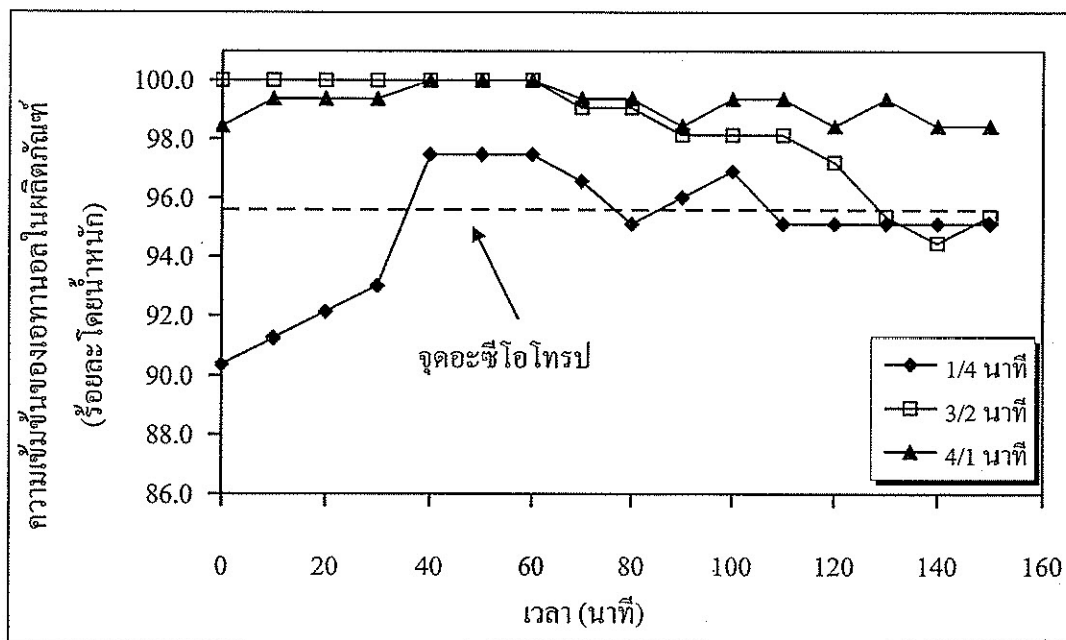
การทดลองในส่วนนี้เป็นการศึกษาประสิทธิภาพของเครื่องต้นแบบของระบบดูดซับแบบสลับความดันที่จัดสร้างขึ้นในห้องปฏิบัติการและผลของตัวแปรต่าง ๆ ที่มีต่อความสามารถในการแยกน้ำออกจากไออดิโนและเพิ่มน้ำของอุปกรณ์เครื่องต้นแบบนี้โดยใช้ชีโวไลต์ 3 เอ ในปริมาณ 400 กรัม ต่อคอลัมน์ดูดซับ และความเข้มข้นของอุปกรณ์ในสารป้อนร้อยละ 90 โดยน้ำหนัก ผลการศึกษาที่ได้จะใช้เป็นแนวทางในการศึกษาทดลองในส่วนของการใช้ตัวดูดซับจากมันสำปะหลัง และเป็นการศึกษาทดสอบการทำงานเบื้องต้นของเครื่องต้นแบบด้วย

4.6.1 ผลกระทบระยะเวลาของครั้งวัฏจักรการดูดซับต่อความสามารถในการแยกน้ำ

ออกจากไออดิโนและออกแบบด้วยชีโวไลต์ 3 เอ

การศึกษาผลกระทบระยะเวลาของครั้งวัฏจักรการดูดซับต่อความสามารถในการดูดซับน้ำที่ความดันของคอลัมน์ดูดซับ 3 บาร์ อุณหภูมิของคอลัมน์ดูดซับ 130 องศาเซลเซียส ความเข้มข้นของอุปกรณ์ในสารป้อนร้อยละ 90 โดยน้ำหนัก ความคุณอัตราการไหลของไออดิโนและด้วยการเปิดวาล์วมือต้มร้อยละ 50 โดยตัวแปรอิสระในการศึกษา คือ เวลาของครั้งวัฏจักรของการดูดซับ ได้ทำการศึกษาเวลาของครั้งวัฏจักรที่แตกต่างกัน 3 ค่า คือ 4/1 นาที 3/2 นาที และ 1/4 นาที ผลการทดลองแสดงดังรูปที่ 4.9 พบว่าในช่วง 40 นาทีแรก ที่เวลาของครั้งวัฏจักร 3/2 นาที จะให้ค่าความเข้มข้นของอุปกรณ์ในผลิตภัณฑ์มีค่าสูงสุดแต่หลังจากนั้นความเข้มข้นจะเริ่มลดลงอาจเป็นผลมาจากการถ่ายซับของเวลาของครั้งวัฏจักรนี้สั้นจึงทำให้ตัวดูดซับอิ่มตัวเร็ว และเมื่อพิจารณาความเข้มข้นของอุปกรณ์ในผลิตภัณฑ์ต่อคอลัมน์การทดลอง จะพบว่าเวลาของครั้งวัฏจักร 4/1 นาที จะเป็นเวลาของครั้งวัฏจักรที่คือสูด ดังนั้นระยะเวลาที่ใช้ในการเพิ่มความดันนานขึ้นจะทำให้ความเข้มข้นของอุปกรณ์ในผลิตภัณฑ์มีค่าสูงขึ้น ระหว่างที่เพิ่มความดันทำให้เกิดการสัมผัสระหว่างไออดิโนและกับตัวดูดซับภายในคอลัมน์และเกิดการดูดซับน้ำเข้าไป เมื่อระยะเวลาในการเพิ่มความดันมีค่ามากจะทำให้เกิดการดูดซับน้ำและทำให้ประสีทธิภาพการแยกน้ำออกจากไออดิโนลดลงตามไปด้วย จึงกำหนดให้เวลาของครั้งวัฏจักร 4/1 นาที เป็นเวลาที่เหมาะสมสำหรับการทำงานของเครื่องต้นแบบนี้ และใช้เวลาของครั้งวัฏจักรนี้ในการศึกษาการทำงานของเครื่องต้นแบบในส่วนนี้ ๆ ต่อไป

อย่างไรก็ตามในงานวิจัยของ Pruksathorn and Vitidsant (2009) พบว่าระยะเวลาของวัฏจักรไม่มีอิสระคัญด้วยความเข้มข้นของอุปกรณ์ในผลิตภัณฑ์ แต่จะมีผลต่อสัดส่วนกึ่งของระบบซึ่งจะส่งผลต่อปริมาตรของผลิตภัณฑ์อุปกรณ์ในผลิตภัณฑ์ได้



รูปที่ 4.9 ผลของเวลาของครึ่งวัฏจักรต่อความเข้มข้นของอุณหภูมิในผลิตภัณฑ์ที่ได้จากการระบบคุณภาพแบบสัมบูรณ์ด้านโดยใช้ชีโวไอล์ต 3 เอ ที่ความดันของกอลัมน์คุณภาพ 3 บาร์ อุณหภูมิของกอลัมน์คุณภาพ 130 องศาเซลเซียส

4.6.2 ผลของอุณหภูมิของกอลัมน์คุณภาพต่อความสามารถในการแยกน้ำออกจากไอกลม/oil

ผลการศึกษาอุณหภูมิของกอลัมน์คุณภาพต่อการคุณภาพน้ำโดยใช้ชีโวไอล์ต 3 เอ ความดันของกอลัมน์คุณภาพ 3 บาร์ และความถี่อัตราการไหลดของไอกลม/oil ผลการทดลองแสดงให้เห็นว่าความเข้มข้นของอุณหภูมิในผลิตภัณฑ์ที่ได้จากอุณหภูมิของกอลัมน์คุณภาพทั้ง 2 ค่า มีค่าสูงกว่าร้อยละ 95.6 โดยน้ำหนัก (จุดอะซีโอไทรป์) เมื่อพิจารณาที่อุณหภูมิ 130 องศาเซลเซียส พบว่าความเข้มข้นของอุณหภูมิในผลิตภัณฑ์ที่มีค่าสูงกว่าจุดอะซีโอไทรป์ลดลงทั้ง 150 นาที โดยมีความเข้มข้นของอุณหภูมิสูงสุดร้อยละ 99.9 โดยน้ำหนัก ในช่วง 100 นาทีแรก จำนวนความเข้มข้นของอุณหภูมิจะลดลงและคงที่ที่ร้อยละ 97.5 โดยน้ำหนัก จนถึงสุดการทำงานของกระบวนการส่วนที่อุณหภูมิของกอลัมน์คุณภาพ 120 องศาเซลเซียส จะผลิตไอกลม/oil ได้ความเข้มข้นสูงสุดร้อยละ 96 โดยน้ำหนัก ในช่วง 60 นาทีแรกของการดำเนินงาน จำนวนความเข้มข้นของอุณหภูมิจะลดลงต่อ

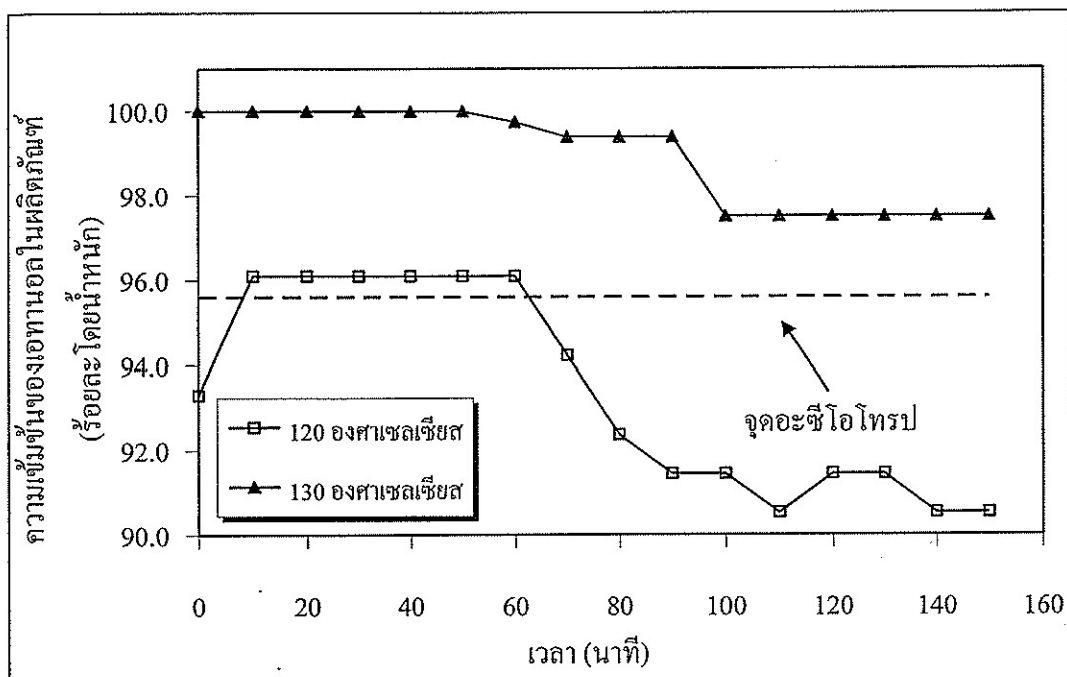
กว่าจุดอะซีโอลิป เมื่อคำนวณหาอัตราการผลิตเอทานอล (Ethanol production rate) คือ ปริมาณเอทานอลที่มีความเพิ่มขึ้นมากกว่าร้อยละ 99.5 โดยน้ำหนัก ที่ผลิตได้ต่อปริมาณตัวดูดซับที่ใช้ต่อชั่วโมง (ตารางที่ 4.4) พบว่าที่อุณหภูมิ 130 องศาเซลเซียส ระบบมีอัตราการผลิตเอทานอล 0.804 กรัมต่อกรัมตัวดูดซับต่อชั่วโมง ส่วนที่อุณหภูมิ 120 องศาเซลเซียส ไม่สามารถหาค่าได้เนื่องจากมีความเพิ่มขึ้นของเอทานอลในผลิตภัณฑ์มีค่าต่ำกว่าร้อยละ 99.5 โดยน้ำหนัก

สำหรับสภาวะการทำงานของการดูดซับแบบสลับความคัน โดยใช้ซีโอลิตจากหลายงานวิจัย ที่อุณหภูมิของกอลัมน์ดูดซับ 120 องศาเซลเซียส จะใช้ความตันดูดซับน้อยกว่า 3 บาร์ อย่างเช่นในงานวิจัยของ Pruksathorn and Vittidsant (2009) กำหนดอุณหภูมิของกอลัมน์ดูดซับ 120 องศาเซลเซียส ภายใต้ความตันดูดซับ 2-2.4 บาร์ และในงานวิจัยของ ธีรพัฒน์ มัชณิมาภิโร และสันธยา หนูเกื้อ (2004) ทำการทดลองแยกน้ำออกจากการเอทานอลในการดูดซับแบบสลับความคัน ในช่วงอุณหภูมิของกอลัมน์ดูดซับ 150-200 องศาเซลเซียส ที่ความตันดูดซับ 2-4 บาร์ และจากผลการทดลอง (ตารางที่ 4.5) สำหรับอุณหภูมิของกอลัมน์ดูดซับ 3 บาร์ เหมาะกับอุณหภูมิ 130 องศาเซลเซียสมากกว่าอุณหภูมิ 120 องศาเซลเซียส

สำหรับร้อยละสูญหาย คือ ปริมาณของสารละลายเอทานอลที่สูญหายไปจากระบบ ต่อปริมาณสารปื้อน จากตารางที่ 4.5 พบว่าที่อุณหภูมิของกอลัมน์ดูดซับทั้ง 2 ค่า มีค่าร้อยละสูญหายใกล้เคียงกัน ที่ความตันดูดซับ 3 บาร์

ตารางที่ 4.4 อัตราการผลิตเอทานอลที่มีความเพิ่มขึ้นสูงกว่าร้อยละ 99.5 โดยน้ำหนัก ของระบบดูดซับแบบสลับความคันโดยใช้ซีโอลิต 3 เอ ที่อุณหภูมิของกอลัมน์ดูดซับต่าง ๆ

อุณหภูมิของ กอลัมน์ดูดซับ (°C)	ความตันของ กอลัมน์ดูดซับ (บาร์)	เปิดวาล์วหนึ่ง ต้มระเหย (ร้อยละ)	อัตราการผลิตเอทานอล		สูญหาย (ร้อยละ)
			$\frac{g_{EtOH}}{hr.g_{adsorbent}}$	$\frac{ml_{EtOH}}{hr}$	
120	3	50	-	-	21.57
130	3	50	0.804	815	20.29



รูปที่ 4.10 ผลของอุณหภูมิของกอลัมน์ดูดซับต่อความเข้มข้นของอุทานอลในผลิตภัณฑ์ที่ได้จากระบบดูดซับแบบสถาบันความดัน ที่ความดันของกอลัมน์ดูดซับ 3 บาร์

4.6.3 ผลของความดันของกอลัมน์ดูดซับต่อความสามารถในการแยกน้ำออกจากไอกลมเนื้อเยื่ออ่อน

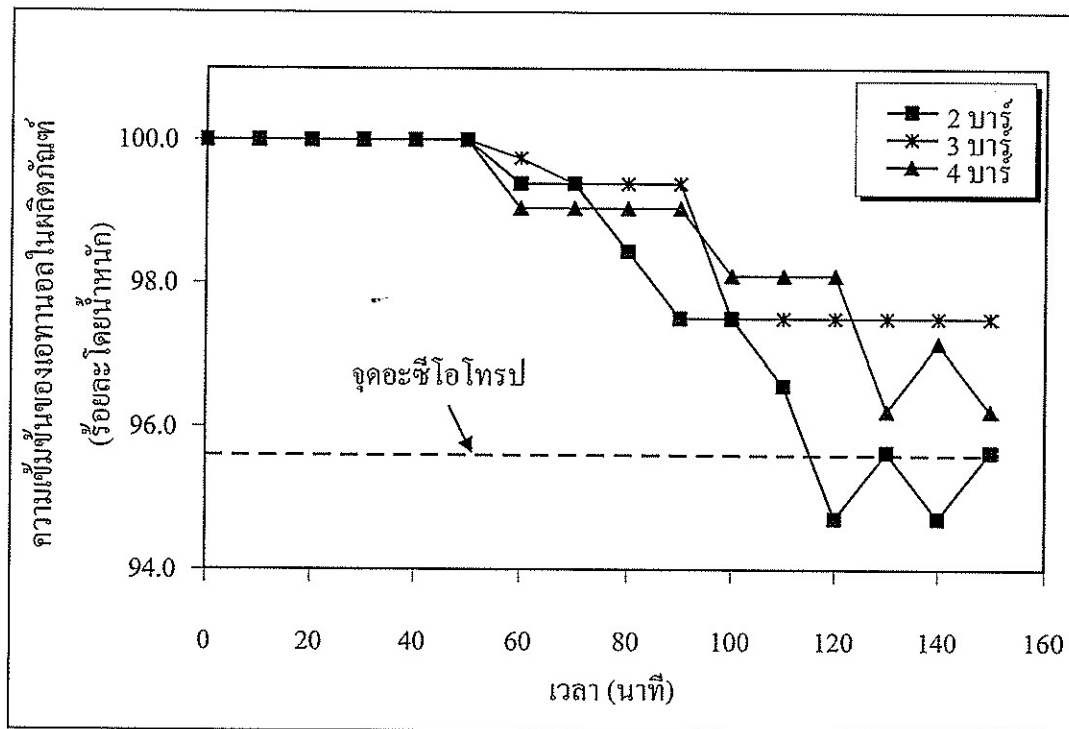
การศึกษาผลของความดันของกอลัมน์ดูดซับต่อประสิทธิภาพการดูดซับน้ำ ทำโดยทดลองที่ความดันของกอลัมน์ดูดซับ 2-4 บาร์ ที่อุณหภูมิของกอลัมน์ดูดซับ 130 องค์กาเซลเซียส และควบคุมอัตราการไหลของไอกลมเนื้อเยื่ออ่อนอลด้วยการเปิดวาล์วหม้อต้มระเหยร้อยละ 50 ผลการทดลอง (รูปที่ 4.11) พบว่าเมื่อความดันของกอลัมน์ดูดซับมีค่าสูงขึ้นความเข้มข้นของอุทานอลในผลิตภัณฑ์ที่ได้จะมีค่าเพิ่มขึ้น โดยในช่วง 50 นาทีแรก ความเข้มข้นของอุทานอลที่ได้จากการทดลองทั้ง 3 สถาบันความดันจะมีค่าใกล้เคียงกันที่ร้อยละ 99.9 โดยน้ำหนัก จากนั้นความเข้มข้นของอุทานอลจะลดลง โดยที่ความดันดูดซับทุกค่าให้ความเข้มข้นของอุทานอลในผลิตภัณฑ์สูงกว่า จุดอะซีโอะโกรป แต่ผลิตภัณฑ์ที่ได้จากระบบที่ความดันของกอลัมน์ดูดซับ 4 บาร์ จะมีความเข้มข้นของอุทานอลสูงที่สุดในช่วง 50-90 นาที และหลังจากนั้นความเข้มข้นของอุทานอลในผลิตภัณฑ์จะมีค่าลดลง โดยที่ความดันดูดซับ 3 และ 4 บาร์ ยังสามารถให้ผลิตภัณฑ์ที่มีความเข้มข้นของอุทานอลสูงกว่าจุดอะซีโอะโกรป แต่เมื่อใช้ความดันของกอลัมน์ดูดซับ 2 บาร์ ความเข้มข้นของอุทานอลที่ผลิตออกมานี้จะต่ำกว่าจุดอะซีโอะโกรป ผลการศึกษาแสดงว่าการเพิ่มความดันของกอลัมน์

คุณภาพจะทำให้ความเข้มข้นของเเท่านอลในผลิตภัณฑ์ที่ได้จากการคุณภาพด้วยซีไอไลต์มีค่าเพิ่มขึ้นซึ่งสอดคล้องกับงานวิจัยของ Jain et al. (2003); Guan and Hu (2003) หาแบบจำลองและวิเคราะห์ผลกระทบของตัวเปลี่ยนต่าง ๆ สำหรับการผลิตเเท่านอลในระบบคุณภาพแบบกลับความดันแบบคงลักษณะเดียวซึ่งความดันนี้จะมีส่วนในการเพิ่มความบริสุทธิ์ของเเท่านอลในผลิตภัณฑ์และเเท่านอลที่ผลิตได้

ตารางที่ 4.5 แสดงอัตราการผลิตเเท่านอลที่ความดันคุณภาพต่าง ๆ จะเห็นได้ว่า อัตราการผลิตเเท่านอลมีค่าเพิ่มขึ้นตามความดันของคงลักษณะเดียวแต่ร้อยละสูญเสียของสารละลายเเท่านอลจากระบบก็สูงตามไปด้วย ซึ่งความดันของคงลักษณะเดียวจะทำให้ร้อยละการละลายที่ออกมากจากคงลักษณะเดียวมีความดันและอัตราการไคลสูงอาจมีการร่วงชั้นตามข้อต่อและเวลาล้า

ตารางที่ 4.5 อัตราการผลิตเเท่านอลที่มีความเข้มข้นสูงกว่าร้อยละ 99.5 โดยน้ำหนักของระบบคุณภาพแบบกลับความดันโดยใช้ซีไอไลต์ 3 เอ ที่ความดันของคงลักษณะเดียวต่าง ๆ

ความดันของ คงลักษณะ (บาร์)	อุณหภูมิของ คงลักษณะ (องศาเซลเซียส)	เปิดวาล์วมือ ต้มระเหย (ร้อยละ)	อัตราการผลิตเเท่านอล		สูญหาย (ร้อยละ)
			$\frac{g_{EOH}}{hr \cdot g_{adsorbent}}$	$\frac{ml_{EOH}}{hr}$	
2	130	50	0.628	637	9.97
3	130	50	0.804	815	20.29
4	130	50	0.924	937	25.46



รูปที่ 4.11 ผลของความดันคุณชั้บต่อความเข้มข้นของเอทานอลในผลิตภัณฑ์จากระบบคุณชั้บ
แบบสลับความดันโดยใช้ชีโวไลต์ 3 เอ อุณหภูมิของคลัมน์คุณชั้บ
130 องศาเซลเซียส:

4.7 ความสามารถในการแยกน้ำออกจากไออกซิเจนออกไซด์ของระบบคุณชั้บ

แบบสลับความดันที่ใช้ตัวคุณชั้บจากมันสำปะหลัง

การทดลองในส่วนนี้เป็นการศึกษาประสิทธิภาพของเครื่องตันแบบของระบบคุณชั้บแบบสลับความดันที่ใช้ตัวคุณชั้บจากมันสำปะหลังในการแยกน้ำออกจากไออกซิเจนออกไซด์โดยใช้การออกแบบการทดลองเชิงแฟกторเรียงแบบ 2^3 ซึ่งทำการศึกษาผลของตัวแปรอิสระ 3 ตัวแปร ได้แก่ ความดันของคลัมน์คุณชั้บ อุณหภูมิของคลัมน์คุณชั้บ และอัตราการไหลของสารป้อนซึ่งควบคุมด้วยร้อยละการเปิดวาล์วของหม้อต้มระเหย โดยใช้ความเข้มข้นของเอทานอลในสารป้อนร้อยละ 90-92 โดยน้ำหนัก และบรรจุตัวคุณชั้บจากมันสำปะหลังคลัมน์ละ 300 กรัม ทำการทดลองที่ความดันคุณชั้บ 2 และ 3 นาที อุณหภูมิของคลัมน์คุณชั้บ 120 และ 130 องศาเซลเซียส และควบคุมอัตราการไหลของไออกซิเจนออกไซด์ด้วยการเปิดวาล์วหม้อต้มร้อยละ 25 และ 75 ผลการทดลอง (ตารางที่ 4.6)

4.7.1 ผลกระทบความดันของคอลัมน์คุณชับต่อความสามารถในการแยกน้ำออกจาก

ไอลูฟอนเมทานอลด้วยตัวคุณชับจากมันสำปะหลัง

การศึกษาผลของการดันของคอลัมน์คุณชับต่อความสามารถในการคุณชับน้ำของตัวคุณชับจากมันสำปะหลัง การทดลองเปรียบเทียบที่ความดันคุณชับ 2 และ 3 บาร์ โดยตารางที่ 4.6 แสดงผลของความดันของคอลัมน์คุณชับที่มีต่อปริมาณการผลิตเอทานอลที่มีความเข้มข้นสูงกว่าร้อยละ 99.5 โดยน้ำหนักต่อปริมาณตัวคุณชับที่ใช้ เมื่อพิจารณาการทดลองที่ 1 และ 2 พบว่าที่อุณหภูมิของคอลัมน์คุณชับ 120 องศาเซลเซียส และการเปิดวาล์วหนืดต้มระเหยร้อยละ 25 อัตราการผลิตเอทานอลที่มีความบริสุทธิ์สูงกว่าร้อยละ 99.5 โดยน้ำหนัก จะเพิ่มขึ้นตามความดันของคอลัมน์คุณชับ เช่นเดียวกับการทดลองที่ 5 และ 6 ที่อุณหภูมิของคอลัมน์คุณชับ 130 องศาเซลเซียส และการเปิดวาล์วหนืดต้มระเหยร้อยละ 25 ซึ่งการเพิ่มความดันของคอลัมน์คุณชับทำให้ปริมาณการผลิตเอทานอลเพิ่มขึ้นเช่นกัน และสอดคล้องกับงานวิจัยของ Guan and Hu (2003); Jain et al. (2003) โดย Guan and Hu (2003) ศึกษาแบบจำลองของการคุณชับแบบสลับความดันแบบคอลัมน์เดียวสำหรับแยกน้ำออกจากสารละลายเอทานอลที่มีความเข้มข้นร้อยละ 93.54 โดยน้ำหนัก ด้วยซีไอโอล็อกท์ที่ความดัน 2-5 บาร์ และอุณหภูมิ 120-150 องศาเซลเซียส ซึ่งพบว่าการเพิ่มความดันจะช่วยเพิ่มปริมาณการผลิตเอทานอลที่ความเข้มข้นมากกว่าร้อยละ 99.5 โดยน้ำหนัก ต่อปริมาณตัวคุณชับ และงานวิจัยของ Jain et al. (2003) ทำการจำลองระบบคุณชับแบบสลับความดันโดยใช้แบบจำลองที่ไม่ซับซ้อนเพื่อเป็นแนวทางเมื่อหันในการออกแบบระบบคุณชับแบบสลับความดันโดยมีสามมุදรานี้คือ (1) อุณหภูมิกที่ (2) ไม่พิจารณาการเกิดความดันกด (3) สมดุลการคุณชับเป็นไปตามไฮโซเทิร์มการคุณชับแบบลงม้วร์ (4) พฤติกรรมของก๊าซเป็นแบบอุดมคติ พนว่าระบบที่ใช้ไฮโซเทิร์มการคุณชับแบบลงม้วร์ความดันคุณชับที่ใช้ควรจะสูงเท่าที่ระบบจะทำได้ เนื่องจากความดันคุณชับจะทำให้ความบริสุทธิ์ของสารผลิตภัณฑ์เพิ่มขึ้นซึ่งเป็นไปตามลักษณะสมดุลการคุณชับ

พิจารณาการทดลองที่ 3 และ 4 อุณหภูมิของคอลัมน์คุณชับเท่ากับ 120 องศาเซลเซียส และการเปิดวาล์วหนืดต้มระเหยร้อยละ 75 พบว่าผลการทดลองที่ได้แตกต่าง คือ เมื่อความดันคุณชับเพิ่มขึ้นแต่อัตราการผลิตเอทานอลลดลงอย่างเห็นได้ชัด ซึ่งอาจเป็นผลมาจากการเมื่อมีการเปิดวาล์วหนืดต้มมากจะทำให้อัตราการไหลลงของไอลูฟอนเมทานอลสูง ทำให้มีปริมาณของน้ำที่เข้าสู่คอลัมน์คุณชับมีจำนวนมากจึงเกิดการสะสมของน้ำบนตัวคุณชับมากขึ้น และเมื่อมีการเพิ่มความดันของคอลัมน์ที่สภาวะอุณหภูมิเดิม ซึ่งสภาวะดังกล่าวอาจใกล้เคียงกับจุดที่ทำให้ไฮโซของสารละลายเอทานอลเกิดการควบแน่นและเมื่อระบบทำการคุณชับสารผลิตภัณฑ์ที่ได้จึงมีความเข้มข้นลดลง ส่วนการทดลองที่ 7 และ 8 อุณหภูมิของคอลัมน์คุณชับเท่ากับ 130 องศาเซลเซียส และการเปิดวาล์วหนืดต้มระเหยร้อยละ 75 ค่าปริมาณการผลิตเอทานอลที่ได้ของทั้ง 2 สภาวะมีค่าใกล้เคียงกัน อาจจะเป็นผลมาจากการมีปริมาณของ

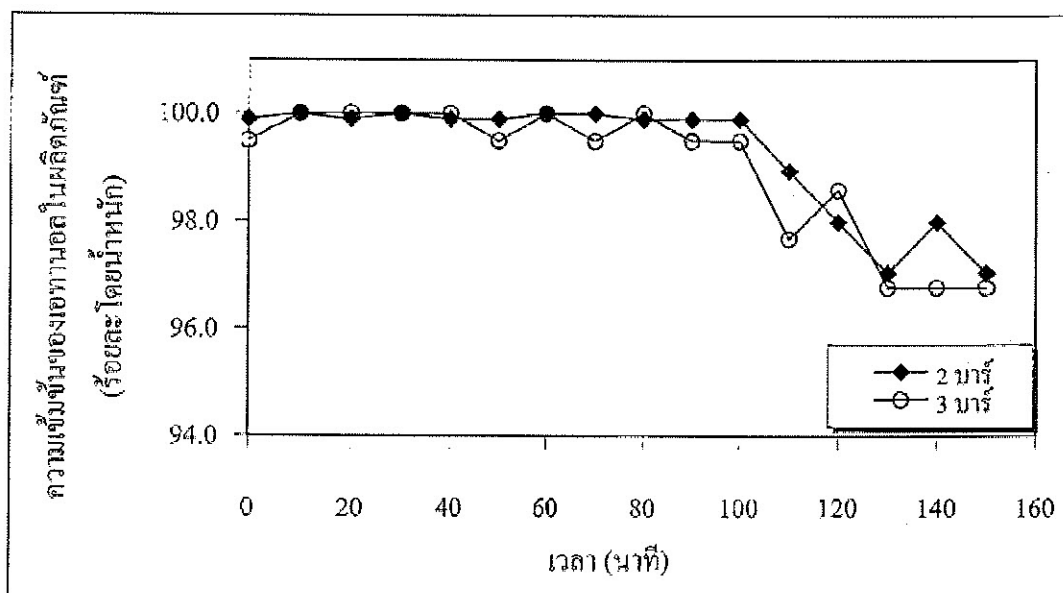
ให้ผลลัพธ์ทางคณิตศาสตร์สูงกว่ากลุ่มที่ 3 และ 4 แต่ต่ำกว่ากลุ่มที่ 1 และ 2 นักเรียนในกลุ่มนี้แสดงความสนใจในหัวข้อเรื่องคณิตศาสตร์มากกว่ากลุ่มอื่นๆ จึงอาจมีผลกระเทียมของการควบคุมของครูสอนด้วย

ผลการทดลองในตารางที่ 4.6 แสดงให้เห็นว่าการสูญหายของสารละลายอุตสาหกรรมจะเพิ่มขึ้นเมื่อความดันของก๊าซคูลชันสูง เนื่องจากความดันของก๊าซคูลชันสูงอาจทำให้ไออดีนอุตสาหกรรมรั่วซึมออกตามข้อต่อและวาล์วจึงเป็นสาเหตุให้มีการสูญหายของสารละลายอุตสาหกรรม ยกเว้นการทดลองที่ 3 และ 4 เมื่อความดันของก๊าซคูลชันเพิ่มขึ้นแต่ร้อยละสูญหายของสารละลายอุตสาหกรรมลดลง อาจมีสาเหตุมาจากการรั่วซึมของก๊าซคูลชัน 120 องศาเซลเซียส การสูญหายของสารละลายอุตสาหกรรมจึงลดลง

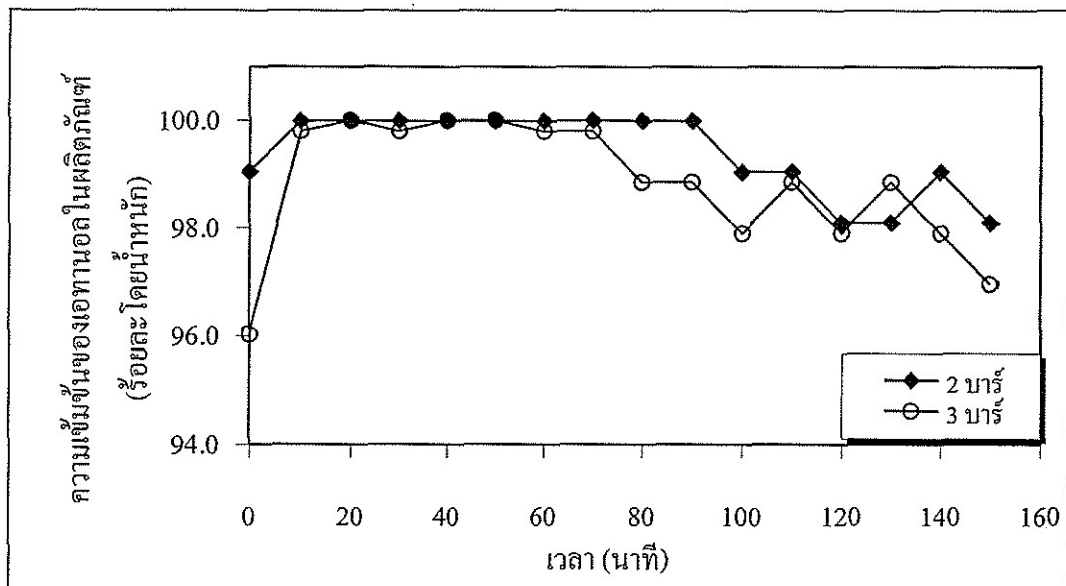
ตารางที่ 4.6 อัตราการผลิตเอกสารอคลที่มีความเข้มข้นของเอกสารอคลสูงกว่าร้อยละ 99.5 โดยน้ำหนักของระบบคุณภาพแบบสถาบันความคื้น เวลาของครึ่งวันจักร 4/1 นาที

การทดลอง	ความดันของก๊าซที่ใช้ (บาร์)	อุณหภูมิของก๊าซที่ใช้ (องศาเซลเซียส)	การเปลี่ยนรูปของผ้าที่มีตัวอย่างเทียบ (ร้อยละ)	ขั้นตอนการผลิตเอทานอล		สูญเสีย ^(ร้อยละ)
				$\frac{g_{EtOH}}{hr.g_{adsorbent}}$	$\frac{ml_{EtOH}}{hr}$	
1	2	120	25	0.784	596	11.43
2	3	120	25	0.800	608	14.20
3	2	120	75	0.790	601	23.25
4	3	120	75	0.716	544	12.42
5	2	130	25	0.935	711	13.79
6	3	130	25	0.939	714	16.37
7	2	130	75	0.925	703	22.4
8	3	130	75	0.913	694	26.65

รูปที่ 4.12 และ 4.13 แสดงความถ้วนพันธ์ระหว่างความเพิ่มขึ้นของอุณหภูมิในผลิตภัณฑ์ที่ได้จากระบบคูคูชับแบบสตันความดันและเวลาในการทำงานของเครื่อง ที่อุณหภูมิของกอสัมบ์คูคูชับ 120 องศาเซลเซียส จะเห็นได้ว่าที่ความดันของกอสัมบ์คูคูชับ 3 นาที จะมีท่าความเพิ่มขึ้นของผลิตภัณฑ์เท่านั้นต่ำกว่าที่ความดันของกอสัมบ์คูคูชับ 2 นาที เนื่องจากที่อุณหภูมิของกอสัมบ์คูคูชับ 120 องศาเซลเซียสมีค่าใกล้เคียงกับจุดเดือดของอุณหภูมิ 3 นาที (110 องศาเซลเซียส) และที่สภาวะดังกล่าวก็สามารถให้ผลผลิตเม็ดเย็นของอุณหภูมิความเพิ่มขึ้นสูงกว่าร้อยละ 99.5 โดยน้ำหนัก ซึ่งเป็นค่าความเพิ่มขึ้นของอุณหภูมิจะนำไปใช้ในอุตสาหกรรมเชื้อเพลิงได้

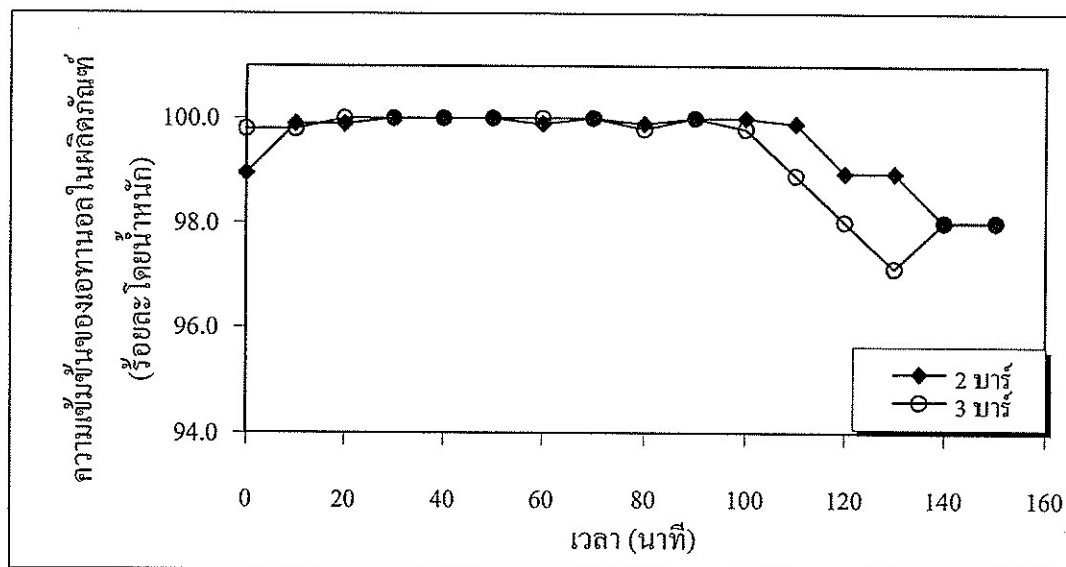


รูปที่ 4.12 การเปลี่ยนแปลงความเพิ่มขึ้นของอุณหภูมิในผลิตภัณฑ์จากระบบคูคูชับแบบสตันความดันโดยใช้ตัวคูคูชับจากมันสำปะหลัง อุณหภูมิของกอสัมบ์คูคูชับ 120 องศาเซลเซียส และเปิดวาล์วหนักต้มระเหยร้อยละ 25 ที่ความดันของกอสัมบ์คูคูชับต่างกัน

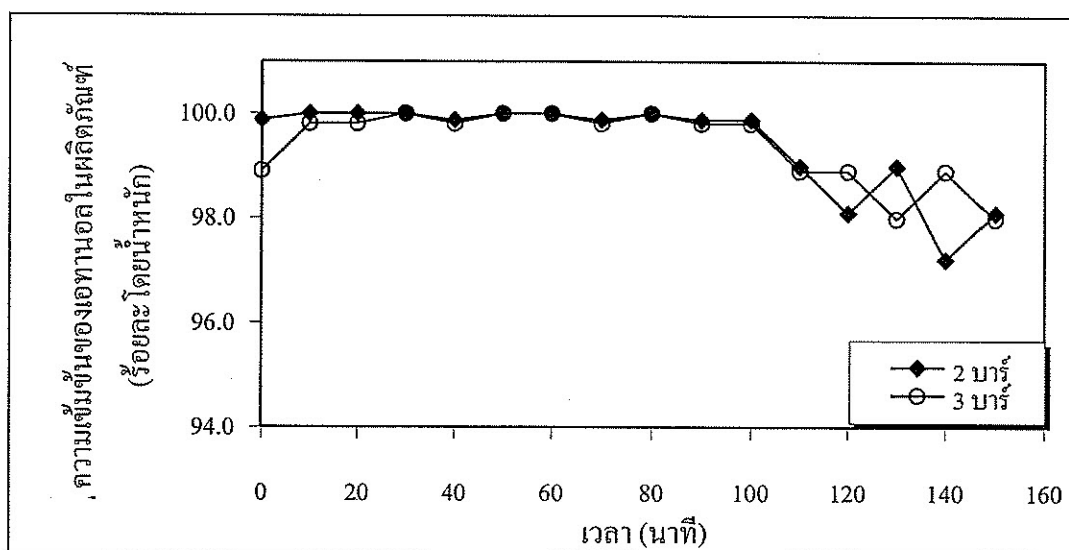


รูปที่ 4.13 การเปลี่ยนแปลงความผิดขึ้นของอุปกรณ์ในผลิตภัณฑ์จากการบนคู่ครับแบบสลับความดันโดยใช้ตัวคู่ครับจากมันสำปะหลัง อุณหภูมิของคอลัมน์คู่ครับ 120 องศาเซลเซียส และเบี่ยกว่าล้านวินาทีระเหยร้อยละ 75 ที่ความดันของคอลัมน์คู่ครับต่างกัน

รูปที่ 4.14 และ 4.15 แสดงความผิดขึ้นของอุปกรณ์ในผลิตภัณฑ์ที่ได้จากการบนคู่ครับแบบสลับความดัน ที่อุณหภูมิของคอลัมน์คู่ครับ 130 องศาเซลเซียส และความดันของคอลัมน์คู่ครับ 2 และ 3 บาร์ ตามลำดับ จะเห็นว่าความผิดขึ้นของอุปกรณ์ในผลิตภัณฑ์ที่ได้จากการทั้ง 2 สภาพ มีค่าใกล้เคียงกันและมีแนวโน้มการเปลี่ยนแปลงความผิดขึ้นของผลิตภัณฑ์ที่ระยะเวลาต่าง ๆ คล้ายกัน ซึ่งที่อุณหภูมิของคอลัมน์เท่ากับ 130 องศาเซลเซียส ความดันของคอลัมน์คู่ครับไม่มีผลต่อความผิดขึ้นของอุปกรณ์ในผลิตภัณฑ์อย่างชัดเจน เช่นเดียวกับผลของอัตราการผลิตอุปกรณ์ (ตารางที่ 4.7)



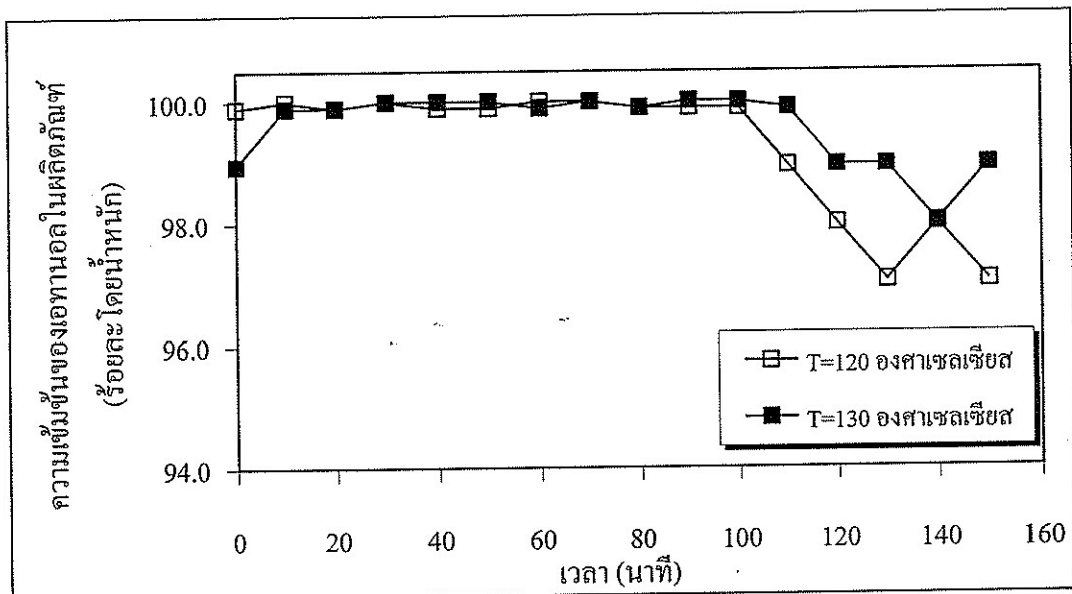
รูปที่ 4.14 การเปลี่ยนแปลงความเร็วขันของอุทานอลในผลิตภัณฑ์จากระบบคุณภาพแบบสลับความดัน โดยใช้ตัวคุณภาพจากมันสำปะหลัง อุณหภูมิของกอลัมน์คุณภาพ 130 องศาเซลเซียส และเปิดวาล์วลมอัดมีระเบียร้อยละ 25 ที่ความดันของกอลัมน์คุณภาพต่างกัน



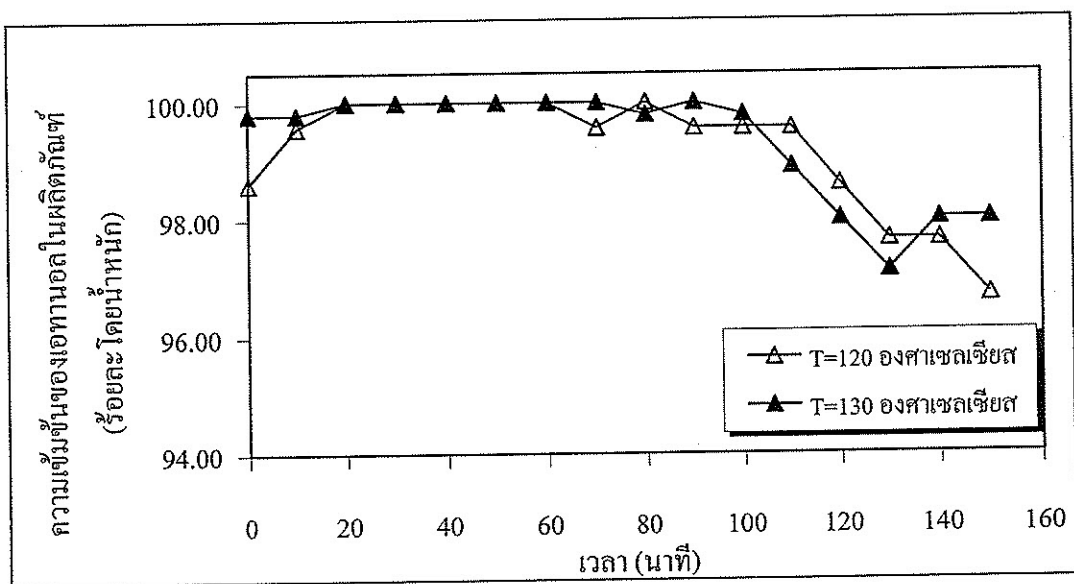
รูปที่ 4.15 การเปลี่ยนแปลงความเร็วขันของอุทานอลในผลิตภัณฑ์จากระบบคุณภาพแบบสลับความดัน โดยใช้ตัวคุณภาพจากมันสำปะหลัง อุณหภูมิของกอลัมน์คุณภาพ 130 องศาเซลเซียส และเปิดวาล์วลมอัดมีระเบียร้อยละ 75 ที่ความดันของกอลัมน์คุณภาพต่างกัน

4.7.2 ผลของอุณหภูมิของกอคลัมน์คูดซับต่อความสามารถในการแยกน้ำออกจาก ไอพสมเอทานอลด้วยตัวคูดซับจากมันสำปะหลัง

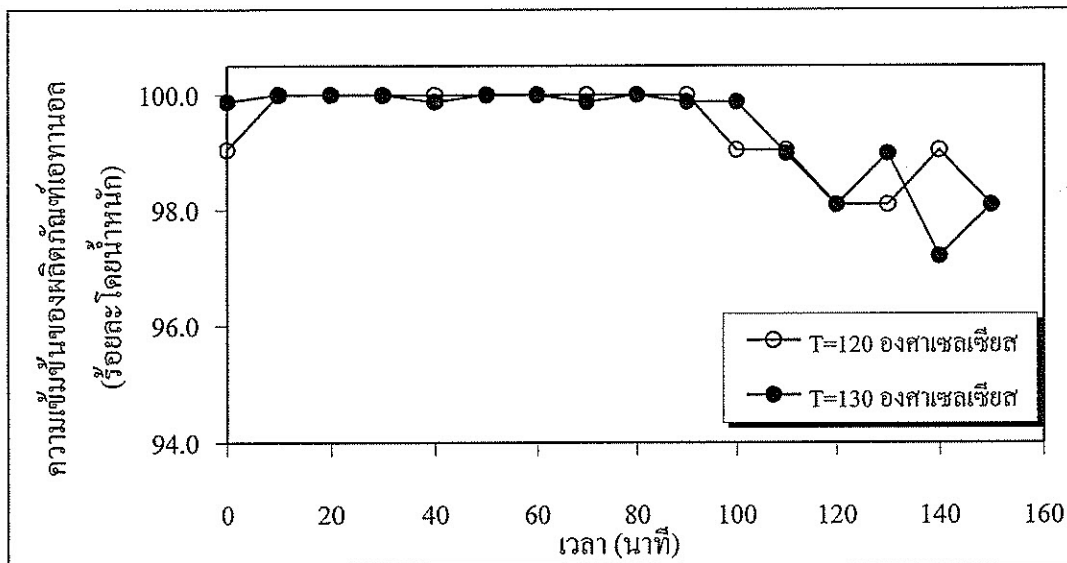
การศึกษาผลของอุณหภูมิของกอคลัมน์คูดซับต่อความสามารถในการแยกน้ำออกจากไอพสมเอทานอล ทำโดยการทดลองที่อุณหภูมิของกอคลัมน์คูดซับ 120 และ 130 องศาเซลเซียส ความดันของกอคลัมน์คูดซับ 2 และ 3 บาร์ การเปิดวาล์วหน้าต้มร้อยละ 25 และ 75 และเวลาในการดำเนินครั้งวัดภัจกรการคูดซับแบบ 4/1 นาที ผลการทดลองที่ได้แสดงดังรูปที่ 4.16-4.19 จะพบว่าที่อุณหภูมิ 120 และ 130 องศาเซลเซียส มีแนวโน้มของการเปลี่ยนแปลงความเข้มข้นของเอทานอลในผลิตภัณฑ์ที่ได้มีค่าไม่ต่างกันมากนักในช่วงเริ่มต้นของกระบวนการโดยจะได้ผลิตภัณฑ์เอทานอลที่มีความเข้มข้นมากกว่าร้อยละ 99.5 โดยน้ำหนัก ซึ่งเป็นความเข้มข้นของเอทานอลที่เหมาะสมสำหรับใช้เป็นเชื้อเพลิง แต่เมื่อเวลาผ่านไปโดยเฉลี่ย 100 นาที ความเข้มข้นของเอทานอลในผลิตภัณฑ์ที่ได้จากการทดลองที่ห้องส่องอุณหภูมิจะมีค่าลดลง ซึ่งแสดงว่าตัวคูดซับจากมันสำปะหลังเริ่มน้ำมันตัวจากการคูดซับน้ำมัน ผลการทดลองโดยภาพรวมที่ได้จากการดำเนินกระบวนการที่ทุกสภาวะ พบร่วมกับความเข้มข้นของเอทานอลในผลิตภัณฑ์ที่ได้จากการกระบวนการที่อุณหภูมิของกอคลัมน์คูดซับ 130 องศาเซลเซียส จะสูงกว่ากระบวนการที่อุณหภูมิ 120 องศาเซลเซียส แต่ความเข้มข้นของเอทานอลในผลิตภัณฑ์ที่ได้ต่ำลง ห้องการทดลองในห้องส่องกระบวนการล้วนมีค่าสูงกว่าจุดอะซีโอดิฟอร์ม เมื่อพิจารณาอัตราการผลิตเอทานอล (ผลิตภัณฑ์ที่มีความเข้มข้นของเอทานอลสูงกว่าร้อยละ 99.5 โดยน้ำหนัก ที่ได้ต่อหน่วยน้ำหนักของตัวคูดซับที่ใช้ต่อเวลา แสดงในตารางที่ 4.6) พบร่วมกับอุณหภูมิของกอคลัมน์คูดซับ 120 องศาเซลเซียส (การทดลองที่ 1-4) จะได้อัตราการผลิตเอทานอลเท่ากับ 0.716-0.800 กรัมต่อกรัมตัวคูดซับต่อชั่วโมง ส่วนที่อุณหภูมิของกอคลัมน์คูดซับ 130 องศาเซลเซียส (การทดลองที่ 5-8) ได้อัตราการผลิตเอทานอลเท่ากับ 0.913-0.939 กรัมต่อกรัมตัวคูดซับต่อชั่วโมง ซึ่งมากกว่ากระบวนการที่ 120 องศาเซลเซียส อย่างเห็นได้ชัด ข้อมูลที่ได้แสดงให้เห็นว่าอุณหภูมิของกอคลัมน์คูดซับเท่ากับ 130 องศาเซลเซียส เป็นอุณหภูมิที่เหมาะสมสำหรับการผลิตเอทานอลบริสุทธิ์ด้วยเครื่องตีนแบบของระบบคูดซับแบบสลับความดันที่ใช้ตัวคูดซับจากมันสำปะหลัง



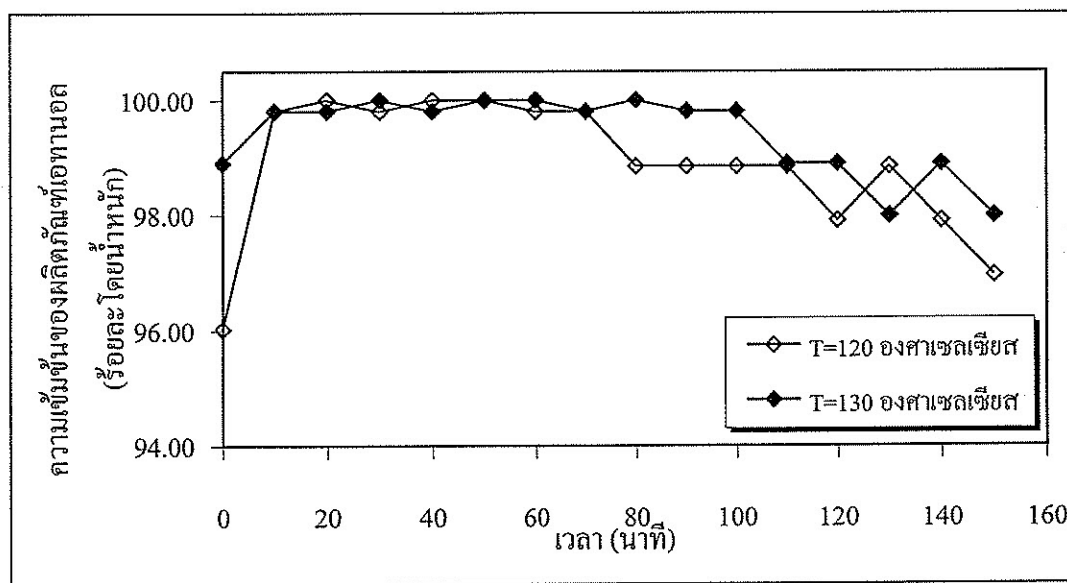
รูปที่ 4.16 การเปลี่ยนแปลงความเข้มข้นของอุปกรณ์ในผลิตภัณฑ์จากการบนคุณภาพแบบสลับความดันโดยใช้ตัวคุณภาพจากมันสำปะหลัง ความดันของกอตัมน์คุณภาพ 2 บาร์
เปิดวาล์วหนึ่งต่อตัวระ夷ร้อยละ 25 อุณหภูมิของกอตัมน์คุณภาพต่างกัน



รูปที่ 4.17 การเปลี่ยนแปลงความเข้มข้นของอุปกรณ์ในผลิตภัณฑ์จากการบนคุณภาพโดยใช้ตัวคุณภาพจากมันสำปะหลัง ความดันของกอตัมน์คุณภาพ 3 บาร์
เปิดวาล์วหนึ่งต่อตัวระ夷ร้อยละ 25 อุณหภูมิของกอตัมน์คุณภาพต่างกัน



รูปที่ 4.18 การเปลี่ยนแปลงความเข้มข้นของเชื้อราในผลิตภัณฑ์จากระบบดูดซับแบบสลับความดันโดยใช้ตัวดูดซับจากมันสำปะหลัง ความดันของคลัมน์ดูดซับ 2 บาร์ เปิดวาล์วหม้อต้มระเหยร้อยละ 75 อุณหภูมิของคลัมน์ดูดซับต่างกัน

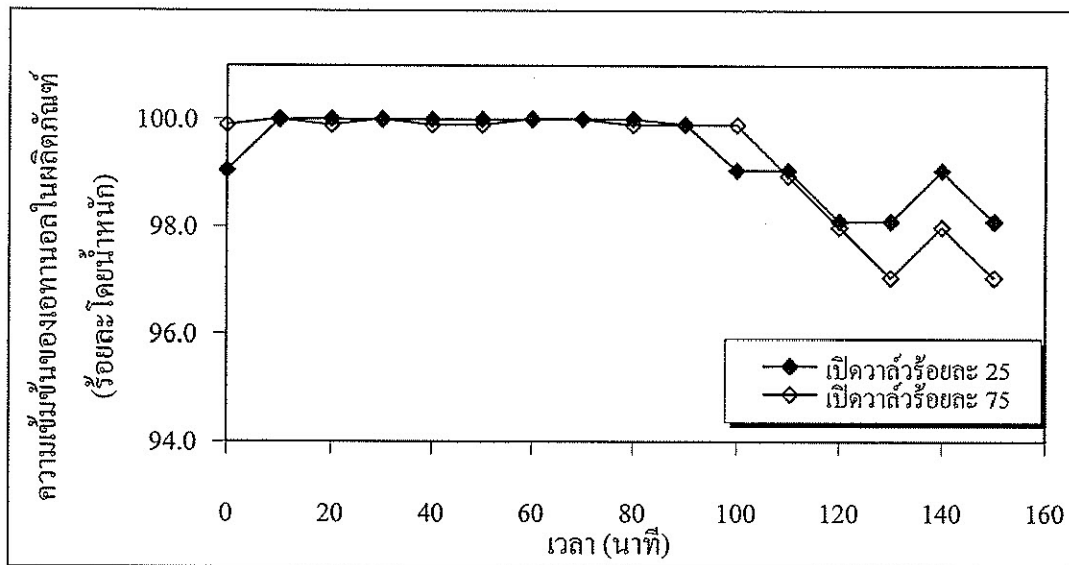


รูปที่ 4.19 การเปลี่ยนแปลงความเข้มข้นของเชื้อราในผลิตภัณฑ์จากระบบดูดซับแบบสลับความดันโดยใช้ตัวดูดซับจากมันสำปะหลัง ความดันของคลัมน์ดูดซับ 3 บาร์ เปิดวาล์วหม้อต้มระเหยร้อยละ 75 อุณหภูมิของคลัมน์ดูดซับต่างกัน

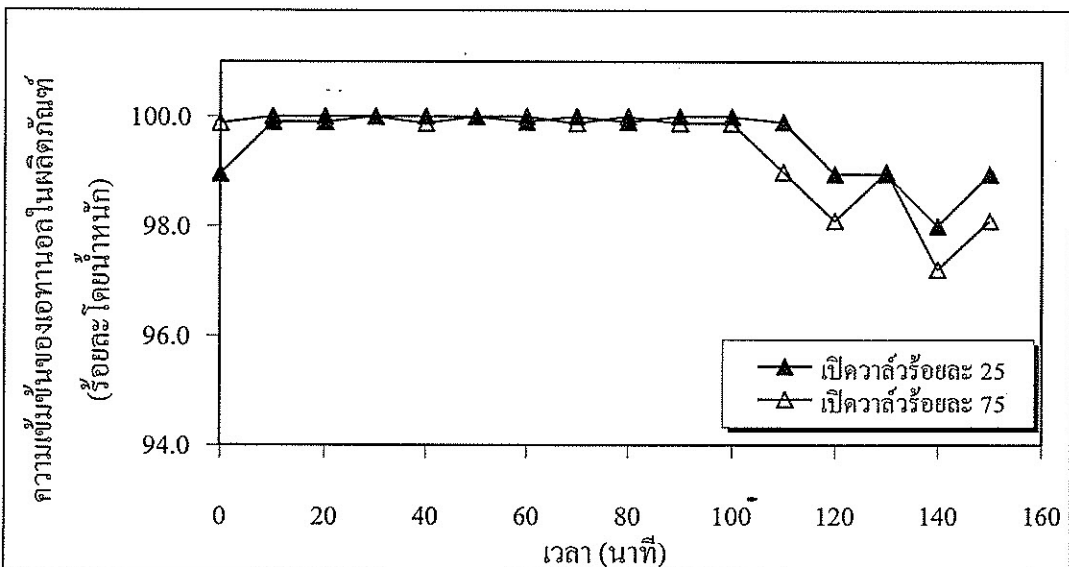
4.7.3 ผลของอัตราการໄหลของสารป้อนต่อความสามารถในการแยกน้ำออกจากไอกสมอเทานอลด้วยตัวคูดซับจากมันสำปะหลัง

ผลของอัตราการໄหลของสารป้อนต่อความสามารถในการคูดซับน้ำของตัวคูดซับจากมันสำปะหลังในเครื่องต้นแบบของระบบคูดซับแบบสลับความดัน ที่ระยะเวลาของครึ่งวัฏจักร 4/1 นาที และเปิดวาล์วหนืดต้มระเหยของสารป้อนร้อยละ 25 และ 75 แสดงดังรูปที่ 4.20-4.23 จะเห็นได้ว่าเมื่อเพิ่มอัตราการໄหลของสารป้อนโดยเปิดวาล์วหนืดต้มมากขึ้น จะทำให้ความเข้มข้นของເອຫານอลในผลิตภัณฑ์ได้จากการคูดซับมีค่าลดลง ทั้งนี้การเพิ่มอัตราการໄหลของสารป้อนจะทำให้ระยะเวลาที่ไอกสมอเทานอลจะสัมผัสกับตัวคูดซับและเกิดการคูดซับน้ำได้น้อยลง ดังได้กล่าวไว้ในงานวิจัยของ Carimo and Gubulin (2002) และเมื่อเปิดวาล์วหนืดต้มระเหยร้อยละ 25 จะทำให้มีระยะเวลากรทุกที่สูงกว่าการเปิดวาล์วหนืดต้มระเหยร้อยละ 75 เนื่องจากการเปิดวาล์วหนืดต้มระเหยให้มากขึ้นจะทำให้ไอกของสารป้อนและปริมาณน้ำที่เข้าสู่คอลัมน์คูดซับเพิ่มมากขึ้น ทำให้สัดส่วนระหว่างโมเลกุลของน้ำกับพื้นที่ว่างของหมู่ไฮดรอกซิลมีค่าเพิ่มขึ้น จำนวนพื้นที่ว่างของหมู่ไฮดรอกซิลที่อยู่ในโมเลกุลของกลุ่ม โคละจะมีค่าลดลงทำให้ตัวคูดซับจึงอิ่มตัวเร็วขึ้น ส่งผลให้ความสามารถในการคูดซับน้ำลดลง และที่อัตราการໄหลของไอกของสารป้อนมีค่าต่ำ (เปิดวาล์วหนืดต้มระเหยร้อยละ 25) จะทำให้มีระยะเวลาในการสัมผัสระหว่างไอกสมอเทานอลและตัวคูดซับมีค่าเพิ่มขึ้น ทำให้ความสามารถในการแยกน้ำออกจากເອຫານอลเพิ่มขึ้นและความเข้มข้นของผลิตภัณฑ์ເອຫານอลมีค่าสูงขึ้นด้วย

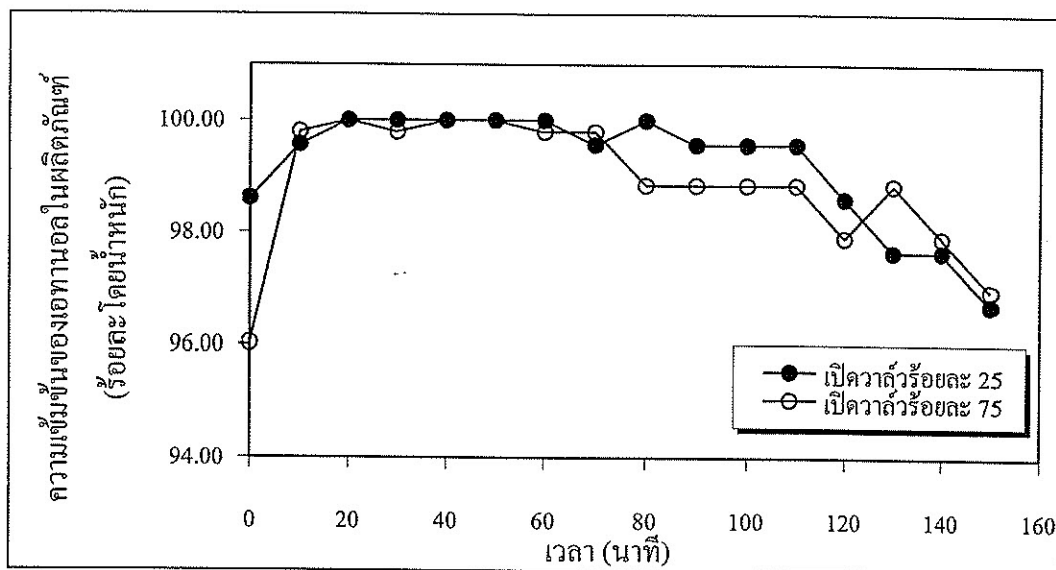
ตารางที่ 4.6 แสดงอัตราการผลิตເອຫານอลที่มีความเข้มข้นของເອຫານอลสูงกวาร้อยละ 99.5 โดยน้ำหนัก เมื่อพิจารณากระบวนการที่ใช้ความดันของคอลัมน์คูดซับและอุณหภูมิของคอลัมน์คูดซับเดียวกันและมีอัตราการໄหลของสารป้อนต่างกัน พบร่วมกับเปิดวาล์วหนืดต้มมากขึ้นหรืออัตราการໄหลของสารป้อนมีค่าสูงขึ้น อัตราการผลิตເອຫານอลที่เตรียมได้จะมีค่าลดลง ซึ่งสอดคล้องกับผลการทดลองที่แสดงถึงความบริสุทธิ์ของสารผลิตภัณฑ์ดังได้กล่าวไปแล้ว และนอกจากนั้นเมื่อเปิดวาล์วของหมู่ต้มในร้อยละที่สูงขึ้นจะทำให้สารป้อนที่เข้าสู่คอลัมน์คูดซับมีปริมาณมาก และอัตราการໄหลของสารป้อนที่สูงอาจมีการรั่วซึมออกตามข้อต่อและวาล์วจึงทำให้ค่าการสูญเสียของสารละลายເອຫານอลมีค่าสูง



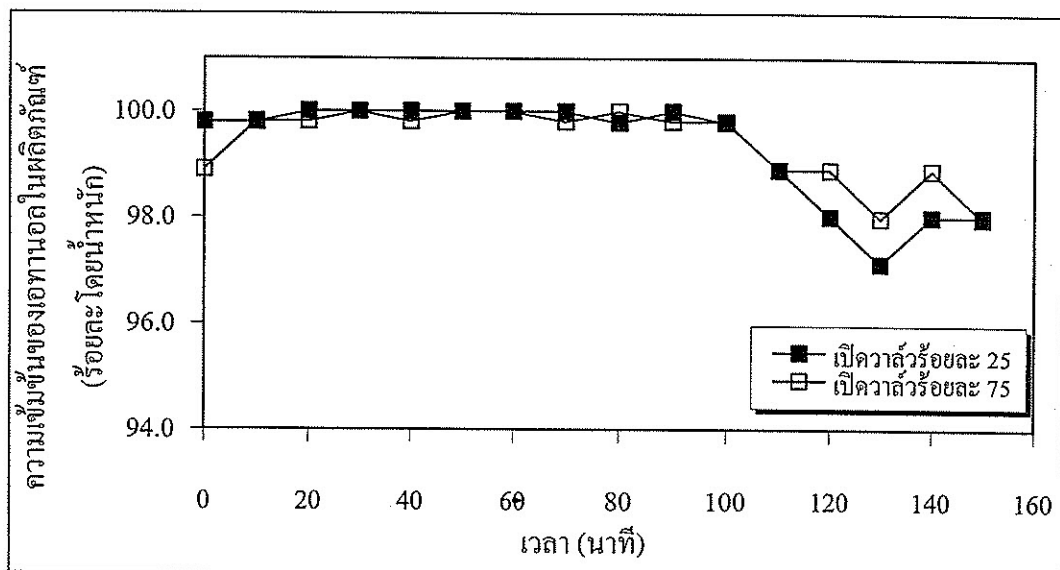
รูปที่ 4.20 การเปลี่ยนแปลงความเข้มข้นของอุตสาหกรรมในผลิตภัณฑ์
โดยใช้ตัวคูดซับจากมันสำปะหลัง อุณหภูมิของคอลัมน์คูดซับ 120 องศาเซลเซียส
ความดันของคอลัมน์คูดซับ 2 บาร์ เปริมาณรั้อyle มีต่ำระเหยต่างกัน



รูปที่ 4.21 การเปลี่ยนแปลงความเข้มข้นของอุตสาหกรรมในผลิตภัณฑ์
โดยใช้ตัวคูดซับจากมันสำปะหลัง อุณหภูมิของคอลัมน์คูดซับ 130 องศาเซลเซียส
ความดันของคอลัมน์คูดซับ 2 บาร์ เปริมาณรั้oyle มีต่ำระเหยต่างกัน



รูปที่ 4.22 การเปลี่ยนแปลงความเข้มข้นของอุตสาหกรรมในผลิตภัณฑ์จากการระบบคุณภาพแบบสลับความดันโดยใช้ตัวคุณภาพจากมันสำปะหลัง อุณหภูมิของกอต้มน้ำคุณภาพ 120 องศาเซลเซียส ความดันของกอต้มน้ำคุณภาพ 3 บาร์ เปิดวาล์วเมื่อต้มระเหยต่างกัน

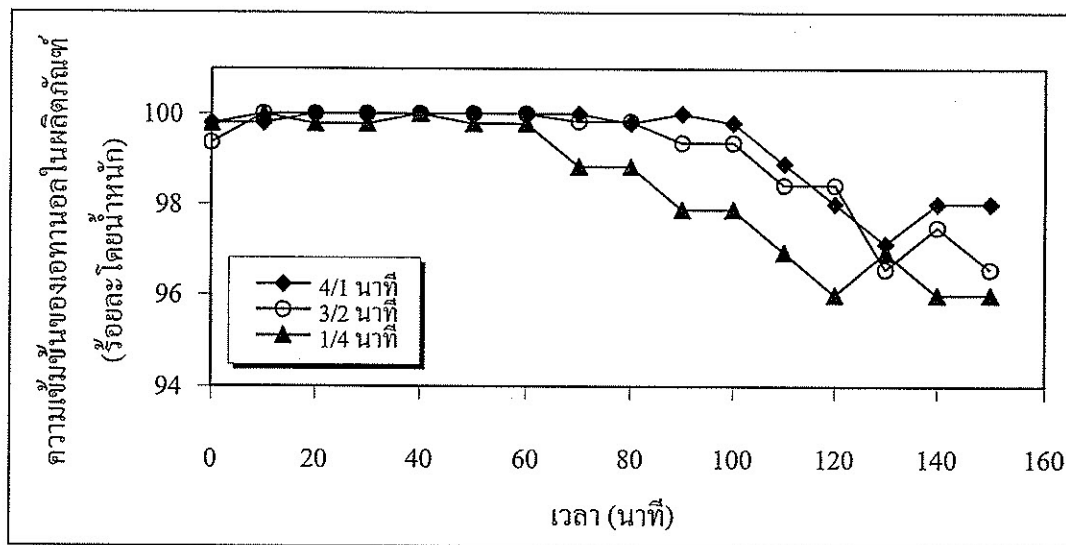


รูปที่ 4.23 การเปลี่ยนแปลงความเข้มข้นของอุตสาหกรรมในผลิตภัณฑ์จากการระบบคุณภาพแบบสลับความดันโดยใช้ตัวคุณภาพจากมันสำปะหลัง อุณหภูมิของกอต้มน้ำคุณภาพ 130 องศาเซลเซียส ความดันของกอต้มน้ำคุณภาพ 3 บาร์ เปิดวาล์วเมื่อต้มระเหยต่างกัน

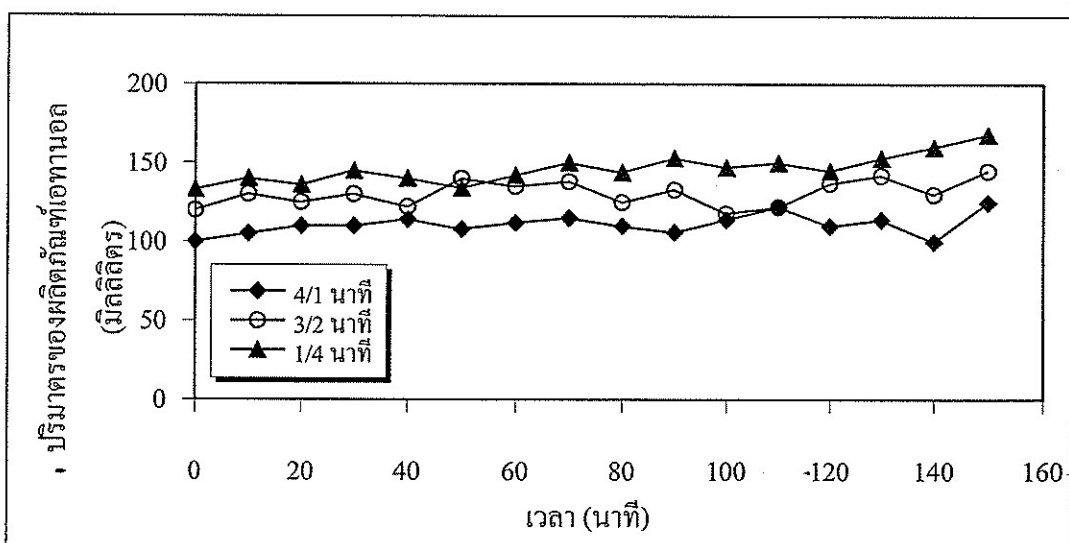
4.7.4 ผลของระยะเวลาของครึ่งวัฏจักรการคุณชั้บต่อความสามารถในการแยกนำ ออกจากไออกซ์เจนออกอ๊อกซิเจน

การศึกษาผลของระยะเวลาของครึ่งวัฏจักรการคุณชั้บ ทำได้โดยการทดลองการคุณชั้บที่ความดันของก๝ลัมນ์คุณชั้บ 3 นาที อุณหภูมิของก๝ลัมນ์คุณชั้บ 130 องศาเซลเซียส และเป็นเวลา หนึ่งเดือนระหว่างวัยละ 25 ซึ่งเป็นสภาวะที่อัตราการผลิตออกอ๊อกซิเจนสูงที่สุด โดยเปรียบเทียบผลที่ได้เมื่อใช้ระยะเวลาการดำเนินครึ่งวัฏจักรการคุณชั้บที่แตกต่างกัน เมื่อระยะเวลาของครึ่งวัฏจักรแบบ 4/1 นาที อีก 2 แบบ คือ แบบ 3/2 นาที (เพิ่มความดัน 3 นาที และ คุณชั้บ 2 นาที) และแบบ 1/4 นาที (เพิ่มความดัน 1 นาที และ คุณชั้บ 4 นาที) ผลการทดลองที่ได้แสดงดังรูปที่ 4.24 โดยพบว่าการเพิ่มระยะเวลาในการเพิ่มความดันของระบบจะส่งผลให้ความเข้มข้นของออกอ๊อกซิเจนในผลิตภัณฑ์ที่ได้มีค่าเพิ่มขึ้น เนื่องจากขณะที่ระบบทำการเพิ่มความดันอาจมีไออกซ์เจนออกอ๊อกซิเจนส่วนสัมผัสกับตัวคุณชั้บจากมันลำบากหลัง ซึ่งมีส่วนในการเพิ่มระยะเวลาสามพัสดุระหว่างไออกซ์เจนออกอ๊อกซิเจนตัวคุณชั้บส่งผลให้ความสามารถในการคุณชั้บน้ำของตัวคุณชั้บจากมันลำบากหลังสูงและความบริสุทธิ์ของออกอ๊อกซิเจนในผลิตภัณฑ์ที่ได้มีค่าสูงขึ้น

รูปที่ 4.25 แสดงปริมาตรของผลิตภัณฑ์ออกอ๊อกซิเจนที่ได้จากการคุณชั้บแบบสั้น ความดันที่ระยะเวลาการดำเนินวัฏจักรแบบต่าง ๆ พบร่วมกันของผลิตภัณฑ์เพิ่มขึ้นตามระยะเวลาการคุณชั้บของวัฏจักร ดังนั้นเมื่อเพิ่มระยะเวลาในการคุณชั้บให้มีค่ามากจึงทำให้ปริมาตรของผลิตภัณฑ์ออกอ๊อกซิเจนสูงขึ้นด้วย แต่จากการทดลองที่พิจารณาความเข้มข้นของออกอ๊อกซิเจนในผลิตภัณฑ์ ที่ระยะเวลาของครึ่งวัฏจักรที่ให้ระยะเวลาการคุณชั้บมีค่ามากจะให้ความบริสุทธิ์ของออกอ๊อกซิเจน ผลการศึกษานี้จึงสรุปได้ว่าระยะเวลาการดำเนินครึ่งวัฏจักรที่เหมาะสมสำหรับเครื่องต้นแบบของระบบคุณชั้บแบบสั้นความดันที่ใช้ตัวคุณชั้บจากมันลำบากหลัง คือ 4/1 นาที ซึ่งเป็นระยะเวลาของครึ่งวัฏจักรแบบเดียวกับเมื่อใช้โซโลไดร์ 3 เอ



รูปที่ 4.24 การเปลี่ยนแปลงความเข้มข้นของอุทานอลในผลิตภัณฑ์จากระบบคุณภาพแบบสลับความดันโดยใช้ตัวคุณภาพจากมันสำปะหลัง อุณหภูมิของคอลัมน์คุณภาพ 130 องศาเซลเซียส ความดันของคอลัมน์คุณภาพ 3 บาร์ เม็ดวัวหนึ่งตื้นระเหยร้อยละ 25 เวลาของครึ่งวัฏจักรต่างกัน



รูปที่ 4.25 ปริมาณของอุทานอลผลิตภัณฑ์จากระบบคุณภาพแบบสลับความดันโดยใช้ตัวคุณภาพจากมันสำปะหลัง อุณหภูมิของคอลัมน์คุณภาพ 130 องศาเซลเซียส เม็ดวัวหนึ่งตื้นระเหยร้อยละ 25 ความดันของคอลัมน์คุณภาพ 3 บาร์ เวลาของครึ่งวัฏจักรต่างกัน

4.8 การศึกษาอิทธิพลของตัวแปรในการดูดซับด้วยการออกแบบทดลอง เชิงแฟกทอร์เรียงแบบ 2³

การศึกษานี้จะนำข้อมูลที่ได้จากการทดลองไปทำการวิเคราะห์ผลตามการออกแบบการทดลอง เชิงแฟกทอร์เรียงแบบ 2³ เพื่อศึกษาอิทธิพลของตัวแปรสำคัญร่วมเครื่องดัชนีแบบของระบบดูดซับแบบ สลับความดัน คือ ความดันของคอลัมน์ดูดซับ (P) อุณหภูมิของคอลัมน์ดูดซับ (T) และอัตราการ ไหลของสารป้อน (V) ที่มีต่ออัตราการผลิตเอทานอลโดยผลการวิเคราะห์ข้อมูลด้วยโปรแกรม Minitab 15 พบว่าอัตราการผลิตเอทานอลมีความสัมพันธ์กับตัวแปรทั้ง 3 ดังนี้

$$\begin{aligned} \text{อัตราการผลิตเอทานอล} &= 3.13877P + 0.06723T + 0.013077V \\ &\quad - 0.02372PT - 0.00569PV - 1.00513 \times 10^{-4} TV \\ &\quad + 4.34188 \times 10^{-5} PTV - 7.88431 \end{aligned} \quad (4.1)$$

เมื่อ อัตราการผลิตเอทานอล มีหน่วยเป็น $\frac{g_{EOH}}{hr.g_{adsorbent}}$

P คือ ความดันของคอลัมน์ดูดซับ (บาร์)

T คือ อุณหภูมิของคอลัมน์ดูดซับ (องศาเซลเซียส)

V คือ อัตราการไหลของสารป้อน (มิลลิลิตรต่อนาที)

เมื่อพิจารณาสัมประสิทธิ์ของตัวแปรทุกตัวในสมการที่ได้ พบว่าทุกตัวแปรมีอิทธิพลต่อ อัตราการผลิตเอทานอลทั้งสี่ โดยตัวแปรที่มีอิทธิพลมากที่สุด คือ ความดันของคอลัมน์ดูดซับ รองลงมา คือ อุณหภูมิของคอลัมน์ดูดซับ และอัตราการไหลของสารป้อน ตามลำดับ เมื่อพิจารณา ถึงผลร่วมของ 2 ตัวแปร จะมีอิทธิพลให้อัตราการผลิตเอทานอลมีค่าลดลงโดยผลร่วมระหว่างความ ดันของคอลัมน์ดูดซับกับอัตราการไหลจะมีอิทธิภาพที่สุด รองลงมาคือผลร่วมระหว่างความดันของ คอลัมน์ดูดซับกับอุณหภูมิของคอลัมน์ดูดซับ และผลร่วมของอุณหภูมิกับอัตราการไหลจะมีอิทธิพล ใกล้เคียงกับผลร่วมของทั้ง 3 ตัวแปร ซึ่งมีอิทธิพลต่ออัตราการผลิตเอทานอลน้อยมาก

จากนี้ใช้สมการ (4.1) ไปหาสภาวะที่ทำให้อัตราการผลิตเอทานอลมีค่าสูงสุดของระบบ ดูดซับแบบสลับความดัน โดยใช้โปรแกรม Minitab 15 ได้ดังนี้ ความดันของคอลัมน์ดูดซับ 3 บาร์ อุณหภูมิของคอลัมน์ดูดซับ 130 องศาเซลเซียส และอัตราการไหลของสารป้อน 342 มิลลิลิตรต่อนาที จะสามารถผลิตเอทานอลได้ 0.973 $\frac{g_{EOH}}{hr.g_{adsorbent}}$

ตารางที่ 4.7 ผลการเปรียบเทียบระหว่างผลที่ได้จากการทดลองและจากสมการ

การทดลอง	ความดันของก๊าซดูดซับ (บาร์)	อุณหภูมิของก๊าซดูดซับ (°C)	อัตราการไหลของสารป้อน (ml/min)	อัตราการผลิตethanol (g _{EtOH} / hr.g _{adsorbent})		ความคลาดเคลื่อน (%)
				การทดลอง	สมการ	
1	2	120	342	0.784	0.785	0.118
2	3	120	600	0.800	0.801	0.114
3	2	120	459	0.790	0.791	0.116
4	3	120	795	0.716	0.717	0.126
5	2	130	342	0.935	0.936	0.107
6	3	130	600	0.939	0.940	0.105
7	2	130	459	0.925	0.926	0.108
8	3	130	795	0.913	0.914	0.107
9	2	120	380	1.381	0.787	4.998
10	3	120	695	1.366	0.760	4.472
11	2	130	380	1.076	0.933	0.746
12	3	130	695	1.506	0.927	0.289

จากตารางที่ 4.7 เมื่อนำค่าที่คำนวณได้จากสมการการออกแบบการทดลองเชิงแฟกторี얼 2³ เมื่อนำไปเปรียบเทียบกับค่าที่ได้จากการทดลองจะมีความคลาดเคลื่อนไปจากสมการเล็กน้อย ซึ่งได้ทำการทดลองที่เป็นความหนื้นตื้นระยะห้องละ 50 สมการที่ 5.1 ที่สามารถใช้อินิเบชันได้และมีความคลาดเคลื่อนเพียงเล็กน้อย ดังนั้นสมการที่ได้จากการออกแบบการทดลองเชิงแฟกторี얼 2³ สามารถใช้สำหรับอินิเบชันอิทธิพลของตัวแปรต่าง ๆ ต่ออัตราการผลิตethanol ที่ได้จากการทดลองที่ได้จากการคำนวณด้วยแบบสลับความดันในเบื้องต้นได้

บทที่ 5

สรุปผลการวิจัยและข้อเสนอแนะ

5.1 สรุปผลการวิจัย

จากผลการศึกษาความสามารถในการคูดซับน้ำของตัวคูดซับจากมันสำปะหลัง โดยทำการทดลองในระบบคูดซับแบบเบคนิ่งและหาไอโซเทร์มการคูดซับน้ำของตัวคูดซับจากมันสำปะหลัง รวมทั้งนำตัวคูดซับไปทดลองในเครื่องต้นแบบของกระบวนการคูดซับแบบสลับความดันเพื่อศึกษาอิทธิพลที่มีผลต่อความสามารถในการคูดซับน้ำของตัวคูดซับจากมันสำปะหลัง โดยใช้การออกแบบการทดลองเชิงแฟกทอเรียลแบบ 2^3 สามารถสรุปผลการทดลองได้ดังนี้

5.1.1 ความสามารถในการคูดซับน้ำของตัวคูดซับจากมันสำปะหลังและอิทธิพลของปัจจัยในระบบการคูดซับแบบเบคนิ่ง

ตัวคูดซับจากมันสำปะหลังสามารถใช้เป็นตัวคูดซับสำหรับการแยกน้ำออกจากไ/op>สมอทานอลได้โดยเพิ่มความเข้มข้นของผลิตภัณฑ์อทานอลมากกว่าร้อยละ 99.5 โดยน้ำหนัก ซึ่งความสามารถในการคูดซับน้ำของตัวคูดซับจากมันสำปะหลังจะเข้มข้นกับความเข้มข้นเริ่มต้นของสารป้อนและปริมาณของตัวคูดซับ เมื่อความเข้มข้นเริ่มต้นของอทานอลในสารป้อนเพิ่มขึ้นจะทำให้ความสามารถในการคูดซับน้ำลดลงเนื่องจากปริมาณน้ำในสารป้อนมีค่าน้อยลง การเพิ่มปริมาณตัวคูดซับจะมีหน่วยครอบคลุมอิสระทำให้มีพื้นที่ในการคูดซับน้ำมาก จึงเป็นส่วนผลให้ความสามารถในการคูดซับน้ำเพิ่มขึ้น

5.1.2 สมการไอโซเทร์มที่สภาวะสมดุลของตัวคูดซับจากมันสำปะหลัง

สมการไอโซเทร์มการคูดซับน้ำของตัวคูดซับจากมันสำปะหลังจะมีรูปแบบการคูดซับเป็นแบบไอโซเทร์มของแอลมาร์แสดงดังนี้

$$\frac{q}{0.0976} = \frac{15.77C_e}{1+15.77C_e}$$

เมื่อ q คือ ปริมาณของสารที่ถูกคูดซับต่อปริมาณตัวคูดซับ (กรัมต่อกรัมตัวคูดซับ)
 C_e คือ ความเข้มข้นของสารที่ถูกคูดซับที่สภาวะสมดุล (กรัมต่อมิลลิลิตร)

5.1.3 ผลของตัวแปรต่อความสามารถในการแยกน้ำออกจากไฮโดรเจนออกไซด์ใช้

ตัวคูดซับจากมันสำปะหลังในระบบคูดซับแบบสลับความดัน

การศึกษานี้ใช้การออกแบบทดลองเชิงแฟกทอรีเบบ 2³ ในการศึกษาผลของปัจจัยต่อความสามารถในการคูดซับน้ำของตัวคูดซับจากมันสำปะหลัง โดยศึกษา 3 ตัวแปร คือ ความดันของกอัลมน์คูดซับ (P) อุณหภูมิของกอัลมน์คูดซับ (T) และอัตราการไหลของสารป้อน (%V) เพื่อวิเคราะห์ผลของปัจจัยต่ออัตราการผลิตเอทานอลในหน่วยของ ($\text{g}_{\text{EtOH}}/\text{hr.g}_{\text{adsorbent}}$) พิจารณาที่ความเพิ่มขึ้นของเอทานอลมากกว่าร้อยละ 99.5 โดยน้ำหนัก แสดงดังนี้

$$\begin{aligned} \text{อัตราการผลิตเอทานอล} &= 3.13877P + 0.06723T + 0.013077V \\ &\quad - 0.02372PT - 0.00569PV - 1.00513 \times 10^{-4}TV \\ &\quad + 4.34188 \times 10^{-5}PTV - 7.88431 \end{aligned}$$

- เมื่อ P คือ ความดันของกอัลมน์คูดซับ (บาร์)
- T คือ อุณหภูมิของกอัลมน์คูดซับ (องศาเซลเซียส)
- V คือ อัตราการไหลของสารป้อน (มิลลิลิตรต่อนาที)

จากสมการแสดงให้เห็นว่าทั้ง 3 ปัจจัยจะมีอิทธิพลต่อปริมาณของผลิตภัณฑ์เอทานอล ทั้งหมด โดยความดันภายในกอัลมน์คูดซับมีอิทธิพลมากที่สุดและอุณหภูมิของกอัลมน์คูดซับมีอิทธิพลน้อยที่สุดสำหรับระบบการคูดซับด้วยวิธีการสลับความดัน ส่วนผลกระทบจากการทดลองพบว่าเมื่อความดันภายในกอัลมน์คูดซับมีค่าเพิ่มขึ้นจะส่งผลให้กระบวนการคูดซับเกิดได้ดีขึ้น และเมื่ออัตราการไหลของสารป้อนที่เท้าสู่กอัลมน์คูดซับมีอัตราการไหลช้าลง จะส่งผลให้การคูดซับน้ำของตัวคูดซับจากมันสำปะหลังเกิดได้ดีขึ้น เมื่อจากมีระยะเวลาในการสัมผัสระหว่าง ไอกองสารและลายเอทานอล กับตัวคูดซับจากมันสำปะหลังนานขึ้น และอุณหภูมิของกอัลมน์คูดซับจะมีอิทธิพลควบคุมกับความดันภายในกอัลมน์คูดซับ

เมื่อเปรียบเทียบการนำตัวคูดซับไปใช้ในครึ่งตันแบบของระบบคูดซับแบบสลับความดัน พบว่าตัวคูดซับจากมันสำปะหลังมีความสามารถในการแยกน้ำออกจากไฮโดรเจนออกไซด์ ใกล้เคียงกับซีโอไอค์ 3 เอ

5.2 ข้อเสนอแนะ

5.2.1 ปรับปรุงและพัฒนาเครื่องต้นแบบของกระบวนการดูดซับแบบสลับความคันเพื่อศึกษาผลของตัวแปรต่าง ๆ ได้มากขึ้น เช่น ปรับกล่องควบคุมระยะเวลาในการเปิด-ปิด วาล์วโซลินอยด์ เพื่อรับรู้ช่วงระยะเวลาในการดำเนินคริ่งวัสดุขักรที่กว้างขึ้น

5.2.2 ศึกษาการจัดทำและติดตั้งอุปกรณ์ในเครื่องต้นแบบของกระบวนการดูดซับตัวยาร์กสลับความคันให้สามารถใช้งานได้อย่างต่อเนื่อง

บรรณานุกรม

กรมส่งเสริมการเกษตร. (2527). การป้องกันสำปะหลัง. โรงพิมพ์กรมส่งเสริมการเกษตร. กรุงเทพมหานคร.
ฐิติ เดิศวรรธิกุล ธรรมงษ์ วิทิตศานต์ และ วิชากร จารุศิริ. (2551). การแยกแบบคุณภาพของของ
สมออาหารอ่อน-นำโดยโมเลกุลาร์ซีฟชนิด 3 A และ 4 A. วารสารพลังงาน ปีที่ 9 ฉบับปี
2551.

นีรนุช ควรเชิดชู และ สุจิตรา วงศ์เกย์มจิตต์. (ม.ป.ป.). แก๊สโซฮอล์ : เทคโนโลยีสะอาดช่วยเศรษฐกิจ
ประเทศไทย [ออนไลน์]. ได้จาก : <http://www.vcharkarn.com/varticle/16376/1>
เดชา พัตรศิริเวช. (2552). กระบวนการคุณภาพ. สำนักพิมพ์แห่งจุฬาลงกรณ์มหาวิทยาลัย.
กรุงเทพมหานคร. 226 น.

ธีรพัฒน์ มัชณิมาภิโร และ สนธยา หนูเกื้อ. (ม.ป.ป.). การศึกษาการแยกน้ำออกจากการอุดด้วย
กระบวนการ Pressure Swing Adsorption [ออนไลน์]. ได้จาก :
<http://Phoenix.eng.psu.ac.th/Chem/File/445/9.manuscript.pdf>
นิธิยา รัตนานันท์. (2545). เคมีอาหาร. โอดี้ยนส์โตร์. กรุงเทพมหานคร. 504 น.
บัญชร เจียรวทัย. (2550). จับตาข่าวอุปนิสัยพลังงานยุคใหม่ที่ชื่อว่า เอกทานออล วารสารเกียรติ. ปีที่ 3
ฉบับที่ 1 มกราคม 2550.

พัคตร์ประ pirate ประจำเมือง และ วิชัย ลีลาวัชร์มาศ. (2546). เอนไซม์ที่เกี่ยวข้องกับการย่อยแป้ง.
วารสารศูนย์บริการวิชาการ. ปีที่ 11 ฉบับที่ 4 ตุลาคม-ธันวาคม 2546.
ภัทรศินี ภัทร์โภศด. (2550). สถิติเพื่อการวิจัยทางวิทยาศาสตร์. สำนักพิมพ์แห่งจุฬาลงกรณ์
มหาวิทยาลัย. กรุงเทพมหานคร. 436 น.

มูลนิธิสถาบันพัฒนาอันสำปะหลังแห่งประเทศไทย [ออนไลน์]. (ม.ป.ป.). ได้จาก :

<http://www.tapiocathai.org>.

รัตนา จิระวัฒนานันท์. (2543). กระบวนการแยกด้วยเยื่อแผ่นลังเคราะห์. ภาควิชาวิศวกรรมเคมี
มหาวิทยาลัยเทคโนโลยีพระจอมเกล้าธนบุรี. กรุงเทพมหานคร. 343 น.
สุนีย์ ใจนิรนาท. (2539). การผลิตนำพาสีดีวีซ์จากกากมันสำปะหลังโดยการใช้เอนไซม์และอัลตราไฟเบอร์.
วิทยานิพนธ์มหาบัณฑิต, จุฬาลงกรณ์มหาวิทยาลัย.

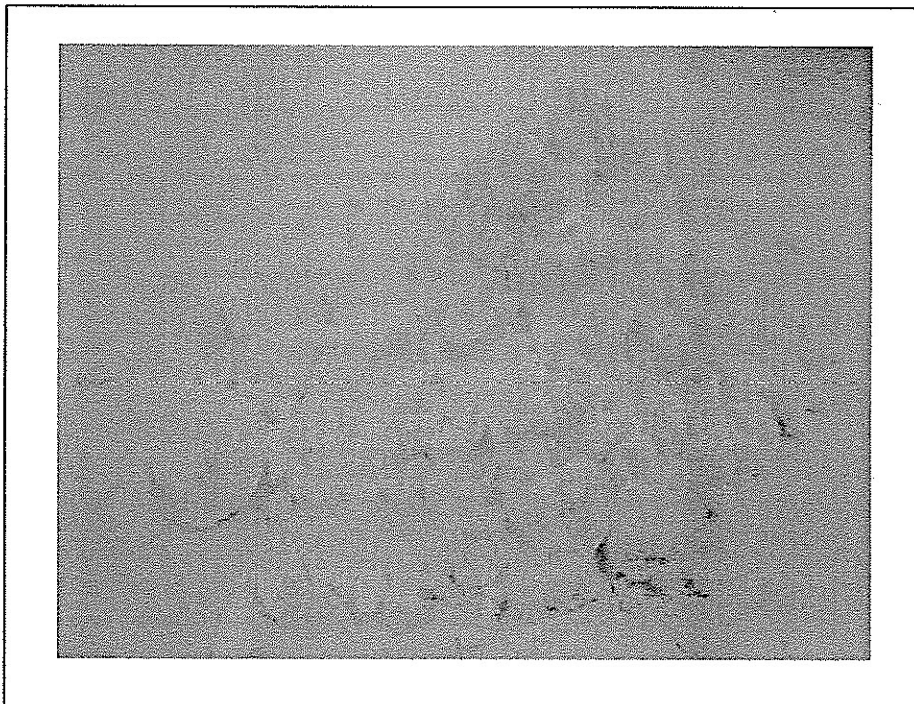
- Al-Asheh, S., Banat, F., and Al-Lagtah, N. (2004). **Separation of ethanol-water mixtures sing molecular sieves and biobased adsorbents.** Chemical Engineering Research and Design, Vol. 82, pp. 855-86.
- Anderson, L.E., Gulati, M., Westgate, P.J., Kvam, E.P., Bowman, K., and Ladisch, M.R. (2001). **Synthesis and optimization of a new starch-based adsorption for dehumidification of air in a pressure-swing dryer.** Ind. Eng. Chem. Res., Vol. 35, pp. 1180-1187.
- Beery, K.E., and Ladisch, M.R. (2001). **Chemistry and Properties of starch based desiccants.** Enzyme. Microb. Technol., Vol. 28, pp. 573-581.
- Carmo, M.J., and Gubulin, J.C. (2002). **Ethanol-Water Separation in the PSA Process.** Kluwer Academic Publishers. Adsorption, Vol. 8, pp. 235-248.
- Chang, H., Yuan, X.G., Tian, H., and Zeng, A.W. (2006). **Experiment and prediction of breakthrough curves for packed bed adsorption of water vapor on cornmeal.** Chemical Engineering and Processing, Vol. 45, pp. 747-754.
- Cruz, P., Santos, J.C., Magalhaes, F.D., and Mendes, A. (2003). **Cyclic adsorption separation processes: analysis strategy and optimization procedure.** Chemical Engineering Science, Vol. 58, pp. 3148-3158.
- Fawzi, A.B., Fahmi, A., and Simandl, J. (2000). **Analysis of vapor-liquid equilibrium of ethanol-water system via headspace gas chromatography : effect of molecular sieves.** Separation Purification Technology, Vol. 18, pp. 111-118.
- Guan, J., and Hu, X. (2003). **Simulation and analysis of pressure swing adsorption : ethanol drying process by the electrical analogue.** Separation Purification Technology, Vol. 31, pp. 31-35.
- Han, X., Ma, X., Liu, J., and Li. H. (2009). **Adsorption characterization of water and ethanol on wheat starch and wheat gluten using inverse gas chromatography.** Carbohydrate Polymers, Vol. 78, pp. 533-537.
- Jain, S., Moharir, A.S., Li, P., and Wozny, G. (2003). **Heuris design of pressure swing adsorption : a preliminary study.** Separation Purification Technology, Vol. 33, pp. 25-43.
- Jee, J.G., Kim, M.B., and Lee, C.H. (2005). **Pressure Swing Adsorption Processes to Purify Oxygen using a Carbon Molecular Sieve.** Chemical Engineering Science, Vol. 60, pp. 869-882.

- Kaminski, W., Marszalek, J., and Ciołkowska, A. (2008). **Renewable energy source-Dehydrated ethanol.** Chemical Engineering Journal, Vol. 135, pp. 95-102.
- Karimi, A., Vafajoo, L., Safecordi, A.A., and Kazemeini, M. (2010). **Experimental and theoretical studies of pressure swing adsorption process to remove H₂S from methane in a packed bed.** Scientific Research and Essays, Vol. 5, No. 17, pp. 2391-2399.
- Kiatpongarp, W. (2007). **Production of enzyme-resistant starch from cassava starch.** A Thesis for the Master of Science in Food Technology, Suranaree University of Technology.
- Ladisch, M.R. (1997). **Biobased adsorbent for drying of gases.** Enzyme and Micro Technology, Vol. 20, pp. 162-164.
- Ladisch, M.R., Voloch, M., Hong, J., Blenkowski, P., and Tsao, G.T. (1984). **Cornmeal Adsorber for Dehydrating Ethanol Vapors.** I&EC Process Design & Development, Vol. 23, pp. 437-444.
- Lee, F.M., and Pahl, R.H. (1985). **Solvent screening and conceptual extractive distillation process to produce anhydrous ethanol from fermentation broth.** Ind. Eng. Chem. Proc. Design. & Develop, Vol. 24, pp. 168-172.
- McCabe, W.L., Smith, J.C., and Harriott, P. (2001). **Unit Operations of Chemical Engineering.** McGraw-Hill.
- McMinn, W.A.M., Al-Muhtaseb, A.H., and Magee, T.R.A., (2005). **Enthalpy-entropy compensation in sorption phenomena of starch materials.** Food Research International, Vol. 38, pp. 505-510.
- Pruksathorn, P., and Vitidsant, T. (2009). **Production of pure ethanol from azeotropic solution by pressure swing adsorption.** Korean J. Chem. Eng., Vol. 26, No. 4, pp. 1106-1111.
- Pinto, R.T.P., Wolf-Maciel, M.R., and Lintomen, L. (2000). **Saline extractive distillation process for ethanol purification.** Computers & Chemical Engineering, Vol. 24, pp. 1689-1694.
- Rouquerol, F., Rouquerol, J., and Sing, K.S.W. (1999). **Adsorption by powder and porous solids.** California : Academic Press.

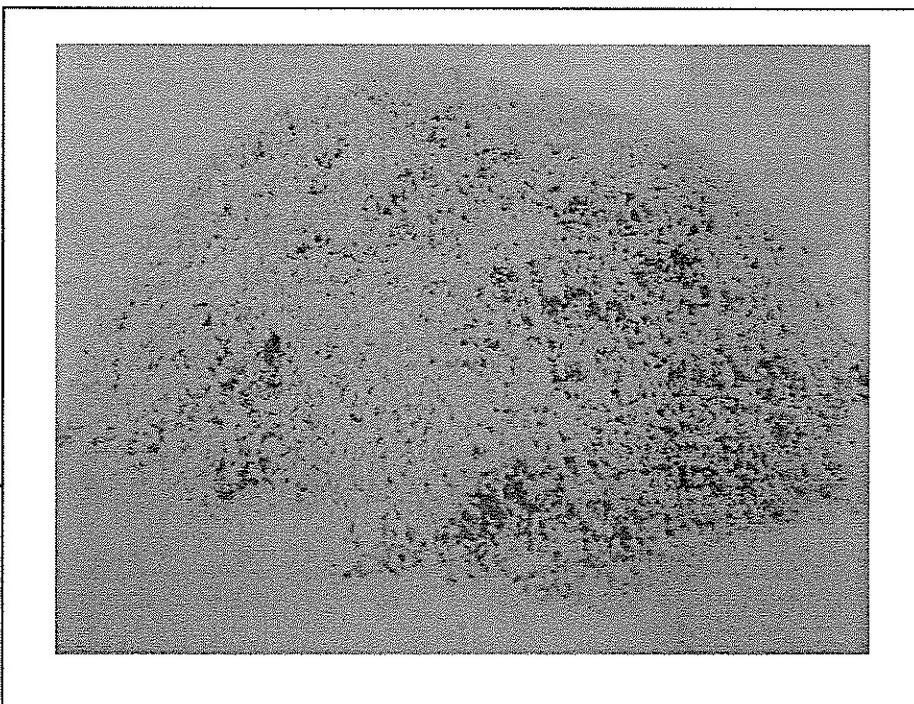
- Ruthven, D.M., Farooq, S., Knaebel, K.S. (1994). **Pressure Swing Adsorption Processes.** New York : John Wiley & Sons, Inc.
- Seader, J.D., and Henley Ernest, J. (2006). **Separation process principles.** Asia : John Wiley & Sons, Inc.
- Simo, M., Brown, C.J., and Hlavacek, V. (2008). **Simulation of pressure swing adsorption in fuel ethanol production process.** Computers & Chemical Engineering, Vol. 32, pp. 1635-1649.
- Vareli, G., Demertzis, P.G., and Akrida-Demertzis, K. (2000). **Effect of regeneration thermal treatment of cellulosic and starchy materials on their capacity to separate water and ethanol.** Journal of Cereal Science, Vol.31, pp. 147-154.
- Westgate, P.J., and Ladisch, M.R. (1993). **Air Drying Using Corn Grits as the Sorbent in a Pressure Swing Adsorber.** AIChE Journal, Vol. 39, No. 4, pp. 720-723.

ภาคผนวก ก

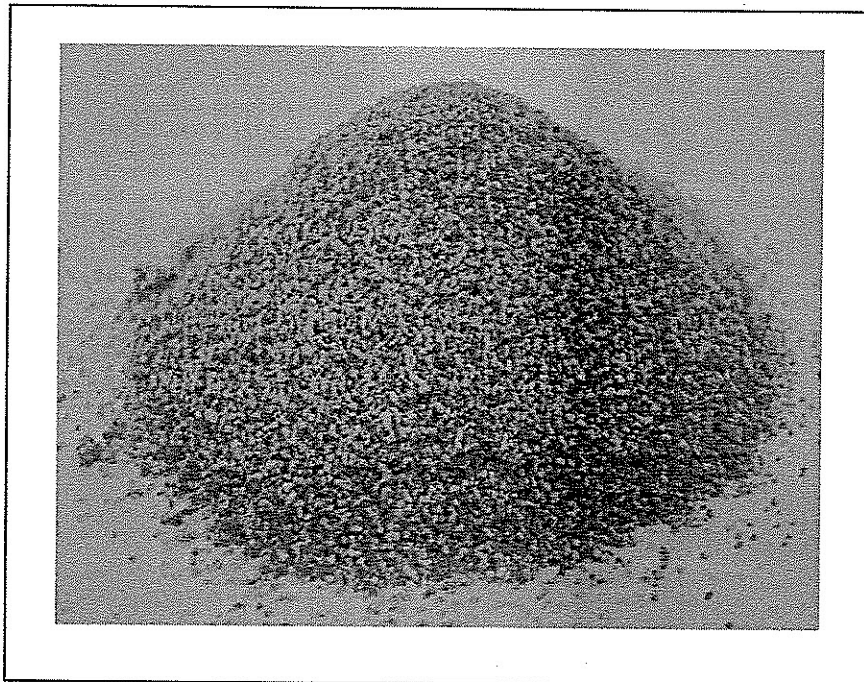
วัสดุและอุปกรณ์ที่ใช้ในการทดลอง



รูปที่ ก.1 แม็ปมั�สำบะหลัง



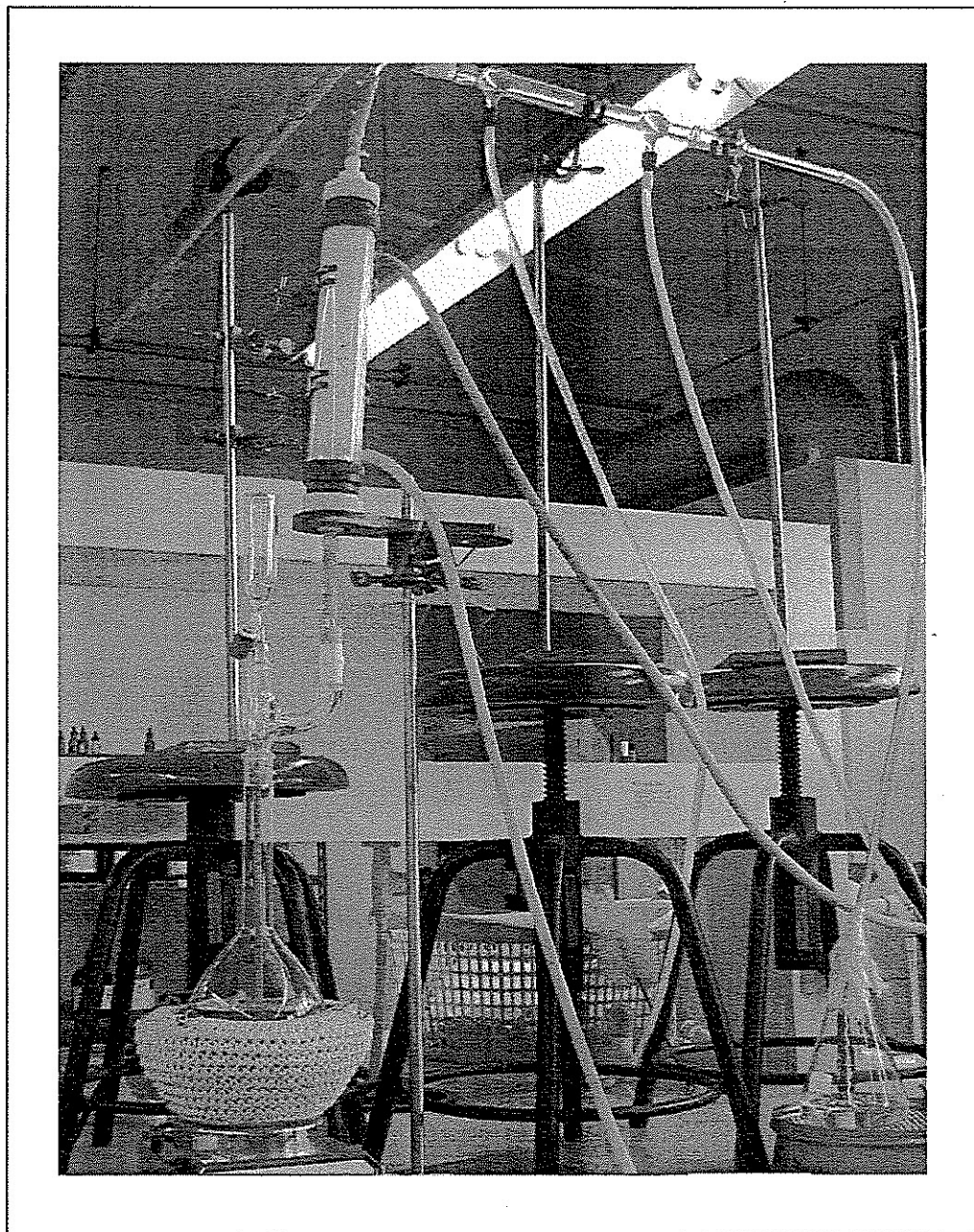
รูปที่ ก.2 ภาพมั�สำบะหลังบลําเอียด



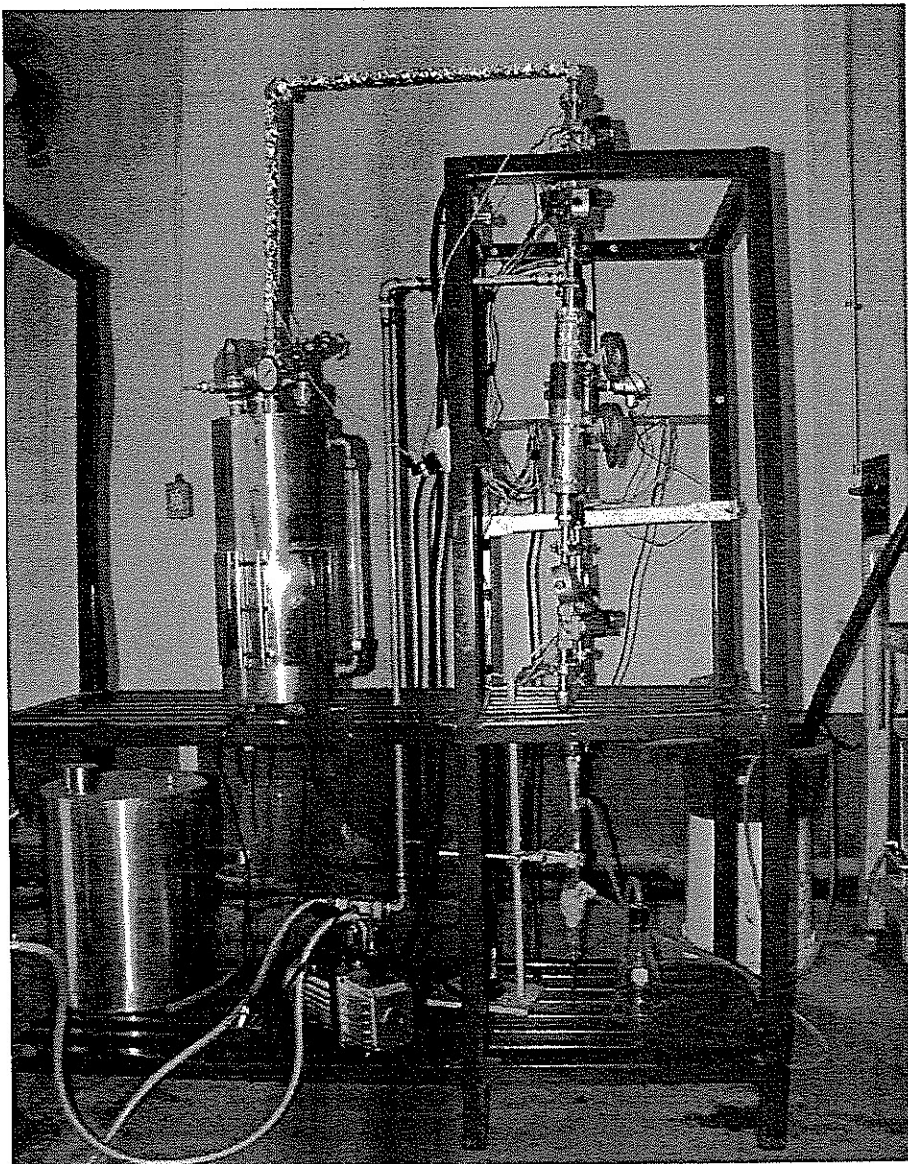
รูปที่ ก.3 ตัวคุณชั้นจากมันสำปะหลัง



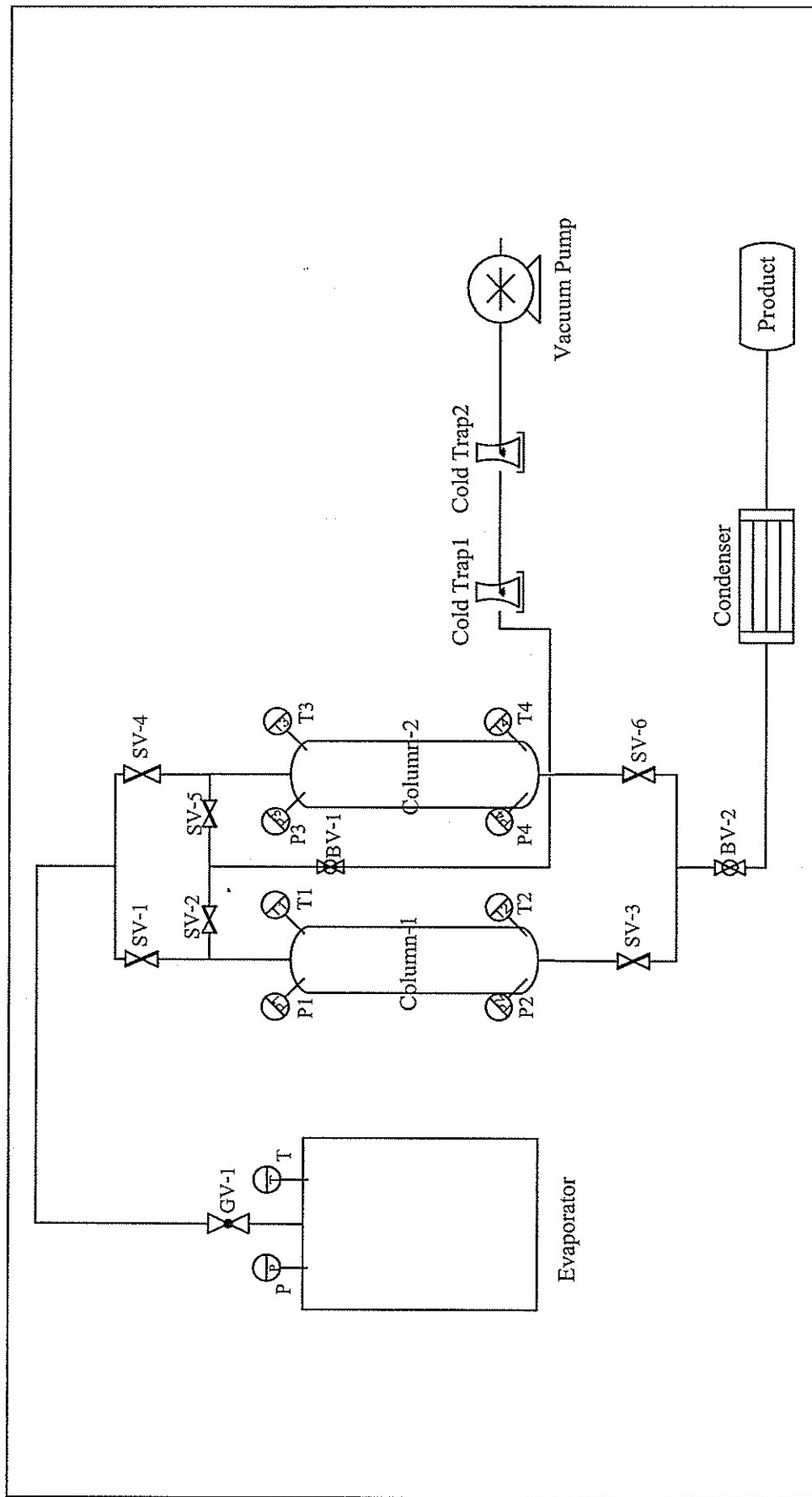
รูปที่ ก.4 เครื่องให้ความร้อน



รูปที่ ก.5 ชุดการทดสอบของระบบดูดซับแบบเบคนิ่ง



รูปที่ ก.6 เครื่องตีนแบบของระบบคุณภาพแบบสลับความดัน



รูปที่ ก.7 แผนกการแพสต์ชั่งองค์ประกอบของระบบดูดซับแบบตัวบินความดัน สำหรับดำเนินการสำหรับการสำรองและอุตสาหกรรมพิมพ์และต้มน้ำดูดซับ

ภาคผนวก ข

บทความวิชาการที่ได้รับการตีพิมพ์เผยแพร่

บทความทางวิชาการที่ได้รับการตีพิมพ์เผยแพร่ในวารสารวิชาการระดับชาติ

Boonfung, C., and Rattanaphanee, P. (2010). **Cassava-based Adsorbent for Ethanol Dehydration.** The Journal of KMUTNB, Vol. 20, No. 2, pp. 196-203.

บทความทางวิชาการที่ได้รับการตีพิมพ์เผยแพร่ในวารสารวิชาการระดับนานาชาติ

Boonfung, C., and Rattanaphanee, P. (2010). **Pressure Swing Adsorption with Cassava Adsorbent for Dehydration of Ethanol Vapor.** International Journal of Chemical and Biologocal Engineering, Vol. 3, No. 4, pp. 206-209.



Cassava-based Adsorbent for Ethanol Dehydration

Chontira Boonfung¹ and Panarat Rattanaphanee^{2*}

บทคัดย่อ

งานวิจัยนี้เป็นการศึกษาประสิทธิภาพของตัวดูดซับซึ่งเตรียมขึ้นจากแป้งมันและกาภมันสำปะหลังในการดูดซับเพื่อแยกน้ำออกจากไออกานอลในระบบดูดซับแบบอัดตัวแน่น โดยตัวแปรที่ทำการศึกษาได้แก่ ปริมาณตัวดูดซับและความเข้มข้นของสารละลาย เอกานอลเริ่มต้นที่มีผลต่อความเข้มข้นของเอกานอลที่ได้ผลการศึกษาพบว่าไออกานอลสามารถดูดซับจากมันสำปะหลังเมล็ดขัตติยงกับกับไออกานอล แบบลงเมียร์ ผลการวิจัยแสดงให้เห็นว่ากระบวนการดูดซับแบบอัดตัวแน่นซึ่งใช้ตัวดูดซับที่เตรียมขึ้นสามารถเตรียมเอกานอลที่มีความเข้มข้นสูงกว่าความเข้มข้นอะซีโไฮบริกของเอกานอลในน้ำซึ่งไม่สามารถทำได้ด้วยกระบวนการกรองล้วนลำตับต่อน้ำทิ่งไป และสามารถเตรียมเอกานอลที่มีความบริสุทธิ์สูงกว่าร้อยละ 99.5 โดยหน้าที่ ได้ประมาณ 0.3 กรัมเอกานอลต่อกรัมของตัวดูดซับ

คำสำคัญ: การกำจัดน้ำออกจากเอกานอล ตัวดูดซับ จากวัสดุชีวมวล มันสำปะหลัง

Abstract

This research investigated water adsorption efficiency of adsorbent prepared from cassava starch and cassava pulp in a bench-scale packed-bed adsorption system. Parameters of interest are effect of adsorbent quantity, and ethanol concentration of

starting solution on ethanol concentration in condensates leaving the adsorber. Water adsorption isotherm of the adsorbent appeared to fit a favorable Brunauer's Type I or Langmuir isotherm. The process could prepare ethanol solution with concentration higher than its aqueous azeotropic point, which could not be achieved in normal fractional distillation. The ethanol production obtained was in a vicinity of 0.3 gram ethanol per gram of adsorbent. In conclusion, adsorption using cassava-based adsorbent was able to dehydrate ethanol solution and could be an alternative technique for production of anhydrous ethanol.

Keyword: Ethanol Dehydration, Biomass-derived Adsorbent, Cassava

1. Introduction

Complication of a process for ethanol dehydration by fractional distillation arrives when the solution is in the vicinity of its azeotropic point (95.6 wt% ethanol), where both compounds are not separable by fractional distillation. Azeotropic distillation to bring ethanol concentration up to an anhydrous level is an energy-intensive and requires a use of toxic organic entrainers such as benzene. As a result, anhydrous ethanol is normally produced by

¹ Student, School of Chemical Engineering, Suranaree University of Technology.

² Lecturer, School of Chemical Engineering, Suranaree University of Technology.

* Corresponding Author, Tel.0-4422-4591, E-mail: panarat@sut.ac.th

Received 21 December 2009; Accepted 2 April 2010



distilling the solution until ethanol concentration of about 75-90 wt% is achieved, and other techniques are employed after that to remove water to a minuscule level.

One of the energy-efficient techniques widely used for dehydration of ethanol is adsorption, and starch and cellulosic biomass are among several adsorbents that have been used. Examples of the biomass-derived adsorbents include cracked corns [1], corn meal [2]-[4], corn grits [5], [6], xylan and wood chips [7], [8], wheat constituents [9], [10], natural corncobs, natural and activated palm stone and oak [11].

It has been accepted that ethanol dehydration by adsorption requires far less energy than the conventional azeotropic distillation [12]. Adsorption with biomass-derived adsorbent is also less energy-consuming than adsorption using other adsorbents. For example, the total energy consumed in dehydration of ethanol using cellulose was reported to be 2,873 kJ/kg_{ethanol}, while the adsorption using calcium oxide (CaO) was 3,669 kJ/kg_{ethanol} [1]. In addition, biomass-derived adsorbents need less energy for regeneration than synthetic adsorbents [13].

Another attractive advantage of using biomass-derived adsorbent is that, when regeneration is not practical, the spent adsorbents could be used as a feedstock of fermentation, either for ethanol or biogas production. In addition, deposition of starch and cellulosic adsorbents is unproblematic and environmental friendly due to their readily biodegradability. All these advantages lead to growing interest in using this type of materials as a potent desiccant for drying gaseous and organic compounds.

Ability of starch and cellulose to adsorb water is a result of interaction in form of hydrogen bonding between free hydroxyl groups (-OH) on their glucose

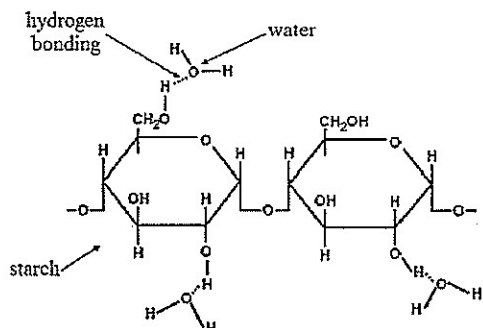


Figure 1 Hydrogen bonding between starch and water.

units and the water molecules [14] as depicted in Figure 1. Water is by nature more polar than organic compounds such as alcohols; therefore, it interacts with hydroxyl groups of the glucose-containing adsorbent with higher strength and faster rate. Consequently, aqueous alcohol solution passing through bed of starch or cellulosic materials would come out with lower concentration of water in the solution.

Thailand ranks the third, following Nigeria and Brazil, of countries that produce cassava root with a total root production of 25-30 million tons annually, which sums up around 10% of the world production. This country, however, is the first in production and exportation of cassava-derived products [15]. Nakhon Ratchasima is a province in northeast region of Thailand that has largest cassava planting area. As a result, there are many cassava starch production plants locating in this province.

Wet cassava pulp is created abundantly during the production of cassava starch. This material still contains sufficient amount of cellulose fiber and starch and usually sold very cheaply at 100-400 Baths/ton (about \$3-\$12/ton), to animal feed manufacturers. When the demand from animal feed industry is low, cassava pulp accumulates and rots,



causing an extremely unpleasant smell, which is an environmental problem commonly encountered in the area around cassava starch factories.

In present study, new adsorbent with a capability in removing water from ethanol vapor was developed using cassava pulp as one of the main ingredient. The water adsorption efficiency of the adsorbent was tested by monitoring the ethanol concentration in condensates leaving from a bench-scale packed-bed adsorption system. Parameters of interest were quantities of adsorbent and ethanol concentration of starting solution.

2. Materials and Method

2.1 Cassava Starch and Cassava Pulp

Native cassava starch and wet cassava pulp were provided from Sanguan Wongse Starch Industries (Nakhon Ratchasima, Thailand). Cassava pulp was sun-dried for 24 hr followed by drying in hot air oven at temperature of 110°C for another 12 hr. Moisture contents of the pulp were monitored by a moisture analyser (Precisa, XM60). Dried cassava pulp was ground and selectively screened. Pellets with sizes between 30-40 Mesh (0.420-0.595 mm) were used in adsorbent preparation.

2.2 Adsorbent Preparation

Cassava starch and dried ground cassava pulp were weighed and mixed with an addition of 0.1 M NaOH. The mixture was stirred while being heated at temperature about 65°C for 10 min. The mixture was then spread out on an aluminum pan and was dried for 12 h in the hot air oven at 110°C. The dried mixture was then ground and sieved, and pellets with size between 30-40 Mesh were used as the adsorbent in this study.

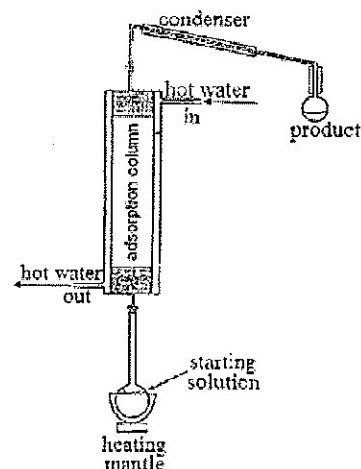


Figure 2 Bench-scale packed bed adsorption.

2.3 Characterization of the Adsorbent

Surface morphology of the adsorbent was visualized by scanning electron microscopy (SEM). Adsorbent pellets were fixed on a metal stubs and coated with gold. Images of the sample surface was scanned and photographed using a JEOL JSM-6400 scanning electron microscope operating at 20 kV.

Crystallinity of the adsorbents was investigated by X-ray diffraction (XRD) using a powder x-ray diffractometer (Model D5005, Bruker), with Ni-filtered Cu-K α radiation. All the spectra were recorded with 2 θ angle in the range of 5 to 75°, Cu target, 40 kV, 40 mA, a step size of 0.02° with a scan step of 0.4 second per step.

2.4 Ethanol Dehydration in Bench-scale Packed-bed Adsorption

A schematic of bench-scale packed bed adsorber for ethanol vapor dehydration is shown in Figure 2. The adsorbent was packed in a jacketed Chromaflex column (Kontes 420870-3010) with an

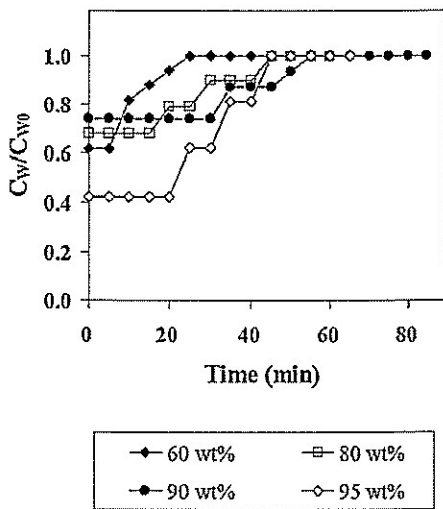


Figure 3 Breakthrough curves when using 10 g of adsorbent.

inside diameter of 2.5 cm and a length of 30 cm. Column wall temperature was maintained at 90°C by circulating hot water through the jacket.

Starting aqueous solution with known ethanol concentration was heated in a 500-ml round-bottom long-neck flask surrounded by an electric heating mantle. The vapor was passed through the column, and the exit stream was condensed using water as a cooling medium. The process was operated semi-batchwisely with periodically addition of ethanol solution into the flask in order to maintain the constant concentration of the starting solution.

Fractions of condensates were collected at regular time interval and were analyzed for ethanol concentration using Abbe refractometer. When the experiment is terminated, spent adsorbent was removed from the column and regenerated for reuse by drying in the hot air oven at 110°C for 12 hours.

3. Result and Discussion

Breakthrough curves of water adsorption on the prepared adsorbent when ethanol with different water contents were used as starting feed are illustrated in Figure 3. C_w is water concentration in the vapor mixture condensed from the adsorber at any time and C_{w0} is the concentration of water in the vapor at the starting (zero time) of the experiment. To ensure that adsorbent saturation and complete shape of the breakthrough curves were achieved, the column was packed with only 10 g of the adsorbent. Feed solution with ethanol concentration of 75 and 85 wt% were also studied (data not shown here). Water loading, W , which expressed as gram of water adsorbed (g_w) per gram of adsorbent used (g_{ads}), was calculated for each experiment and were plotted against the corresponding feed concentration.

The adsorption isotherm illustrated in Figure 4 shows that adsorption of water on cassava-based adsorbent resembles a favorable Brunauer's Type I or Langmuir isotherm, which follows the relation:

$$W = W_{\max} \left(\frac{Kc}{1+Kc} \right) \quad (1)$$

Where W = water loading, g_w/g_{ads}

W_{\max} = maximum water loading

c = water concentration in solution, g/L

K = adsorption constant, L/g

Parameter W_{\max} and K , determined by a method of curve fitting from the isotherm data, were found to be 0.067 g_w/g_{ads} and 0.03 L/g, respectively. These values were verified by calculation of water loadings and plot the value obtained back into Figure 4. The R^2 of the plot is 0.95 indicating a

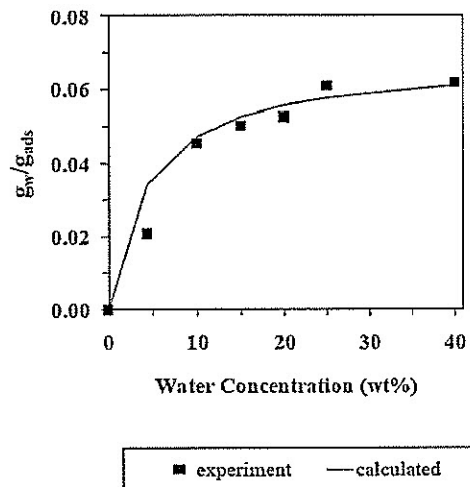


Figure 4 Adsorption isotherm when using 10 g of cellulosic adsorbents, $R^2 = 0.95$.

fairly good agreement between the calculated results and the experimental data.

Breakthrough curve of adsorption using different quantities of the adsorbent are summarized in Figure 5. The starting solution in every experiment was of 90 wt% ethanol concentration. Breakthrough data obtained from these experiments are displayed in Table 1. As seen, concentrations of water below the breakthrough point, $C_w/C_{w0} < 0.05$ or ethanol concentration of about 99.5 wt% in the collected condensate, were obtained when more than 20 g of adsorbent were packed in the column. Breakthrough time, as expected, increased with increasing adsorbent quantities.

Experiments with 60 g of adsorbent resulted in the longest breakthrough time of 52.4 min, which was considerably longer than a breakthrough time of 7.1 min when using 40 g of adsorbent. Water

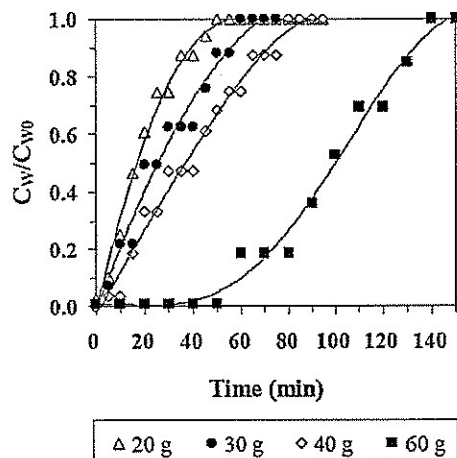


Figure 5 Breakthrough curves of different quantities of cassava-based adsorbents with feed concentration of 90 wt% ethanol.

loading for systems using 90 wt% ethanol as starting solution was found to be in vicinity of 0.045 g_w/g_{ads} for all experiments except a considerably under-calculated value of 0.030 g_w/g_{ads} obtained from experiments using 60 g of adsorbents. Reasons to this could be a particle arrangement and a packing characteristic inside the adsorption column when comparatively large amount of particles were packed inside the column causing dense section at the point where the feed entered, hence obstructing good vapor distribution and sufficient access to adsorbent surface. One of the evidence that could verify this hypothesis is the 0.60 ml/min condensate flow rate which is significantly lower than those around 1 ml/min in the system using 30 g and 40 g adsorbent. Water loading in this system could have been higher if the adsorbent distribution and access to the adsorbent surface in the column had been improved.



Table 1 Breakthrough data for water adsorption of 90.0 wt% ethanol using different adsorbents quantities

Adsorbents quantity (g)	Breakthrough Time* (min)	Average condensate flow rate (mL/min)	Water adsorbed (g _w)	Water loading (g _w /g _{ads})	Ethanol Production ^b (gethanol/gads)
10	N/A	0.92	0.454	0.045	N/A
20	1.6	0.70	0.825	0.041	0.197
30	3.4	1.01	1.528	0.051	0.292
40	7.1	0.95	1.900	0.048	0.285
60	52.4	0.60	1.808	0.030	0.338

* Evaluated at breakthrough concentration CW/CW0 = 0.05

^b Gram of ethanol with concentration ≥ 99.5 wt% produced per gram of adsorbent

Ethanol production, defined as gram of ethanol with concentration higher than 99.5 wt% that was produced per gram of the adsorbent, appeared to be approximately 0.3 g_{ethanol}/g_{ads} when more than 20 g of adsorbent was used for dehydration of 90 wt% ethanol solution. This value is close to that of 0.284 g_{ethanol}/g_{ads} in a study using corn grit as the adsorbent to dehydrate a solution of 17.5 mol% water in ethanol, which was equivalent to a 91.7 wt% ethanol solution [5]. With a comparable capacity to corn that costs around 7000-8000 Baths/ton, cassava-based adsorbent holds an advantage of cheap main ingredient that makes it an attractive choice for water adsorption using biomass-derived material.

SEM images show that the adsorbent pellets' shape and surfaces are not uniform (Figure 6a). In closer view (Figure 6b), it can be seen that significant portion of the adsorbent surface was covered by numerous sphere particles (most likely starch), with gel-like layers appeared to cover on some portion of the particle surface (Figure 6c). These layers, which could have been created by starch gelatinization when the mixtures were heated during adsorbent preparation, presumably acted as a

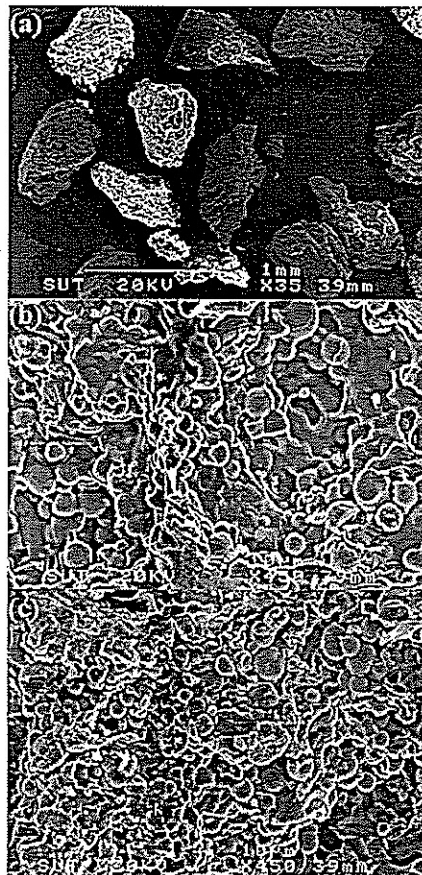


Figure 6 SEM images of (a) adsorbent particles; (b) and (c) adsorbent surface.

glue to hold all the components together and provide structural strength to the adsorbent.

Gelatinization could increase the adsorption capacity of the starch, because it causes crystalline structure to become amorphous, which is desirable for water adsorption. However, gelatinization may also lead to retrogradation of starch, which causes an increase in the crystallinity and also structural changing that can adversely affect the

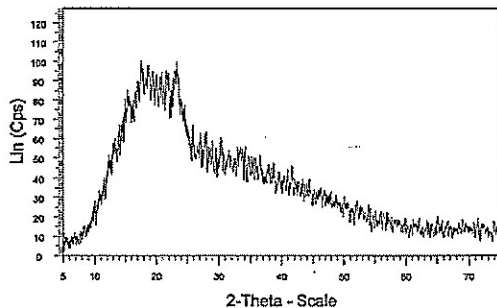


Figure 7 X-ray diffractograms of cassava adsorbent.

adsorption of water vapor, as crystallinity hinders the adsorption of water because the $-OH$ groups on adjacent glucose units form complexes with each other and cannot adsorb water unless this secondary hydrogen bonding dissociates [12].

For the case of the adsorbent utilized in this study, increase in crystallinity by retrogradation after gelatinization might be insignificant when consulting its X-ray powder diffractogram (Figure 7) as it depicts very low proportion of crystallinity. This could mean that the extent of gelatinization that took place during adsorbent preparation did not sufficiently lead to retrogradation of the starch, or it could mean that most of starch crystallinity was destroyed by the high temperature employed for heating the mixture in adsorbent preparation, since it has been reported that cassava (tapioca) starch crystallinity, molecular order and DSC enthalpy were completely lost at $\sim 69.5^{\circ}\text{C}$ upon heating in water [16]. More extensive studies are necessary to investigate whether the presence and extent of gelatinized layer formed during adsorbent preparation could have any effect on water adsorption properties of the adsorbent. At this point, the cassava-based adsorbent could be regarded as amorphous rather than crystalline materials.

4. Conclusion

Cellulose-based adsorbent prepared from cassava pulp as one of the main ingredient was proved to be capable of adsorbing water in vapor form. This ability is presumably due to interaction between water molecules and free hydroxyl groups on the glucose units of starch and cellulose, which has been reported for this type of materials. Breakthrough study of water adsorption on the adsorbent showed a favorable Brunauer's Type I or Langmuir isotherm. Results from fixed-bed adsorption showed that cassava based adsorbent was able to selectively adsorb water and, in consequence, dehydrate ethanol vapor, leading to ethanol solution with higher purity than that of the starting solution. This study elucidates that cassava pulp could be a raw material for preparation of adsorbent with target use of water adsorption. In conclusion, water adsorption with cellulose-based adsorbent could be an economical technique to produce anhydrous ethanol in country with large area of cassava plantation like Thailand.

5. Acknowledgement

The authors are grateful to Princess Maha Chakri Sirindhorn's Innovation and Invention Research Fund, Suranaree University of Technology, for financial support of this work.

References

- [1] M. Ladisch and K. Dyck, "Dehydration of Ethanol: New Approach Gives Positive Energy Balance," *Science*, vol. 205, pp. 898-900, 1979.
- [2] M. Ladisch, M. Voloch, J. Hong, P. Blenkowski, and G. Tsao, "Cornmeal Adsorber for Dehydrating Ethanol Vapors," *I&EC Proc.*



- Des. Develop.*, vol. 23, pp. 437-443, 1984.
- [3] H. Chang, X. Yuan, H. Tian, and A. Zeng, "Experiment and Prediction of Breakthrough Curves for Packed Bed Adsorption of Water Vapor on Cornmeal," *Chem. Eng. Process*, vol. 45, pp. 747-754, 2006.
- [4] J. Hong, M. Voloch, M. Ladisch, and G. Tsao, "Adsorption of Ethanol-Water Mixtures by Biomass Materials," *Biotech. Bioeng.*, vol. 24, pp. 725-730, 1982.
- [5] P. Bienkowski, A. Barthé, M. Voloch, R. Neuman, and M. Ladisch, "Breakthrough Behavior of 17.5 mol% Water in Methanol, Ethanol, Isopropanol, and t-Butanol Vapors Passed over Corn Grits," *Biotech. Bioeng.*, vol. 28, pp. 960-964, 1986.
- [6] L. Anderson, M. Gulati, P. Westgate, E. Kvam, K. Bowman, and M. Ladisch, "Synthesis and Optimization of a New Starch-Based Adsorbent for Dehumidification of Air in a Pressure-Swing Dryer," *Ind. Eng. Chem. Res.*, vol. 35, pp. 1180-1187, 1996.
- [7] M. Ladisch, "Biobased Adsorbents for Drying of Gases," *Enzyme Microb. Tech.*, vol. 20, pp. 162-164, 1997.
- [8] T. Benson and C. George, "Cellulose Based Adsorbent Materials for the Dehydration of Ethanol Using Thermal Swing Adsorption," *Adsorption*, vol. 11, pp. 697-701, 2005.
- [9] G. Vareli, P. Demertzis, and K. Akrida-Demertzis, "Effect of Regeneration Thermal Treatment of Cellulosic and Starchy Materials on Their Capacity to Separate Water and Ethanol," *J. Cereal Sci.*, vol. 31, pp. 147-154, 2000.
- [10] X. Han, X. Ma, J. Liu, and H. Li, "Adsorption Characterisation of Water and Ethanol on Wheat Starch and Wheat Gluten Using inverse Gas Chromatography," *Carbohydrate Polym.*, vol. 78, pp. 533-537, 2009.
- [11] A. Al-Asheh, F. Banat, and N. Al-Lagtah, "Separation of Ethanol-Water Mixtures Using Molecular Sieves and Biobased Adsorbents," *Trans IChemE, Part A, Chem. Eng. Res. Des.*, vol. 82(A7), pp. 855-864, 2004.
- [12] G. Austin, *Shreve's Chemical Process Industries*, 5th ed., McGraw-Hill, Singapore, 1984.
- [13] K. Beery and M. Ladisch, "Chemistry and Properties of Starch Based Desiccants," *Enzyme Microb. Tech.*, vol. 28, pp. 573-581, 2001.
- [14] K. Beery and M. Ladisch, "Adsorption of Water from Liquid-Phase Ethanol-Water Mixtures at Room Temperature Using Starch-Based Adsorbents," *Ind. Eng. Chem. Res.*, vol. 40, pp. 2112-2115, 2001.
- [15] K. Siroth, "Current and Future Perspective of Thai Tapioca Starch Industry," in *World Tapioca Conference*, Thailand, January 15-16, 2009.
- [16] D. Cooke and M. Gridley, "Loss of Crystalline and Molecular Order during Starch Gelatinisation: Origin of the Enthalpic Transition1," *Carbohydrate Res.*, vol. 227, pp. 103-112, 1992.

Pressure Swing Adsorption with Cassava Adsorbent for Dehydration of Ethanol Vapor

Chontira Boonfung and Panarat Rattanaphanee

Abstract—Ethanol has become more attractive in fuel industry either as fuel itself or an additive that helps enhancing the octane number and combustibility of gasoline. This research studied a pressure swing adsorption using cassava-based adsorbent prepared from mixture of cassava starch and cassava pulp for dehydration of ethanol vapor. The apparatus used in the experiments consisted of double adsorption columns, an evaporator, and a vacuum pump. The feed solution contained 90–92 %wt of ethanol. Three process variables: adsorption temperatures (110, 120 and 130°C), adsorption pressures (1 and 2 bar gauge) and feed vapor flow rate (25, 50 and 75 % valve opening of the evaporator) were investigated. According to the experimental results, the optimal operating condition for this system was found to be at 2 bar gauge for adsorption pressure, 120°C for adsorption temperature and 25% valve opening of the evaporator. Production of 1.48 grams of ethanol with concentration higher than 99.5 wt% per gram of adsorbent was obtained. PSA with cassava-based adsorbent reported in this study could be an alternative method for production of nearly anhydrous ethanol. Dehydration of ethanol vapor achieved in this study is due to an interaction between free hydroxyl group on the glucose units of the starch and the water molecules.

Keywords—Adsorption, PSA, Ethanol, Dehydration, Cassava.

I. INTRODUCTION

WATER adsorption is one of energy-efficient techniques that are widely used for dehydration of ethanol, and starchy and cellulosic biomass are among several adsorbents that have been used for this purpose. Examples of the biomass-derived adsorbents include cracked corns [1], corn meal [2]–[4], corn grits [5], [6], xylan and wood chips [7], [8], wheat constituents [9], [10], natural corncobs, natural and activated palm stone and oak [11]. These materials offers several advantages that have led to growing interest in using them as potent desiccants for drying gaseous and organic compounds. For example, adsorption with biomass-derived adsorbent was reported to be less energy-consuming than adsorption using other adsorbents. The total energy consumed in dehydration of ethanol using cellulose was reported to be 2,873 kJ/kg_{ethanol}, while the adsorption using calcium oxide (CaO) was 3,669 kJ/kg_{ethanol} [1]. Also, biomass-derived adsorbents were found to need less energy for regeneration

C. Boonfung and is with School of Chemical Engineering, Suranaree University of Technology, Nakhon Ratchasima, Thailand 30000 (e-mail: chontira_b@hotmail.com).

P. Rattanaphanee is with School of Chemical Engineering, Suranaree University of Technology, Nakhon Ratchasima, Thailand 30000 (corresponding author to provide phone: +66-44-224591; fax: +66-44-224609; panarat@sut.ac.th).

than synthetic adsorbents [12]. Another advantage is that when regeneration is not practical for the spent adsorbents, they could be used as a feedstock of fermentation, either for ethanol or biogas production. In addition, deposition of starch and cellulose base adsorbent is unproblematic and environmental friendly due to their readily biodegradability.

Ability of starch and cellulose in selectively adsorption of water is a result of interaction in the form of hydrogen bonding between free hydroxyl groups (-OH) on their glucose units and the water molecules [13]. Water is by nature more polar than organic compounds such as alcohols; therefore, it interacts with hydroxyl groups of the glucose-containing adsorbent with higher strength and faster rate. Consequently, aqueous alcohol solution passing through bed of starchy or cellulosic materials would come out with lower concentration of water in the solution.

Wet cassava pulp is cellulosic material that is normally created abundantly during the production of cassava starch in Thailand. This material is usually sold very cheaply at 100–400 Baths/ton (about \$3–\$12/ton), to animal feed manufacturers. When the demand from animal feed industry is low, cassava pulp accumulates and rots, causing an extremely unpleasant smell, which is an environmental problem commonly encountered in the area around cassava starch factories.

Capability of biomass adsorbent prepared from cassava pulp, which still contains sufficient amount of starch, was used successfully in packed-bed adsorption system dehydration of ethanol vapor [14]. In this study, water adsorption capacity of the adsorbent is tested in pressure swing adsorption. Effect of operating variables including adsorption temperature and pressure as well as feed flow rate on ethanol concentration in the products and ethanol production rate was investigated.

II. MATERIALS AND METHODS

A. Cassava Starch and Cassava Pulp

Cassava starch and dried ground cassava pulp were weighed and mixed with an addition of 0.1 M NaOH. The mixture was stirred while being heated at temperature about 65°C for 10 min. The mixture was then spread out on an aluminum pan and was dried for 12 h in the hot air oven at 110°C. The dried mixture was then ground and sieved, and pellets with size between 30–40 Mesh were used as the adsorbent in this study.

International Journal of Chemical and Biological Engineering 3:4 2010

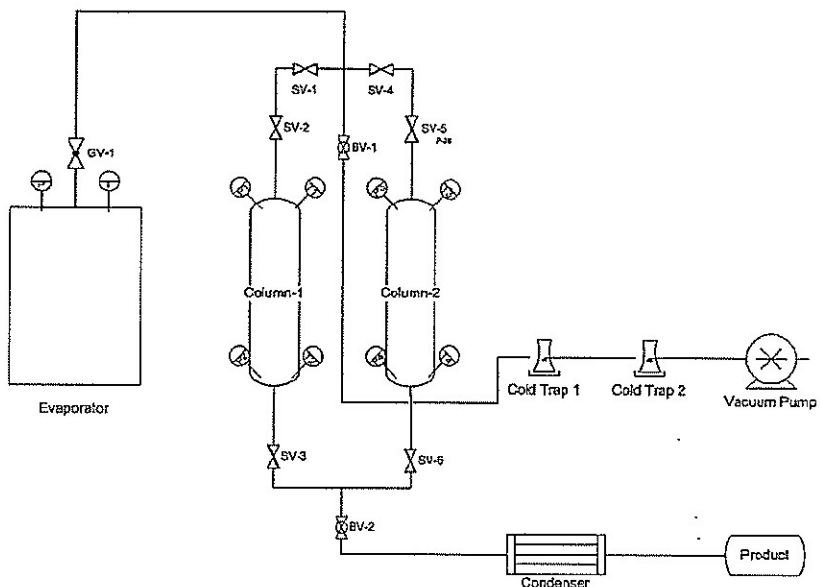


Fig. 1 Schematic diagram of PSA process

B. Adsorbent Preparation

Cassava starch and dried ground cassava pulp were weighed and mixed with an addition of 0.1 M NaOH. The mixture was stirred while being heated at temperature about 65°C for 10 min. The mixture was then spread out on an aluminum pan and was dried for 12 h in the hot air oven at 110°C. The dried mixture was then ground and sieved, and pellets with size between 30-40 Mesh were used as the adsorbent in this study.

C. Pressure Swing Adsorption

Double-column PSA apparatus used in this study was built in-house. The schematic diagram of the system is shown in Fig. 1. The adsorption columns were made of stainless steel columns with a length of 30 cm and an inner diameter of 5 cm.

At the beginning of the experiment, the evaporator was filled with an ethanol solution with 90-92 %wt of ethanol. The heater was turned on and the cycle time of the operation was set by timer controller. The optimal cycle time for the apparatus used in this study was found to be 4 min for adsorption and 1 min for desorption (Adsorption /Desorption: 4/1). When the pressure in the evaporator reached up to the desired adsorption pressure, valve GV-1 was opened. The ethanol vapor was passed through the top of column-1 where water adsorption was firstly taken place.

III. RESULTS AND DISCUSSION

Three operating variables of ethanol dehydration by PSA process were investigated in this study, i.e. adsorption temperature (T), adsorption pressure (P), and feed flow rate. The latter was controlled by adjusting the percent opening (v) of valve GV-1 at the evaporator. Values of the variables in each experiment are shown in Table I. The process outputs of interest were ethanol concentration in the product and ethanol production expressed in grams ethanol per gram adsorbent ($\text{g}_{\text{EtOH}}/\text{g}_{\text{ads}}$).

TABLE I OPERATING VARIABLES OF PSA PROCESS			
Run	T(°C)	P (bar)	v (% valve opening)
1	110	1	50
2	120	1	50
3	130	1	50
4	120	2	25
5	120	2	50
6	120	2	75

A. Effect of Adsorption Temperature

The effect of the adsorption temperature on capability of cassava-based adsorbent to remove water from ethanol was investigated. The results are shown in Fig. 2. It can be seen that the concentration of ethanol in the product at adsorption

temperature of 120 and 130°C were significantly higher than at 110°C. This could be due to some degree of vapor condensation when the temperature was not sufficiently high because the used adsorbent in experiment with adsorption temperature of 110°C appeared to be quite wet.

The used adsorbent was found to be partially burned in experiment with adsorption temperature of 130°C despite the high ethanol concentration obtained in the product. As a result, the optimum temperature was chosen to be at 120°C in this study.

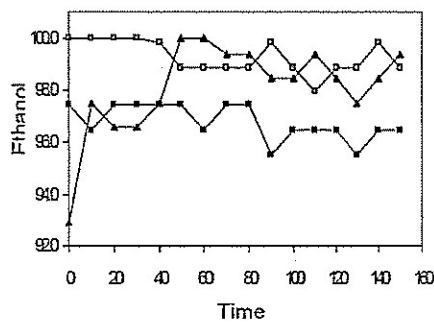


Fig. 2 Effect of adsorption temperature on concentration of ethanol product (%wt): ■ 110 °C; □ 120 °C; ▲ 130 °C

B. Effect of Adsorption Pressure

The effect of adsorption pressure was studied at 1 and 2 bar (2 and 3 bar absolute), and the ethanol concentration obtained from the process are shown in Fig. 3. It can be observed that the concentration of ethanol product was increased with adsorption pressure. The optimum adsorption pressure for the apparatus used in this study was therefore chosen to be at 2 bar.

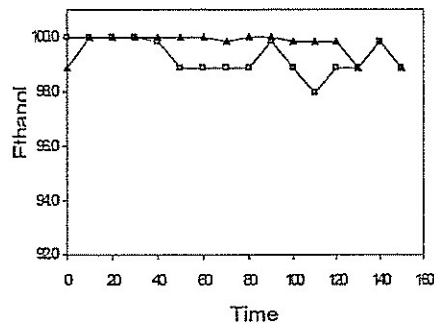


Fig. 3 Effect of adsorption pressure on concentration of ethanol product (%wt): □ 1 bar; ▲ 2 bar.

C. Effect of Feed Flow Rate

Effect of feed flow rate on ethanol concentration in the product is shown in Fig. 4, which indicates that decreasing feed flow rate by decreasing percent opening of valve GV-1 at the evaporator could improve the concentration of ethanol in the product. This was likely due to longer contact time between the vapor and the adsorbent at low feed flow rate.

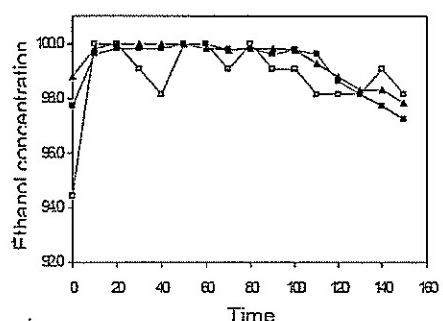


Fig. 4 Effect of feed flow rate on concentration of ethanol product (%wt): ■ 25 % valve opened; ▲ 50%; □ 75 % valve opened

Ethanol production, $\frac{g_{\text{ethanol}}}{g_{\text{ads}}}$, obtained from experiments with different values of operating variables are shown in Table 2. As seen, the ethanol production was found to be highest at percent valve opening of 25%. This value was thus selected as the optimum point for feed flow rate controlling in this study.

TABLE II
ETHANOL PRODUCTION FROM PSA WITH CASSAVA ADSORBENT

T (°C)	P (bar)	V (%valve opening)	$\frac{g_{\text{ethanol}}}{g_{\text{ads}}}$ (99.5%wt)
110	1	50	-
120	1	50	0.767
130	1	50	0.228
120	2	50	1.366
120	2	25	1.480
120	2	75	0.706

IV. CONCLUSIONS

Ethanol dehydration in PSA process using cassava adsorbent was tested in this study. Effect of three operating variables i.e. adsorption temperature, adsorption pressure and feed flow rate, on ethanol concentration in the product and ethanol production from the system were investigated in order to obtain the optimum operating conditions of the apparatus. Results from various experiments showed that increasing adsorption pressure and decreasing of the feed flow rate led to increased concentration of ethanol in the product. The

optimum conditions were found to be at 120°C for adsorption temperature, 2 bar for adsorption pressure, and 25% valve opening at the evaporator for feed flow rate controlling. This study elucidates that cassava pulp could be a raw material for preparation of adsorbent with target use of water adsorption. In conclusion, water adsorption with cellulose-based adsorbent could be an economical technique to produce anhydrous ethanol in country with large area of cassava plantation like Thailand.

ACKNOWLEDGMENT

The authors are grateful to Princess Maha Chakri Sirindhorn's Innovation and Invention Research Fund, Suranaree University of Technology, for financial support of this work.

REFERENCES.

- [1] M. Ladisch and E. Dyk, "Dehydration of Ethanol: New Approach Gives Positive Energy Balance," *Science*, vol. 205, pp. 898-900, 1979.
- [2] M. Ladisch, M. Volech, J. Hong, P. Blenckowski and G. Tsoo, "Commeal Adsorber for Dehydrating Ethanol Vapors," *J&EC Proc. Des. Develop.*, vol. 23, pp. 437-443, 1984.
- [3] H. Cheng, X. Yuan, H. Tian and A. Zeng, "Experiment and Prediction of Breakthrough Curves for Packed Bed Adsorption of Water Vapor on Commeal," *Chem. Eng. Process.*, vol. 45, pp. 747-754, 2006.
- [4] J. Hong, M. Volech, M. Ladisch and G. Tsoo, "Adsorption of Ethanol-Water Mixtures by Biomass Materials," *BioTech. Bioeng.*, vol. 24, pp. 725-730, 1982.
- [5] P. Blenckowski, A. Barthé, M. Volech, R. Newman and M. Ladisch, "Breakthrough Behavior of 17.5 mol% Water in Methanol, Ethanol, Isopropanol, and t-Buanol Vapors Passed over Corn Grits," *BioTech. Bioeng.*, vol. 28, pp. 950-964, 1986.
- [6] L. Anderson, M. Gulati, P. Wedgate, E. Kvan, K. Bowman and M. Ladisch, "Synthesis and Optimization of a New Starch-Based Adsorbent for Dehumidification of Air in a Pressure-Swing Dryer," *Ind. Eng. Chem. Res.*, vol. 35, pp. 1180-1187, 1996.
- [7] M. Ladisch, "Biobased Adsorbents for Drying of Gases," *Enzyme Microb. Tech.*, vol. 20, pp. 162-164, (1997).
- [8] T. Benson and C. George, "Cellulose Based Adsorbent Materials for the Dehydration of Ethanol Using Thermal Swing Adsorption," *Adsorption*, vol. 11, pp. 697-701, 2005.
- [9] G. Vrach, P. Demertzis and K. Akrida-Demertzis, "Effect of Regeneration Temperature Treatment of Cellulose and Starch Materials on Their Capacity to Separate Water and Ethanol," *J. Cereal Sci.*, vol. 31, pp. 147-154, 2000.
- [10] X. Han, X. Ma, J. Liu and H. Li, "Adsorption Characterisation of Water and Ethanol on Wheat Starch and Wheat Gluten Using inverse Gas Chromatography," *Carbohydrate Polym.*, vol. 78, pp. 533-537, 2009.
- [11] A. Al-Ashieh, F. Banat and N. Al-Lagha, "Separation of Ethanol-Water Mixtures Using Molecular Sieves and Biobased Adsorbents," *Trans IChemE, Part A, Chem. Eng. Res. Dev.*, vol. 82(A7), pp. 855-864, 2004.
- [12] K. Beery, and M. Ladisch, "Chemistry and Properties of Starch Based Desiccants," *Enzyme Microb. Tech.*, vol. 28, pp. 573-591, 2001.
- [13] K. Beery, and M. Ladisch, "Adsorption of Water from Liquid-Phase Ethanol-Water Mixtures at Room Temperature Using Starch-Based Adsorbents," *Ind. Eng. Chem. Res.*, vol. 40, pp. 2112-2115, 2001.
- [14] Chontira Boonsung, Pansara Rattanaphane, Cassava-based adsorbent for ethanol dehydration, *J. KMUTNB*, vol. 20, No. 2, pp. 195-202, 2010.